

การวิเคราะห์ข้อต่อท่อนำคลื่นหลายพอร์ตรูปร่างใดๆ ด้วยวิธีไฟไนต์อีลีเมนต์ร่วมกับวิธีเทคนิคบาวนด์ารีมาร์ชชิง



นายวรพงศ์ เพชรโพธิ์ทอง

สถาบันวิทยบริการ

จุฬาลงกรณ์มหาวิทยาลัย

วิทยานิพนธ์นี้เป็นส่วนหนึ่งของการศึกษาตามหลักสูตรปริญญาวิศวกรรมศาสตรมหาบัณฑิต

สาขาวิชาวิศวกรรมไฟฟ้า ภาควิชาวิศวกรรมไฟฟ้า

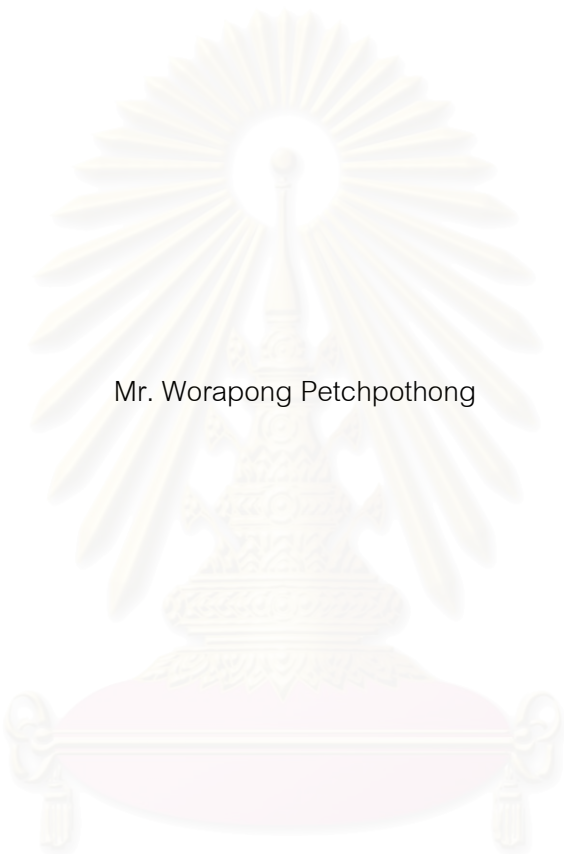
คณะวิศวกรรมศาสตร์ จุฬาลงกรณ์มหาวิทยาลัย

ปีการศึกษา 2545

ISBN 974-17-2517-5

ลิขสิทธิ์ของจุฬาลงกรณ์มหาวิทยาลัย

ANALYSIS OF AN ARBITRARY MULTI-PORT WAVEGUIDE JUNCTION  
BY THE FINITE ELEMENT METHOD AND BOUNDARY MARCHING TECHNIQUE



Mr. Worapong Petchpothong

สถาบันวิทยบริการ  
จุฬาลงกรณ์มหาวิทยาลัย

A Thesis Submitted in Partial Fulfillment of the Requirements  
for the Degree of Master of Engineering in Electrical Engineering

Department of Electrical Engineering

Faculty of Engineering

Chulalongkorn University

Academic Year 2002

ISBN 974-17-2517-5



วรพงศ์ เพชรโพธิ์ทอง : การวิเคราะห์ข้อต่อท่อนำคลื่นหลายพอร์ตด้วยวิธีไฟไนต์อีลีเมนต์ร่วมกับวิธีเทคนิคบาวนด์มาร์ชชิง (ANALYSIS OF ARBITRARY MULTI-PORT WAVEGUIDE JUNCTION BY THE FINITE ELEMENT METHOD AND BOUNDARY MARCHING TECHNIQUE) อ. ที่ปรึกษา : ผู้ช่วยศาสตราจารย์ ดร. ทับทิม อ่างแก้ว, 92 หน้า. ISBN 974-17-2517-5.

วิทยานิพนธ์นี้นำเสนอวิธีวิเคราะห์การกระเจิงของคลื่นแม่เหล็กไฟฟ้าภายในข้อต่อท่อนำคลื่นรูปร่างใดๆ แบบสองมิติระนาบ E และระนาบ H และข้อต่อท่อนำคลื่นรูปร่างใดๆ แบบสามมิติที่เชื่อมต่อระหว่างท่อนำคลื่นสี่เหลี่ยม ด้วยวิธีไฟไนต์อีลีเมนต์ร่วมกับวิธีเทคนิคบาวนด์มาร์ชชิง ข้อดีในการวิเคราะห์ปัญหาการกระเจิงของคลื่นแม่เหล็กไฟฟ้าด้วยวิธีไฟไนต์อีลีเมนต์ร่วมกับวิธีบาวนด์มาร์ชชิง คือช่วยเพิ่มความเร็วในการคำนวณเมื่อเทียบกับวิธีไฟไนต์อีลีเมนต์ร่วมกับวิธีโมดแมตชิง และใช้เพียงโมดพื้นฐานในการคำนวณ และเสนอวิธีกำจัดผลเฉลยปลอมเทียมโดยใช้อีลีเมนต์ขอบของรูปทรงสามเหลี่ยมสี่หน้าในการวิเคราะห์ข้อต่อสามมิติ

ผลการคำนวณตามวิธีที่เสนอในวิทยานิพนธ์นี้ได้นำมาเปรียบเทียบกับผลที่ได้จากวิธีไฟไนต์อีลีเมนต์ร่วมกับวิธีโมดแมตชิง พบว่าผลการคำนวณที่ได้สอดคล้องกันกับผลการคำนวณด้วยวิธีไฟไนต์อีลีเมนต์ร่วมกับวิธีโมดแมตชิง โดยปราศจากผลเฉลยปลอมเทียม และช่วยเพิ่มอัตราเร็วในการคำนวณ

## สถาบันวิทยบริการ จุฬาลงกรณ์มหาวิทยาลัย

ภาควิชา ..... วิศวกรรมไฟฟ้า ..... ลายมือชื่อนิสิต .....

สาขาวิชา ..... วิศวกรรมไฟฟ้า ..... ลายมือชื่ออาจารย์ที่ปรึกษา .....

ปีการศึกษา ..... 2545 .....

# # 4270516321 : MAJOR ELECTRICAL ENGINEERING

KEY WORD: FEM / WAVEGUIDE JUNCTION / WAVEGUIDE DISCONTINUITY /  
WAVEGUIDE COMPONENT / BOUNDARY MARCHING TECHNIQUE

WORAPONG PETCHPOTHONG : ANALYSIS OF AN ARBITRARY WAVEGUIDE  
JUNCTION BY THE FINITE ELEMENT AND BOUNDARY MARCHING TECHNIQUE.

THESIS ADVISOR:ASSIST.PROF. TUPTIM ANGKAEW Ph.D., 92 pp. ISBN 974-17-2517-  
5.

This thesis presents an analysis of electromagnetic wave scattering in arbitrary shape 2D E-plane, 2D H-plane and 3D rectangular waveguide junction by using the finite element method and boundary marching technique. The advantages associated with using the finite element method and boundary marching technique to analyse electromagnetic wave scattering in waveguide junction are the shorter computation time compared with the finite element method and mode matching method and use only fundamental mode in the computation. Spurious solutions in finite element analysis of 3D waveguide junction is eliminated by using tetrahedral edge element.

The computational results of the presented method have been verified with result from the finite element method and mode matching method. The computation result agree well with result from the finite element method and mode matching method and there is no occurrence of spurious solutions and take shorter computation time.

สถาบันวิทยบริการ  
จุฬาลงกรณ์มหาวิทยาลัย

Department Electrical Engineering Student's signature .....

Field of study Electrical Engineering Advisor's signature .....

Academic year 2002 .....

## กิจติกรรมประกาศ

งานวิทยานิพนธ์ฉบับนี้นั้นสำเร็จลุล่วงไปได้ ผู้วิจัยขอขอบพระคุณ ผู้ช่วยศาสตราจารย์ ดร.ทับทิม อ่างแก้ว อาจารย์ที่ปรึกษาวิทยานิพนธ์ที่ได้ให้คำแนะนำในการวิจัย ตลอดจนให้คำปรึกษา ข้อคิดเห็นต่างๆ ในการวิจัยและจัดหาอุปกรณ์การดำเนินการวิจัยให้แก่ผู้วิจัยอย่างครบถ้วน

นอกจากนั้นขอขอบคุณสมาชิกของห้องปฏิบัติการวิจัยคลื่นแม่เหล็กไฟฟ้าทุกท่าน ที่คอยให้ความช่วยเหลือและเป็นกำลังใจให้ตลอดมา

ทำนี่ย่ขอกราบขอบพระคุณบิดามารดาของผู้วิจัยที่ได้สนับสนุนด้านการเรียนและเป็นกำลังใจให้แก่ผู้วิจัยตลอดเวลาที่ได้ศึกษาและดำเนินการวิจัยจนกระทั่งสำเร็จการศึกษา



สถาบันวิทยบริการ  
จุฬาลงกรณ์มหาวิทยาลัย

## สารบัญ

บทที่	หน้า
บทคัดย่อภาษาไทย.....	ง
บทคัดย่อภาษาอังกฤษ.....	จ
กิตติกรรมประกาศ.....	ฉ
สารบัญ.....	ช
สารบัญตาราง.....	ญ
สารบัญภาพ.....	ฎ
คำอธิบายสัญลักษณ์.....	ด
บทที่ 1 บทนำ.....	1
1.1 ความเป็นมาและความสำคัญของปัญหา.....	1
1.2 วัตถุประสงค์ของการวิจัย.....	8
1.3 วิธีดำเนินการและขอบเขตของการวิจัย.....	8
1.4 ประโยชน์ที่คาดว่าจะได้รับ.....	8
บทที่ 2 การวิเคราะห์ข้อต่อสองมิติระนาบ E และระนาบ H ด้วยวิธีไฟไนต์อีลีเมนต์ ร่วมกับวิธีโมดแมตซิงและวิธีบาวนด์ารีมาร์ชซิง.....	9
2.1 ความนำ.....	9
2.2 นิยามพารามิเตอร์การกระเจิง.....	10
2.3 สมการพื้นฐานสำหรับการวิเคราะห์ข้อต่อระนาบ E และระนาบ H.....	15
2.3.1 ข้อต่อระนาบ E.....	16
2.3.2 ข้อต่อระนาบ H.....	18
2.4 วิธีไฟไนต์อีลีเมนต์.....	19
2.4.1 ข้อต่อระนาบ E.....	19
2.4.2 ข้อต่อระนาบ H.....	22
2.5 การกำหนดเงื่อนไขพอร์ตด้วยวิธีโมดแมตซิง.....	24
2.5.1 ข้อต่อระนาบ E.....	24
2.5.2 ข้อต่อระนาบ H.....	27
2.6 การกำหนดเงื่อนไขพอร์ตด้วยวิธีบาวนด์ารีมาร์ชซิง.....	30
2.6.1 กระบวนการบาวนด์ารีมาร์ชซิง.....	31
2.6.2 วิธีบาวนด์ารีมาร์ชซิงในการวิเคราะห์ข้อต่อ.....	33

บทที่	หน้า
2.7 ผลการคำนวณในกรณีตัวอย่าง.....	34
2.7.1 ข้อต่ออง 90° ที่มีรูปร่างการบากมุมแบบต่างๆ.....	35
2.7.2 ข้อต่ออง 90° ที่มีความลึกการบากมุมต่างๆ.....	41
2.7.3 ข้อต่อตัว T ที่มีความลึกการบากมุมต่างๆ.....	45
2.7.4 ท่อนำคลื่นสี่เหลี่ยมที่มีเสาโลหะภายในขนาดต่างๆ.....	48
2.7.5 ท่อนำคลื่นสี่เหลี่ยมที่มีแผ่นกั้นภายในขนาดต่างๆ.....	51
2.7.6 ท่อนำคลื่นสี่เหลี่ยมที่มีแถบไดอิเล็กตริกภายในที่มีค่าสภาพยอมต่างๆ....	53
2.7.7 เปรียบเทียบผลการเพิ่มจำนวนโมดในการวิเคราะห์ข้อต่อด้วยวิธีไฟไนต์ อีลีเมนต์ร่วมกับวิธีโมดแมตซิง.....	55
2.7.8 เปรียบเทียบผลการเพิ่มจำนวนรอบการวนซ้ำในการวิเคราะห์ข้อต่อด้วยวิธี ไฟไนต์อีลีเมนต์ร่วมกับวิธีโมดแมตซิง.....	57
2.8 สรุป.....	58
บทที่ 3 การวิเคราะห์ข้อต่อสามมิติด้วยวิธีไฟไนต์อีลีเมนต์ร่วมกับวิธีโมดแมตซิง และวิธีบาวนด์ารีมาร์ชซิง.....	59
3.1 ความนำ.....	59
3.2 สมการพื้นฐานสำหรับการวิเคราะห์ข้อต่อสามมิติและวิธีไฟไนต์ อีลีเมนต์.....	59
3.3 การกำหนดเงื่อนไขที่พอร์ตด้วยวิธีโมดแมตซิง.....	63
3.4 การกำหนดเงื่อนไขที่พอร์ตด้วยวิธีบาวนด์ารีมาร์ชซิง.....	66
3.5 ผลการคำนวณในกรณีตัวอย่าง.....	67
3.6 สรุป.....	73
บทที่ 4 สรุปผลการวิจัยและข้อเสนอแนะ.....	74
รายการอ้างอิง.....	76
ภาคผนวก.....	80
ภาคผนวก ก อินทิกรัลของฟังก์ชันรูปร่าง.....	81
ก.1 อีลีเมนต์หนึ่งมิติเชิงเส้น.....	81
ก.2 อีลีเมนต์สองมิติรูปสามเหลี่ยม.....	82
ก.3 อีลีเมนต์สามมิติรูปทรงสามเหลี่ยมสี่หน้า.....	84



บทที่

หน้า

ภาคผนวก ข การพิสูจน์การลดทอนของคลื่นโมดอันดับสูงในท่อนำคลื่นด้วยวิธีไฟไนต์อีลีเมนต์

ร่วมกับวิธีบาวนด์ารีมาร์ชชิง.....87

ประวัติผู้เขียนวิทยานิพนธ์.....91



สถาบันวิทยบริการ  
จุฬาลงกรณ์มหาวิทยาลัย

## สารบัญตาราง

ญ

ตาราง	หน้า
ตารางที่ 2.1 การเปรียบเทียบเวลาที่ใช้ในการคำนวณด้วยวิธีไฟไนต์อีลีเมนต์ร่วมกับวิธีโมดแมตซิง และวิธีไฟไนต์อีลีเมนต์ร่วมกับวิธีบาวนด์ารีมาร์ชชิงของข้อต่ออง $90^\circ$ ที่มีการบากมุมแบบต่าง ๆ.....	40
ตารางที่ 2.2 การเปรียบเทียบเวลาที่ใช้ในการคำนวณด้วยวิธีไฟไนต์อีลีเมนต์ร่วมกับวิธีโมดแมตซิง และวิธีไฟไนต์อีลีเมนต์ร่วมกับวิธีบาวนด์ารีมาร์ชชิงของข้อต่ออง $90^\circ$ ที่มีความลึกของการบากมุมต่าง ๆ.....	44
ตารางที่ 2.3 การเปรียบเทียบเวลาที่ใช้ในการคำนวณด้วยวิธีไฟไนต์อีลีเมนต์ร่วมกับวิธีโมดแมตซิง และวิธีไฟไนต์อีลีเมนต์ร่วมกับวิธีบาวนด์ารีมาร์ชชิงของข้อต่อตัว T ที่มีความลึกของการบากมุมต่าง ๆ.....	47
ตารางที่ 2.4 การเปรียบเทียบเวลาที่ใช้ในการคำนวณด้วยวิธีไฟไนต์อีลีเมนต์ร่วมกับวิธีโมดแมตซิง และวิธีไฟไนต์อีลีเมนต์ร่วมกับวิธีบาวนด์ารีมาร์ชชิงของท่อนำคลื่นที่มีเสาโลหะขนาดต่าง ๆ.....	50
ตารางที่ 2.5 การเปรียบเทียบเวลาที่ใช้ในการคำนวณด้วยวิธีไฟไนต์อีลีเมนต์ร่วมกับวิธีโมดแมตซิง และวิธีไฟไนต์อีลีเมนต์ร่วมกับวิธีบาวนด์ารีมาร์ชชิงของท่อนำคลื่นที่มีแผ่นกั้นขนาดต่าง ๆ.....	53
ตารางที่ 2.6 การเปรียบเทียบเวลาที่ใช้ในการคำนวณด้วยวิธีไฟไนต์อีลีเมนต์ร่วมกับวิธีโมดแมตซิง และวิธีไฟไนต์อีลีเมนต์ร่วมกับวิธีบาวนด์ารีมาร์ชชิงของท่อนำคลื่นที่มีแถบไดอิเล็กตริกภายในที่ค่าสภาพยอม $\epsilon_r = 3.7$ .....	54
ตารางที่ 2.7 การเปรียบเทียบเวลาที่ใช้ในการคำนวณด้วยวิธีไฟไนต์อีลีเมนต์ร่วมกับวิธีโมดแมตซิง ของท่อนำคลื่นที่มีแผ่นกั้นภายในเมื่อพิจารณาจำนวนโมดในการคำนวณต่าง ๆ.....	57
ตารางที่ 2.8 การเปรียบเทียบเวลาที่ใช้ในการคำนวณด้วยวิธีไฟไนต์อีลีเมนต์ร่วมกับวิธีบาวนด์ารีมาร์ชชิงของท่อนำคลื่นที่มีแผ่นกั้นภายในเมื่อพิจารณาจำนวนรอบการวนซ้ำในการคำนวณต่าง ๆ.....	58
ตารางที่ 3.1 การเปรียบเทียบเวลาที่ใช้ในการคำนวณด้วยวิธีไฟไนต์อีลีเมนต์ร่วมกับวิธีโมดแมตซิงของท่อนำคลื่นที่มีแถบไดอิเล็กตริกภายในแบบสามมิติเมื่อพิจารณาจำนวนโมดในการคำนวณต่าง ๆ.....	69

## สารบัญตาราง

๗

ตาราง

หน้า

ตารางที่ 3.2 การเปรียบเทียบเวลาที่ใช้ในการคำนวณด้วยวิธีไฟไนต์อีลีเมนต์ร่วมกับ วิธีบาวนด์รีมาร์ชชิงของท่อนำคลื่นที่มีแถบไดอิเล็กตริกภายในแบบสามมิติ เมื่อพิจารณาจำนวนรอบการวนซ้ำในการคำนวณต่าง ๆ.....	70
ตารางที่ ก.1 การกำหนดขอบของอีลีเมนต์สามเหลี่ยมแบบขอบ.....	82
ตารางที่ ก.2 การกำหนดขอบของอีลีเมนต์รูปทรงสามเหลี่ยมสี่หน้าแบบขอบ.....	85



สถาบันวิทยบริการ  
จุฬาลงกรณ์มหาวิทยาลัย

บทที่	หน้า
รูปที่ 1.1 ข้อต่อท่อนำคลื่นที่ทำหน้าที่ต่างๆในระบบวงจรไมโครเวฟ	
(ก) ข้อต่อท่อนำคลื่น (ข) ตัวเลื่อนเฟส (ค) ตัวแมตโหลด (ง) ตัวปรับโพลาไรเซชัน	
(จ) ตัวลดทอนกำลังคลื่น (ฉ) ตัวแยกเดี่ยว (ช) ตัวหมุนเวียน (ซ) คัปเปิลอร์แบบมีทิศทาง	
(ณ) ตัวแบ่งกำลังคลื่น (ญ) ตัวกรองความถี่.....	1
รูปที่ 1.2 วิธีไฟไนต์อีลีเมนต์ในการวิเคราะห์ข้อต่อรูปร่างใดๆ (ก) วิธีไฟไนต์อีลีเมนต์ร่วมกับวิธี	
โมดแมตซิง (ข) การลดจำนวนโมดที่แทนสนามกระเจิง.....	4
รูปที่ 1.3 วิธีลดตัวแปรไม่ทราบค่าภายในท่อนำคลื่น	
(ก) วิธีแบ่งโครงสร้างย่อย (ข) วิธีบาวนด์ารีมาร์ชซิง.....	5
รูปที่ 1.4 วิธีไฟไนต์อีลีเมนต์ร่วมกับวิธีบาวนด์ารีมาร์ชซิงในการวิเคราะห์ข้อต่อรูปร่างใด ๆ.....	6
รูปที่ 2.1 การหาพารามิเตอร์การกระเจิง $S_{11}, \dots, S_{N1}$ ของข้อต่อรูปร่างใด ๆ หลายพอร์ต	
(ก) ข้อต่อหลายพอร์ต (ข) แรงดันสมมูลและกระแสสมมูล.....	14
รูปที่ 2.2 โครงสร้างของข้อต่อระนาบ E และระนาบ H	
(ก) ข้อต่อระนาบ E (ข) ข้อต่อระนาบ H	
(ค) บริเวณข้อต่อตามแนวระนาบสนามของโมดพื้นฐาน.....	15
รูปที่ 2.3 การแบ่งอีลีเมนต์ในการวิเคราะห์ข้อต่อรูปร่างใดๆแบบสองมิติระนาบ E และระนาบ H.....	20
รูปที่ 2.4 อีลีเมนต์สามเหลี่ยม และฟังก์ชันรูปร่างแบบโนด (ก) $N_1^e$ (ข) $N_2^e$ (ค) $N_3^e$ .....	21
รูปที่ 2.5 การแบ่งอีลีเมนต์ในการวิเคราะห์ข้อต่อรูปร่างใด ๆ แบบสองมิติระนาบ H.....	23
รูปที่ 2.6 อีลีเมนต์และฟังก์ชันรูปร่างหนึ่งมิติ (ก) $N_1^e$ (ข) $N_2^e$ .....	26
รูปที่ 2.7 กระบวนการบาวนด์ารีมาร์ชซิง	
(ก) บริเวณข้อต่อ $\Omega$ (ข) การเลื่อนระนาบ $\Gamma_2^{(k)}$ .....	30
รูปที่ 2.8 ข้อต่ออง $90^\circ$ ที่มีการบากมุมรูปร่างต่าง ๆ	
โดยที่ $w = b$ สำหรับข้อต่อแบบระนาบ E และ $w = a$ สำหรับข้อต่อแบบระนาบ H	
(ก) แบบสี่เหลี่ยม (ข) แบบบากเต็ม (ค) แบบบากบางส่วน (ง) แบบบากโค้ง.....	35
รูปที่ 2.9 สัมประสิทธิ์การสะท้อนของข้อต่ออง $90^\circ$ ระนาบ E ที่มีการบากมุมแบบต่าง ๆ	
(- วิธีไฟไนต์อีลีเมนต์ร่วมกับวิธีโมดแมตซิง o วิธีไฟไนต์อีลีเมนต์ร่วมกับวิธี	
บาวนด์ารีมาร์ชซิง) (ก) แบบสี่เหลี่ยม (ข) แบบบากเต็ม (ค) แบบบากบางส่วน	
(ง) แบบบากโค้ง.....	36

บทที่	หน้า
รูปที่ 2.10 สัมประสิทธิ์การส่งผ่านของข้อต่ออง $90^\circ$ ระนาบ E ที่มีการบากมุมแบบต่าง ๆ ( - วิธีไฟไนต์อีลีเมนต์ร่วมกับวิธีโมดแมตซิง ๐วิธีไฟไนต์อีลีเมนต์ร่วมกับวิธี บาวนด์อาร์มาร์ชซิง) (ก) แบบสี่เหลี่ยม (ข) แบบบากเต็ม (ค) แบบบากบางส่วน (ง) แบบบากโค้ง.....	37
รูปที่ 2.11 สัมประสิทธิ์การสะท้อนของข้อต่ออง $90^\circ$ ระนาบ H ที่มีการบากมุมแบบต่าง ๆ ( - วิธีไฟไนต์อีลีเมนต์ร่วมกับวิธีโมดแมตซิง ๐วิธีไฟไนต์อีลีเมนต์ร่วมกับวิธีบาวนด์อาร์มาร์ชซิง) (ก) แบบสี่เหลี่ยม (ข) แบบบากเต็ม (ค) แบบบากบางส่วน (ง) แบบบากโค้ง .....	38
รูปที่ 2.12 สัมประสิทธิ์การส่งผ่านของข้อต่ออง $90^\circ$ ระนาบ H ที่มีการบากมุมแบบต่าง ๆ ด้วยวิธีไฟไนต์อีลีเมนต์ร่วมกับวิธีโมดแมตซิง (ก) ข้อต่อระนาบ E (ข) ข้อต่อระนาบ H (type1 คือแบบสี่เหลี่ยม type2 คือแบบบากเต็ม type3 คือแบบบากบางส่วน type4 คือแบบบากโค้ง).....	39
รูปที่ 2.13 สัมประสิทธิ์การสะท้อนของข้อต่ออง $90^\circ$ ระนาบ H ที่มีการบากมุมแบบต่าง ๆ ด้วยวิธีไฟไนต์อีลีเมนต์ร่วมกับวิธีโมดแมตซิง (ก) ข้อต่อระนาบ E (ข) ข้อต่อระนาบ H (type1 คือแบบสี่เหลี่ยม type2 คือแบบบากเต็ม type3 คือแบบบากบางส่วน type4 คือแบบบากโค้ง).....	41
รูปที่ 2.14 ข้อต่ออง $90^\circ$ ที่มีการบากมุม.....	41
รูปที่ 2.15 สัมประสิทธิ์การสะท้อน และการส่งผ่านและค่า VSWR ของข้อต่ออง $90^\circ$ ระนาบ E ที่มีความลึกการบากมุมต่าง ๆ ( - วิธีไฟไนต์อีลีเมนต์ร่วมกับวิธีโมดแมตซิง ๐วิธีไฟไนต์อีลีเมนต์ร่วมกับวิธีบาวนด์อาร์มาร์ชซิง) (ก) สัมประสิทธิ์การสะท้อน (ข) สัมประสิทธิ์การส่งผ่าน (ค) ค่า VSWR.....	42
รูปที่ 2.16 สัมประสิทธิ์การสะท้อน และการส่งผ่านและค่า VSWR ของข้อต่ออง $90^\circ$ ระนาบ H ที่มีความลึกการบากมุมต่าง ๆ ( - วิธีไฟไนต์อีลีเมนต์ร่วมกับวิธีโมดแมตซิง ๐วิธีไฟไนต์อีลีเมนต์ร่วมกับวิธีบาวนด์อาร์มาร์ชซิง) (ก) สัมประสิทธิ์การสะท้อน (ข) สัมประสิทธิ์การส่งผ่าน (ค) ค่า VSWR.....	43
รูปที่ 2.17 ค่า VSWR ของข้อต่ออง $90^\circ$ ระนาบ H ที่มีความลึกการบากมุมต่าง ๆ ( - วิธีไฟไนต์อีลีเมนต์ร่วมกับวิธีโมดแมตซิง ๐วิธีบาวนด์อาร์มาร์ชซิง (W. Young and D.Yaogen, (1999)).....	45

บทที่	หน้า
รูปที่ 2.18 ข้อต่อตัว T ที่มีการบากมุม	
โดยที่ $w = b$ สำหรับข้อต่อแบบระนาบ E และ $w = a$ สำหรับข้อต่อแบบระนาบ H.....	45
รูปที่ 2.19 พารามิเตอร์การกระเจิงของข้อต่อตัว T ระนาบ E ที่มีความลึกการบากมุมต่าง ๆ	
(- วิธีไฟไนต์อีลีเมนต์ร่วมกับวิธีโมดแมตซิง	
อวิธีไฟไนต์อีลีเมนต์ร่วมกับวิธีบาวนด์ารีมาร์ชซิง) (ก) $S_{11}$ (ข) $S_{21}$ .....	46
รูปที่ 2.20 พารามิเตอร์การกระเจิงของข้อต่อตัว T ระนาบ H ที่มีความลึกการบากมุมต่าง ๆ	
(- วิธีไฟไนต์อีลีเมนต์ร่วมกับวิธีโมดแมตซิง	
อวิธีไฟไนต์อีลีเมนต์ร่วมกับวิธีบาวนด์ารีมาร์ชซิง) (ก) $S_{11}$ (ข) $S_{21}$ .....	47
รูปที่ 2.21 ค่า VSWR ของข้อต่ออง $90^\circ$ ระนาบ H ที่มีความลึกการบากมุมต่าง ๆ	
(- วิธีไฟไนต์อีลีเมนต์ร่วมกับวิธีโมดแมตซิง อวิธีบาวนด์ารีอีลีเมนต์	
W. Young and D.Yaogen,(1999)) .....	48
รูปที่ 2.22 ท่อนำคลื่นสี่เหลี่ยมที่มีเสาโลหะภายใน.....	48
รูปที่ 2.23 สัมประสิทธิ์การสะท้อน และการส่งผ่าน ของท่อนำคลื่นที่มีเสาโลหะภายในระนาบ E	
ที่มีขนาดเสาโลหะต่าง ๆ (- วิธีไฟไนต์อีลีเมนต์ร่วมกับวิธีโมดแมตซิง	
อวิธีไฟไนต์อีลีเมนต์ร่วมกับวิธีบาวนด์ารีมาร์ชซิง)	
(ก) สัมประสิทธิ์การสะท้อน (ข) สัมประสิทธิ์การส่งผ่าน.....	49
รูปที่ 2.24 สัมประสิทธิ์การสะท้อน และการส่งผ่าน ของท่อนำคลื่นที่มีเสาโลหะภายในระนาบ H	
ที่มีขนาดเสาโลหะต่าง ๆ (- วิธีไฟไนต์อีลีเมนต์ร่วมกับวิธีโมดแมตซิง	
อวิธีไฟไนต์อีลีเมนต์ร่วมกับวิธีบาวนด์ารีมาร์ชซิง)	
(ก) สัมประสิทธิ์การสะท้อน (ข) สัมประสิทธิ์การส่งผ่าน.....	50
รูปที่ 2.25 ท่อนำคลื่นที่มีแผ่นกั้นภายใน	
โดยที่ $w = b$ สำหรับข้อต่อแบบระนาบ E และ $w = a$ สำหรับข้อต่อแบบระนาบ H.....	51
รูปที่ 2.26 สัมประสิทธิ์การสะท้อน และการส่งผ่าน ของท่อนำคลื่นที่มีแผ่นกั้นภายในระนาบ E	
ที่มีขนาดแผ่นกั้นต่าง ๆ (- วิธีไฟไนต์อีลีเมนต์ร่วมกับวิธีโมดแมตซิง	
อวิธีไฟไนต์อีลีเมนต์ร่วมกับวิธีบาวนด์ารีมาร์ชซิง).....	52
รูปที่ 2.27 สัมประสิทธิ์การสะท้อน และการส่งผ่าน ของท่อนำคลื่นที่มีแผ่นกั้นภายในระนาบ H	
ที่มีขนาดแผ่นกั้นต่าง ๆ (- วิธีไฟไนต์อีลีเมนต์ร่วมกับวิธีโมดแมตซิง	
อวิธีไฟไนต์อีลีเมนต์ร่วมกับวิธีบาวนด์ารีมาร์ชซิง)	
(ก) สัมประสิทธิ์การสะท้อน (ข) สัมประสิทธิ์การส่งผ่าน.....	52



บทที่	หน้า
รูปที่ 2.28 ท่อนำคลื่นที่มีแถบไดอิเล็กตริกภายใน	
(ก) โครงสร้างสามมิติ (ข) โครงสร้างสองมิติระนาบ H.....	53
รูปที่ 2.29 สัมประสิทธิ์การสะท้อน และการส่งผ่าน ของท่อนำคลื่นที่มีแถบไดอิเล็กตริกภายใน ที่มีค่าสภาพยอมต่าง ๆ ( - วิธีไฟไนต์อีลีเมนต์ร่วมกับวิธีโมดแมตซิง oวิธีไฟไนต์อีลีเมนต์ร่วมกับวิธีบาวนด์ารีมาร์ชซิง)	
(ก) สัมประสิทธิ์การสะท้อน (ข) สัมประสิทธิ์การส่งผ่าน.....	54
รูปที่ 2.30 สัมประสิทธิ์การสะท้อนของท่อนำคลื่นที่มีแถบไดอิเล็กตริกภายในเมื่อเพิ่มจำนวน อีลีเมนต์ ( - วิธีไฟไนต์อีลีเมนต์ร่วมกับวิธีโมดแมตซิง oวิธีผลต่างสี่บเนื่อง D.V. Krupezevic, V.J. Brankovic and F. Arndt,(1993)).....	55
รูปที่ 2.31 สัมประสิทธิ์การสะท้อนของท่อนำคลื่นที่มีแผ่นกั้นภายในเมื่อเพิ่มจำนวนโมด ในการคำนวณด้วยวิธีไฟไนต์อีลีเมนต์ร่วมกับวิธีโมดแมตซิง.....	56
รูปที่ 2.32 แอมพลิจูดของสนามสะท้อนและสนามส่งผ่านของท่อนำคลื่นที่มีแผ่นกั้นภายใน ด้วยวิธีไฟไนต์อีลีเมนต์ร่วมกับวิธีโมดแมตซิง	
(ก) แอมพลิจูดของสนามสะท้อน (ข) แอมพลิจูดของสนามส่งผ่าน.....	56
รูปที่ 2.33 สัมประสิทธิ์การสะท้อนของท่อนำคลื่นที่มีแผ่นกั้นภายในเมื่อเพิ่มจำนวนรอบการวนซ้ำ ในการคำนวณด้วยวิธีไฟไนต์อีลีเมนต์ร่วมกับวิธีบาวนด์ารีมาร์ชซิง.....	57
รูปที่ 3.1 โครงสร้างข้อต่อรูปร่างใด ๆ แบบสามมิติที่มีการเชื่อมต่อระหว่างท่อนำคลื่นสี่เหลี่ยม	60
รูปที่ 3.2 การแบ่งอีลีเมนต์ในการวิเคราะห์ข้อต่อรูปร่างใด ๆ แบบสามมิติ.....	61
รูปที่ 3.3 อีลีเมนต์รูปทรงสี่หน้าและฟังก์ชันรูปร่างแบบขอบ.....	62
รูปที่ 3.4 ฟังก์ชันรูปร่างแบบขอบของอีลีเมนต์สามเหลี่ยม (ก) $N_1^e$ (ข) $N_2^e$ (ค) $N_3^e$ .....	65
รูปที่ 3.5 ท่อนำคลื่นที่มีแถบไดอิเล็กตริกภายในแบบสามมิติ	
(ก) โครงสร้างท่อนำคลื่น (ข) รูปการแบ่งอีลีเมนต์.....	68
รูปที่ 3.6 สัมประสิทธิ์การสะท้อนของท่อนำคลื่นที่มีแถบไดอิเล็กตริกภายในแบบสามมิติ ที่มีค่าสภาพยอมสัมพัทธ์ $\epsilon_r = 6.0$ ( - วิธีไฟไนต์อีลีเมนต์ร่วมกับวิธีโมดแมตซิง o วิธีไฟไนต์อีลีเมนต์ร่วมกับวิธีบาวนด์ารีมาร์ชซิง).....	68
รูปที่ 3.7 สัมประสิทธิ์การสะท้อนของท่อนำคลื่นที่มีแถบไดอิเล็กตริกภายในแบบสามมิติ เมื่อเพิ่มจำนวนโมดในการคำนวณวิธีไฟไนต์อีลีเมนต์ร่วมกับวิธีโมดแมตซิง.....	69

## สารบัญภาพ (ต่อ)

ณ

บทที่	หน้า
รูปที่ 3.8 สัมประสิทธิ์การสะท้อนของท่อนำคลื่นที่มีแถบไดอิเล็กตริกภายในแบบสามมิติ เมื่อเพิ่มจำนวนการวนรอบซ้ำในการคำนวณด้วยวิธีไฟไนต์อีลีเมนต์ร่วมกับ วิธีบาวนด์ารีมาร์ชชิง.....	70
รูปที่ 3.9 สัมประสิทธิ์การสะท้อนของท่อนำคลื่นที่มีแถบไดอิเล็กตริกภายในแบบสามมิติ ที่มีค่าสภาพยอมต่างๆ ด้วยวิธีไฟไนต์อีลีเมนต์ร่วมกับวิธีโมดแมตซิง.....	71
รูปที่ 3.10 สัมประสิทธิ์การสะท้อนของท่อนำคลื่นที่มีแถบไดอิเล็กตริกภายในแบบสามมิติ ที่มีค่าสภาพยอมสัมพัทธ์เป็นค่าเชิงซ้อน ( - วิธีไฟไนต์อีลีเมนต์ร่วมกับวิธีโมดแมตซิง o วิธีไฟไนต์อีลีเมนต์ที่ใช้ศักย์เวกเตอร์ (A,V) R. Edlinger ,I. Bardi ,O. Biro,K. Preis and K.R. Rister (1992)).....	71
รูปที่ 3.11 สัมประสิทธิ์การสะท้อนของท่อนำคลื่นที่มีแถบไดอิเล็กตริกภายในแบบสามมิติ ที่มีความยาวของแถบไดอิเล็กตริกต่างๆ ( - วิธีไฟไนต์อีลีเมนต์ร่วมกับวิธีโมดแมตซิง o วิธีผลต่างสี่บเนื่อง A.Cheist and H.L. Hartnagel (1987)).....	72
รูปที่ 3.12 สัมประสิทธิ์การสะท้อนของท่อนำคลื่นที่มีแถบไดอิเล็กตริกภายในแบบสามมิติ เมื่อเพิ่มจำนวนอีลีเมนต์ในการคำนวณด้วยวิธีไฟไนต์อีลีเมนต์ร่วมกับวิธีโมดแมตซิง ( - วิธีไฟไนต์อีลีเมนต์ร่วมกับวิธีโมดแมตซิง o วิธีผลต่างสี่บเนื่อง A.Cheist and H.L. Hartnagel (1987)).....	73
รูปที่ ก.1 อีลีเมนต์รูปร่างต่างๆ (ก) อีลีเมนต์หนึ่งมิติ (ข) อีลีเมนต์สามเหลี่ยม (ค) อีลีเมนต์ทรงสามเหลี่ยมสี่หน้า.....	81
รูปที่ ข.1 ท่อนำคลื่นที่มีการป้อนสนามในโหมดต่างๆ และกระบวนการบาวนด์ารีมาร์ชชิง.....	88
รูปที่ ข.2 สัมประสิทธิ์การส่งผ่านของท่อนำคลื่นสี่เหลี่ยม.....	90



## คำอธิบายสัญลักษณ์

ด

สัญลักษณ์	ความหมาย
$\hat{d}_x, \hat{d}_y, \hat{d}_z$	เวกเตอร์หนึ่งหน่วยในทิศทาง $x, y$ และ $z$ ตามลำดับ
$A_e$	พื้นที่ของอีลีเมนต์สามเหลี่ยม
$\beta_m$	ค่าคงที่การแพร่กระจายคลื่นโหมด $m$
$\nabla$	ตัวดำเนินการเดล
$\epsilon_0$	สภาพยอมของอวกาศว่าง
$\epsilon_r$	สภาพยอมสัมพัทธ์
$\mathcal{E}_m$	แบบรูปสนามไฟฟ้าในออร์เทกนัลโหมด $m$
$\vec{E}$	เวกเตอร์ความเข้มสนามไฟฟ้า
$E_z$	ความเข้มสนามไฟฟ้าในแนวแกน $z$
$\phi$	ความเข้มสนามแม่เหล็กไฟฟ้า
$\mathcal{H}_m$	แบบรูปสนามแม่เหล็กในออร์เทกนัลโหมด $m$
$\vec{H}$	เวกเตอร์ความเข้มสนามแม่เหล็ก
$H_z$	ความเข้มสนามแม่เหล็กในแนวแกน $z$
$I_m^+, I_m^-$	กระแสสมมูลขาเข้า/ออกต่อโหมด $m$
$\hat{I}_m^+, \hat{I}_m^-$	กระแสสมมูลออร์เทกนัลโหมด $m$ ขาเข้าและขาออกต่อโหมด $m$ ตามลำดับ
$j$	สัญลักษณ์ของส่วนจินตภาพของจำนวนเชิงซ้อน
$k_0$	เลขคลื่นของอวกาศว่าง
$l_m$	ความยาวด้านที่ $m$ ของอีลีเมนต์
$\mathcal{H}$	เวกเตอร์หนึ่งหน่วยในแนวตั้งฉากกับผิวของข้อต่อที่นำคลื่น
$N$	จำนวนอีลีเมนต์
$N_n$	จำนวนโนด
$N_s$	จำนวนขอบ
$N_p^{(k)}$	จำนวนโนดบนพอร์ต $k$ ของข้อต่อที่นำคลื่น
$N_s^{(k)}$	จำนวนขอบบนพอร์ต $k$ ของข้อต่อที่นำคลื่น
$N_1^e, N_2^e, N_3^e$	ฟังก์ชันรูปร่างอีลีเมนต์ขอบ
$\Omega$	บริเวณข้อต่อที่นำคลื่น
$R_m$	สัมประสิทธิ์การสะท้อนคลื่นโหมด $m$
$S_{ij}$	พารามิเตอร์การกระเจิง $ij$

## คำอธิบายสัญลักษณ์

ต

สัญลักษณ์

ความหมาย

$\Gamma_0$

ผนังตัวนำไฟฟ้าสมบูรณ์แบบ

$\Gamma^{(k)}$

ผนังบนพอร์ต  $k$  ของข้อต่อท่อนำคลื่น

$T_m$

สัมประสิทธิ์การส่งผ่านคลื่นโหมด  $m$

$\mu_0$

สภาพซาบซึมได้ของอวกาศว่าง

$\mu_r$

สภาพซาบซึมได้สัมพัทธ์

$V_e$

ปริมาตรของอีลีเมนต์ทรงสามเหลี่ยมสี่หน้า

$V_m^+, V_m^-$

แรงแต้นสมมูลขาเข้าและขาออกข้อต่อโหมด  $m$  ตามลำดับ

$\hat{V}_m^+, \hat{V}_m^-$

แรงแต้นสมมูลนอร์มัลไลซ์ขาเข้าและขาออกข้อต่อโหมด  $m$

ตามลำดับ

$\omega$

ความถี่เชิงมุม

$Y_m$

ค่าแอดมิตแตนซ์คลื่นโหมด  $m$

$Z_0$

ค่าอิมพีแดนซ์คลื่นในอวกาศว่าง

$Z_{cm}$

ค่าอิมพีแดนซ์คุณลักษณะคลื่นโหมด  $m$

$Z_{wm}$

ค่าอิมพีแดนซ์คลื่นโหมด  $m$

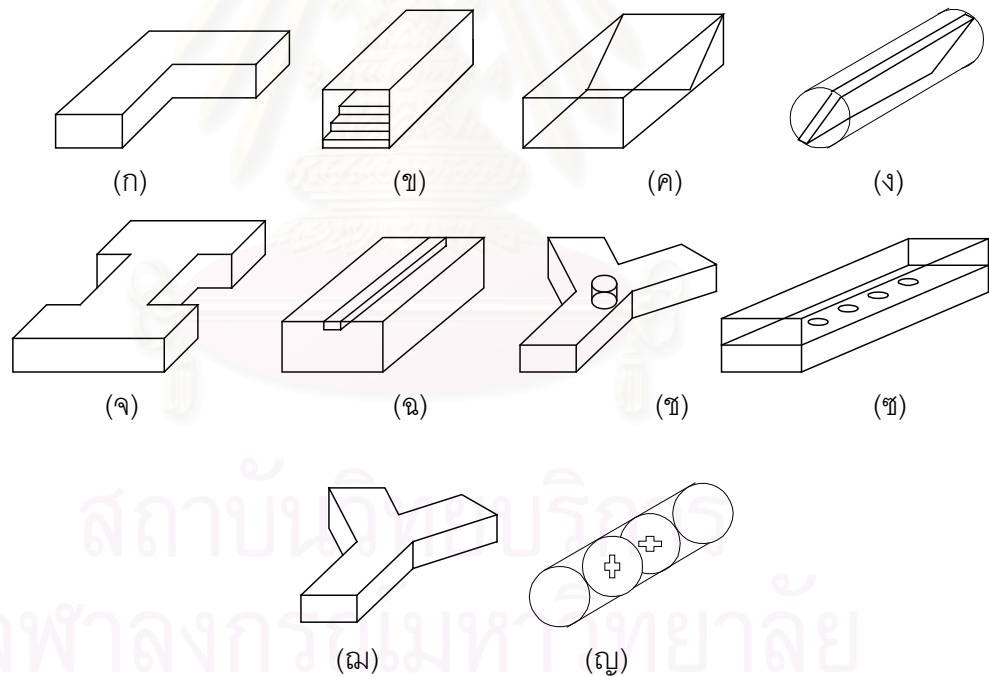
สถาบันวิทยบริการ  
จุฬาลงกรณ์มหาวิทยาลัย

# บทที่ 1

## บทนำ

### 1.1 ความเป็นมาและความสำคัญของปัญหา

ข้อต่อท่อนำคลื่นเป็นตัวแปลงกำลัง (transducer) ของคลื่นแม่เหล็กไฟฟ้าจากโหมดหนึ่งของท่อนำคลื่นท่อหนึ่งไปยังอีกโหมดหนึ่งของท่อนำคลื่นอีกท่อหนึ่งในระบบวงจรไมโครเวฟที่อาศัยความไม่ต่อเนื่องของคลื่นแม่เหล็กไฟฟ้าด้วยการเปลี่ยนแปลงลักษณะหน้าตัด การงอ และการใส่วัสดุต่างๆ ซึ่งจะทำให้เกิดการกระเจิงของคลื่นภายในข้อต่อท่อนำคลื่น อีกทั้งยังมีบทบาทสำคัญในการทำหน้าที่ต่าง ๆ ในระบบวงจรไมโครเวฟ ตัวอย่างของข้อต่อท่อนำคลื่น ได้แก่ ข้อต่อท่อนำคลื่น (bend waveguide) ตัวเลื่อนเฟส (phase shifter) ตัวแมตโหลด (matched load) ตัวปรับโพลาไรเซชัน (polarizer) ตัวลดทอนกำลังคลื่น (attenuator) ตัวแยกเดี่ยว (isolator) ตัวหมุนเวียน (circulator) คัปเปิลอร์แบบมีทิศทาง (directional coupler) ตัวแบ่งกำลังคลื่น (power divider) และตัวกรองความถี่ (filter) เป็นต้น ดังรูปที่ 1.1



รูปที่ 1.1 ข้อต่อท่อนำคลื่นที่ทำหน้าที่ต่าง ๆ ในระบบวงจรไมโครเวฟ

- (ก) ข้อต่อท่อนำคลื่น (ข) ตัวเลื่อนเฟส (ค) ตัวแมตโหลด (ง) ตัวปรับโพลาไรเซชัน  
(จ) ตัวลดทอนกำลังคลื่น (ฉ) ตัวแยกเดี่ยว (ช) ตัวหมุนเวียน (ฌ) คัปเปิลอร์แบบมีทิศทาง  
(ฎ) ตัวแบ่งกำลังคลื่น (ญ) ตัวกรองความถี่

การวิเคราะห์ปัญหาการกระเจิงคลื่นภายในข้อต่อท่อนำคลื่นแบ่งได้เป็นสองวิธีคือ วิธีเชิงวิเคราะห์ (analytical method) และวิธีเชิงตัวเลข (numerical method) การใช้วิธีเชิงวิเคราะห์ในการวิเคราะห์ปัญหาการกระเจิงคลื่นภายในข้อต่อท่อนำคลื่นให้ผลดีในข้อต่อท่อนำคลื่นที่มีรูปร่างข้อต่อท่อนำคลื่นไม่ซับซ้อน แต่ถ้ารูปร่างข้อต่อท่อนำคลื่นมีความซับซ้อนการวิเคราะห์ด้วยวิธีนี้จะทำได้ยาก การวิเคราะห์ปัญหาการกระเจิงคลื่นภายในข้อต่อท่อนำคลื่นด้วยวิธีเชิงตัวเลขสามารถใช้วิเคราะห์ข้อต่อท่อนำคลื่นที่มีรูปร่างต่าง ๆ ได้ดีด้วยวิธีเดียวกัน ถ้าแบ่งประเภทของวิธีเชิงตัวเลขตามลักษณะของสมการที่ใช้ในการวิเคราะห์จะแบ่งได้สองวิธีคือ วิธีที่ใช้สมการอินทิกรัลในการวิเคราะห์ได้แก่ วิธีบาวนด์ารีอีลีเมนต์ (boundary element) และวิธีที่ใช้สมการอนุพันธ์ในการวิเคราะห์ได้แก่ วิธีผลต่างสี่เหลี่ยม (finite difference) และวิธีไฟไนต์อีลีเมนต์ (finite element) โดยแต่ละวิธีมีข้อดีและข้อเสียแตกต่างกันดังนี้

1. วิธีบาวนด์ารีอีลีเมนต์เป็นวิธีที่สร้างสมการตามความสัมพันธ์ของสนามแม่เหล็กไฟฟ้าเฉพาะบริเวณผิวปิดล้อมข้อต่อเท่านั้น ดังนั้นจึงมีข้อดีที่สามารถลดมิติในการวิเคราะห์ลงได้หนึ่งมิติ และใช้หน่วยความจำในการคำนวณน้อย ข้อจำกัดของวิธีบาวนด์ารีอีลีเมนต์คือการวิเคราะห์ปัญหาการกระเจิงคลื่นภายในข้อต่อท่อนำคลื่นตัวกลางภายในชนิดไม่เอกพันธ์ทำได้ยาก เช่น K. Tanaka (1991) , J.M. Reiter and F. Arndt (1992) และ J. Abdulnour and L. Marchildon (1992) เป็นต้น

2. วิธีผลต่างสี่เหลี่ยมเป็นวิธีที่สร้างสมการตามความสัมพันธ์ของสนามแม่เหล็กไฟฟ้าภายในข้อต่อท่อนำคลื่นด้วยการแบ่งโดเมนภายในข้อต่อท่อนำคลื่นออกเป็นรูปกริด (grid) ข้อจำกัดของวิธีผลต่างสี่เหลี่ยมคือการแบ่งกริดให้เข้ากันได้กับข้อต่อที่มีรูปร่างใด ๆ ทำได้ยาก และจะต้องจำกัดโดเมนในการวิเคราะห์ให้เป็นบริเวณปิด แต่เนื่องจากพอร์ตของข้อต่อท่อนำคลื่นมีการเชื่อมต่อกับท่อนำคลื่นที่ยาวอนันต์ โดยถือเสมือนว่าเป็นบริเวณเปิดจึงต้องใช้วิธีอื่นร่วมด้วย เช่น E.A. NaVarro, V. Such, B. Gimeno and J.L. Cruz (1992,1994) เสนอวิธีนี้ร่วมกับการกำหนดเงื่อนไขขอบเขตแบบดูดกลืน (absorbing boundary) อันดับหนึ่ง และอันดับสอง ในการวิเคราะห์ข้อต่อสองมิติระนาบ H เป็นต้น

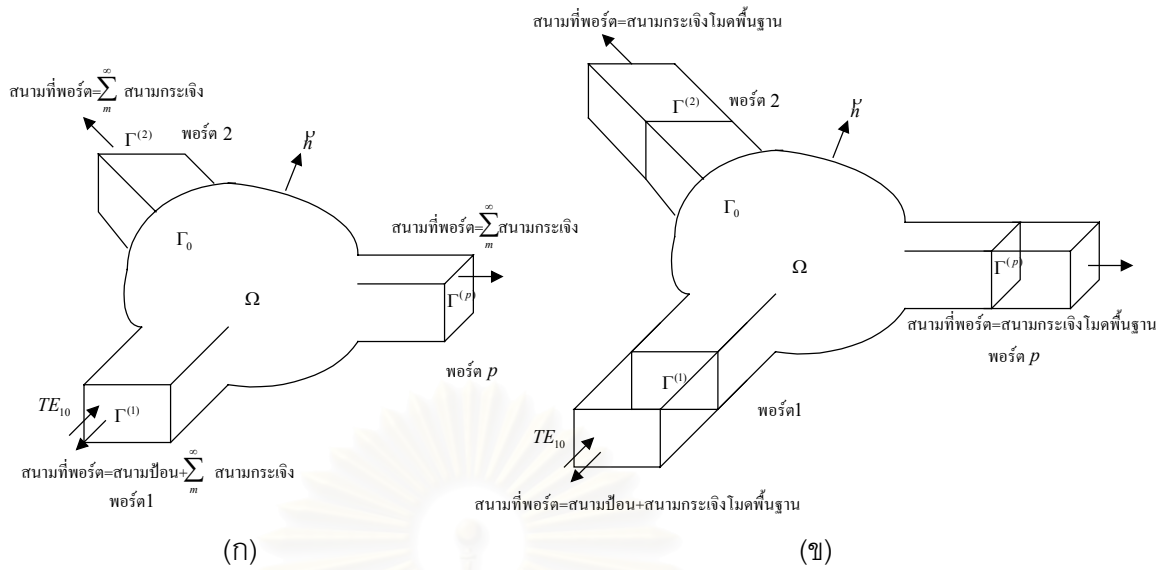
3. วิธีไฟไนต์อีลีเมนต์เป็นวิธีที่สร้างสมการตามความสัมพันธ์ของสนามแม่เหล็กไฟฟ้าภายในข้อต่อท่อนำคลื่นด้วยการแบ่งโดเมนภายในข้อต่อท่อนำคลื่นออกเป็นอีลีเมนต์ที่มีการประมาณสนามภายในแต่ละอีลีเมนต์ด้วยค่าสนามที่โนด (node element) หรือขอบของอีลีเมนต์ (edge element) ในวิทยานิพนธ์นี้จะใช้วิธีไฟไนต์อีลีเมนต์ในการวิเคราะห์ข้อต่อท่อนำคลื่น เนื่องจากเป็นวิธีที่วิเคราะห์ข้อต่อท่อนำคลื่นรูปร่างใดๆ ได้ดีกว่าเมื่อเทียบกับวิธีบาวนด์ารีอีลีเมนต์ และ

วิธีผลต่างสี่บเนื่อง รวมถึงสามารถวิเคราะห์ข้อต่อที่มีตัวกลางภายในชนิดไม่เอกพันธ์ได้ด้วย เนื่องจากวิธีนี้จำเป็นต้องจำกัดโดเมนในการวิเคราะห์ให้เป็นบริเวณปิด แต่พอร์ตของข้อต่อมีการเชื่อมต่อกับท่อนำคลื่นยาวอนันต์ โดยถือเสมือนเป็นบริเวณเปิด จึงต้องใช้วิธีอื่นร่วมในการวิเคราะห์ด้วย เช่น วิธีโมดแมตซิง และวิธี PML (perfect matched layer) Y. Tsuji and M. Koshiba (2002) เป็นต้น

จากงานวิจัยในอดีตที่ผ่านมาวิธีโมดแมตซิงเป็นวิธีที่นิยมนำมาใช้ในการวิเคราะห์ร่วมกับวิธีไฟไนต์อีลีเมนต์มากที่สุด เช่น V.N. Kanellopoulos and J.P. Webb (1990) ได้เสนอวิธีในการวิเคราะห์ข้อต่อสองมิติระนาบ E , M. Koshiba and M. Suzuki (1986), H.B. Lee, H.K. Jung and S.Y. Hahn (1995) ได้เสนอวิธีนี้ในการวิเคราะห์ข้อต่อสองมิติระนาบ H และ K. Ise, K. Inoue and M. Koshiba (1990,1991) ได้เสนอวิธีนี้ในการวิเคราะห์ข้อต่อสามมิติ เป็นต้น กรณีของข้อต่อที่มีตัวกลางภายในชนิดไม่เอกพันธ์แบบต่างๆ T.V. Yioultsis and T.D. Tsiboukis (1995) ได้เสนอวิธีนี้ในการวิเคราะห์ข้อต่อที่มีตัวกลางภายในชนิดไม่เอกพันธ์แบบแอนไอโซโทรปิก (anisotropic) และ R.S. Chen, E.K.N. Yung, Z.M. Xie and Y.F. Han (1999) ได้เสนอวิธีนี้ในการวิเคราะห์ข้อต่อที่มีตัวกลางภายในชนิดไม่เอกพันธ์แบบไครัล (chiral) เป็นต้น

วิธีไฟไนต์อีลีเมนต์ร่วมกับวิธีโมดแมตซิง เป็นวิธีแทนสนามที่เกิดขึ้นภายในท่อนำคลื่นยาวอนันต์ที่ต่อกับข้อต่อด้วยผลบวกกระหว่างสนามที่ป้อนกับสนามกระเจิงในรูปการแผ่ขยายโมด (mode expansion) หรือผลบวกของสนามกระเจิงในโมดต่าง ๆ วิธีโมดแมตซิงมีข้อจำกัดคือต้องพิจารณาจำนวนโมดของสนามกระเจิงจำนวนมาก เพื่อให้การคำนวณพารามิเตอร์การกระเจิงมีความถูกต้องและเวลาที่ใช้ในการคำนวณจะเพิ่มขึ้นเมื่อเพิ่มจำนวนโมดของสนามกระเจิง นอกจากนี้การคำนวณค่าการส่งผ่านของโมดอันดับสูงให้มีความถูกต้อง จำเป็นต้องแบ่งอีลีเมนต์ที่หน้าตัดของท่อนำคลื่นให้มากพอ ซึ่งมีผลให้จำนวนอีลีเมนต์ที่ต้องแบ่งภายในข้อต่อมีมากขึ้นด้วย ยังผลให้ประสิทธิภาพในการคำนวณลดลงได้ ดังรูปที่ 1.2 (ก)

จากการศึกษาพบว่าแนวทางในการลดจำนวนโมดของสนามกระเจิงให้เหลือเพียงโมดพื้นฐานนั้น ทำได้โดยการขยายบริเวณข้อต่อไปยังบริเวณท่อนำคลื่น และอาศัยคุณสมบัติสนามกระเจิงในโมดอันดับสูงจะมีแอมพลิจูดลดลงเมื่อเคลื่อนที่ห่างออกจากข้อต่อไปตามท่อนำคลื่น ในขณะที่สนามกระเจิงในโมดพื้นฐานจะมีแอมพลิจูดคงที่เมื่อเคลื่อนที่ห่างออกจากข้อต่อไปตามท่อนำคลื่น ดังนั้นที่พอร์ตที่ไกลจากข้อต่อ จึงเหลือเพียงสนามกระเจิงในโมดพื้นฐานเท่านั้น การขยายข้อต่อไปยังบริเวณท่อนำคลื่นนั้น มีผลให้การวิเคราะห์ข้อต่อด้วยวิธีไฟไนต์อีลีเมนต์มีตัวแปรไม่ทราบค่า (unknown) เพิ่มขึ้น ทำให้เวลาที่ใช้ในการคำนวณเพิ่มขึ้นด้วย ดังรูปที่ 1.2 (ข)

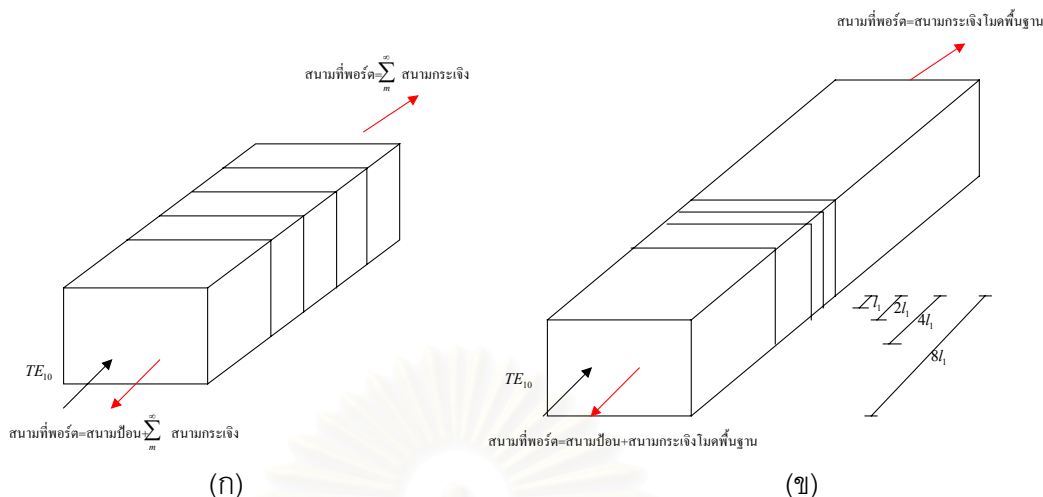


รูปที่ 1.2 วิธีไฟไนต์อีลีเมนต์ในการวิเคราะห์ข้อต่อรูปร่างใด ๆ

(ก) วิธีไฟไนต์อีลีเมนต์ร่วมกับวิธีโมดแมตริง (ข) การลดจำนวนโมดที่แทนสนามกระเจิง

วิธีลดตัวแปรไม่ทราบค่าภายในท่อนำคลื่นนั้นมีอยู่สองวิธี คือ วิธีแบ่งโครงสร้างย่อย (substructure method) เสนอโดย K. Ise, K. Inoue and M. Koshiba (1990) หลักการคือแบ่งบริเวณท่อนำคลื่นออกเป็นบริเวณย่อยที่มีปริมาตรเท่า ๆ กัน และให้มีตัวแปรไม่ทราบค่าเฉพาะที่หน้าตัดของบริเวณย่อย เมื่อรวมบริเวณย่อยที่ละสองบริเวณ กำจัดตัวแปรไม่ทราบค่าระหว่างบริเวณย่อยทั้งสอง วนรอบซ้ำของการรวมบริเวณย่อยที่ละสองบริเวณและกำจัดตัวแปรไม่ทราบค่าระหว่างบริเวณย่อย สุดท้ายจะเหลือตัวแปรไม่ทราบค่าเฉพาะที่พอร์ตของท่อนำคลื่น อีกวิธีในการลดตัวแปรไม่ทราบค่าภายในท่อนำคลื่นคือ วิธีบาวนด์รีมาร์ชชิง เสนอโดย S.L. Foo and P.P. Silvester (1992) หลักการคือแบ่งบริเวณท่อนำคลื่นออกเป็นบริเวณย่อยในลักษณะทวิคูณ  $2^R$  หรือมีขนาดบริเวณย่อยถัดไปใหญ่ขึ้นเป็นสองเท่าของบริเวณก่อนหน้า และให้มีตัวแปรไม่ทราบค่าเฉพาะที่หน้าตัดของบริเวณย่อย เมื่อรวมบริเวณย่อยที่ละสองบริเวณ กำจัดตัวแปรไม่ทราบค่าระหว่างบริเวณย่อยทั้งสอง วนรอบซ้ำของการรวมบริเวณย่อยที่ละสองบริเวณ โดย  $R$  คือจำนวนครั้งของการรวมบริเวณย่อย และกำจัดตัวแปรไม่ทราบค่าระหว่างบริเวณย่อยทั้งสอง เช่นเดียวกับวิธีแบ่งโครงสร้างย่อย สุดท้ายจะเหลือตัวแปรไม่ทราบค่าเฉพาะที่พอร์ตของท่อนำคลื่น ซึ่งผู้วิจัยเห็นว่าการใช้วิธีบาวนด์รีมาร์ชชิงในการลดตัวแปรไม่ทราบค่าในบริเวณท่อนำคลื่นนั้นเหมาะสมกว่าวิธีแบ่งโครงสร้างย่อย เนื่องจากวิธีบาวนด์รีมาร์ชชิงสามารถกำจัดตัวแปรไม่ทราบค่าภายในท่อนำคลื่นได้เร็วกว่าวิธีแบ่งโครงสร้างย่อย ดังรูปที่ 1.3



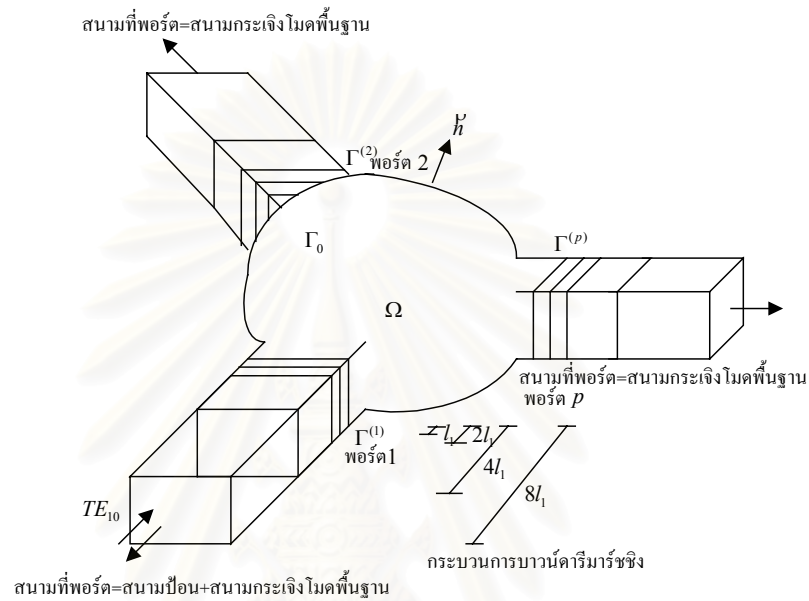


รูปที่ 1.3 วิธีลดตัวแปรไม่ทราบค่าภายในท่อนำคลื่น  
(ก) วิธีแบ่งโครงสร้างย่อย (ข) วิธีบาวนด์อาร์มาร์ชชิง

อย่างไรก็ตามงานวิจัยของ S.L. Foo and P.P. Silvester นั้นวิเคราะห์เฉพาะ ปัญหาความไม่ต่อเนื่องภายในท่อนำคลื่นที่เป็นปัญหาข้อต่อท่อนำคลื่นสองพอร์ดเท่านั้น ดังนั้น วิทยานิพนธ์นี้จึงมีแนวความคิดที่จะขยายวิธีดังกล่าวให้สามารถวิเคราะห์ปัญหาการกระเจิงคลื่น ภายในข้อต่อท่อนำคลื่นรูปร่างใด ๆ แบบสองมิติระนาบ E และระนาบ H และข้อต่อท่อนำคลื่น รูปร่างใด ๆ แบบสามมิติที่เชื่อมต่อกันระหว่างท่อนำคลื่นสี่เหลี่ยมด้วยวิธีไฟไนต์อีลีเมนต์ภายใน บริเวณข้อต่อ และขยายบริเวณข้อต่อท่อนำคลื่นออกไปยังบริเวณท่อนำคลื่นเพื่อลดจำนวนโมด ของสนามกระเจิงให้เหลือเพียงโมดพื้นฐาน และใช้วิธีบาวนด์อาร์มาร์ชชิงเพื่อลดจำนวนตัวแปร ไม่ทราบค่าในบริเวณท่อนำคลื่นที่ต่อออกไป เพื่อเพิ่มความเร็วและความถูกต้องในการคำนวณเมื่อ เทียบกับวิธี ไฟไนต์อีลีเมนต์ร่วมกับวิธีโมดแมตซ์ชิง

ในการวิเคราะห์ปัญหาการกระเจิงคลื่นภายในข้อต่อท่อนำคลื่นด้วยวิธีไฟไนต์ อีลีเมนต์ จะเกิดปัญหาผลเฉลยปลอมเทียม (spurious solution) ซึ่งเป็นผลเฉลยที่ไม่สอดคล้องกับ ความเป็นจริงทางกายภาพ ในการแก้ปัญหามาตรฐานที่แก้ปัญหามาตรฐานที่เกิดขึ้นดังกล่าวมีอยู่หลายวิธี ได้แก่ K. Ise, K. Inoue and M. Koshiba (1990) ได้เสนอวิธีฟังก์ชันพินอลตี (penalty function method) ในการปรับปรุงฟังก์ชันนอล (functional) เพื่อเลื่อนช่วงการเกิดผลเฉลยปลอมเทียมไปยัง ช่วงความถี่ที่สูงขึ้น ข้อจำกัดของวิธีฟังก์ชันพินอลตีคือผลเฉลยจะมีค่าความคลาดเคลื่อนมากขึ้น และเกิดผลเฉลยปลอมเทียมใหม่ หากเลือกค่าสัมประสิทธิ์พินอลตี (penalty coefficient) ไม่ เหมาะสม R.D. Edlinger, I. Bardi, O. Biro, K. Preis and R. Richter (1992) ได้เสนอวิธีหา สนามแม่เหล็กไฟฟ้าจากสนามของศักย์เวกเตอร์ (vector potential) และ K. Ise, K. Inoue and M. Koshiba (1991) ได้เสนอวิธีการใช้อีลีเมนต์ขอบ (edge element) ในการประมาณสนาม

แม่เหล็กไฟฟ้าภายในบริเวณข้อต่อท่อนำคลื่น โดยวิธีนี้มีข้อดีคือนอกจากจะกำจัดผลเฉลยปลอมเทียมได้แล้ว ยังสามารถวิเคราะห์การกระเจิงคลื่นภายในข้อต่อท่อนำคลื่นที่มีสนามภาวะเอกฐานเนื่องจากมุมโลหะและมุมไดอิเล็กทริกได้ ดังนั้นในงานวิทยานิพนธ์นี้จึงเลือกใช้วิธีไฟไนต์อีลีเมนต์ ขอบรูปทรงสามเหลี่ยมสี่หน้า (tetrahedral edge element) ในการแก้ปัญหาค่าผลเฉลยปลอมเทียมที่เกิดขึ้นในการวิเคราะห์ข้อต่อท่อนำคลื่นแบบสามมิติรูปร่างใด ๆ ด้วยวิธีไฟไนต์อีลีเมนต์



รูปที่ 1.4 วิธีไฟไนต์อีลีเมนต์ร่วมกับวิธีบาวนด์รีมาร์ชชิงในการวิเคราะห์ข้อต่อรูปร่างใด ๆ



วิทยานิพนธ์นี้ประกอบด้วยเนื้อหาต่างๆ ดังนี้

บทที่ 1. บทนำ กล่าวถึง ความเป็นมาของงานวิจัย นำเสนองานวิจัยในอดีตที่เกี่ยวข้องตลอดจนแนวทางและขอบเขตการวิจัย รวมทั้งประโยชน์ที่ได้รับจากวิทยานิพนธ์นี้

บทที่ 2. กล่าวถึงการวิเคราะห์ข้อต่อสองมิติแบบระนาบ E และระนาบ H ด้วยวิธีไฟไนต์อีลีเมนต์ร่วมกับวิธีโมดแมตซิงและวิธีบาวนด์ารีมาร์ชชิง นิยามของพารามิเตอร์การกระเจิงของข้อต่อท่อนำคลื่นรูปร่างใด ๆ และการวิเคราะห์หาพารามิเตอร์การกระเจิงของข้อต่อท่อนำคลื่นรูปร่างใด ๆ แบบสองมิติที่เชื่อมต่อระหว่างท่อนำคลื่นสี่เหลี่ยม ซึ่งได้แก่ ข้อต่อระนาบ E และระนาบ H ด้วยวิธีไฟไนต์อีลีเมนต์ เริ่มต้นจะกล่าวถึงสมการพื้นฐานสำหรับการวิเคราะห์ข้อต่อระนาบ E และระนาบ H ในรูปของสมการสเกลาร์ของเฮล์มโฮลทซ์ (Helmholtz's equation) แนวคิดของวิธีไฟไนต์อีลีเมนต์ที่ใช้การกำหนดเงื่อนไขที่พอร์ตด้วยวิธีโมดแมตซิง และการกำหนดเงื่อนไขที่พอร์ตด้วยวิธีบาวนด์ารีมาร์ชชิง รวมทั้งการเปรียบเทียบผลระหว่างวิธีกำหนดเงื่อนไขที่พอร์ตด้วยวิธีโมดแมตซิงกับวิธีบาวนด์ารีมาร์ชชิง และกรณีตัวอย่างการคำนวณของข้อต่อสองมิติแบบระนาบ E และระนาบ H ที่มีรูปร่างต่างๆ ได้แก่ ข้อต่อ  $90^\circ$  ข้อต่อตัว T ท่อนำคลื่นสี่เหลี่ยมที่มีเสาโลหะภายใน ท่อนำคลื่นสี่เหลี่ยมที่มีแผ่นกั้นภายใน และท่อนำคลื่นสี่เหลี่ยมที่มีแถบไดอิเล็กทริกภายใน เป็นต้น

บทที่ 3. กล่าวถึงการวิเคราะห์ข้อต่อสามมิติด้วยวิธีไฟไนต์อีลีเมนต์ร่วมกับวิธีโมดแมตซิงและวิธีบาวนด์ารีมาร์ชชิง การวิเคราะห์หาพารามิเตอร์การกระเจิงของข้อต่อสามมิติที่เชื่อมต่อระหว่างท่อนำคลื่นสี่เหลี่ยมด้วยวิธีไฟไนต์อีลีเมนต์ เริ่มต้นจะกล่าวถึงสมการพื้นฐานสำหรับการวิเคราะห์ข้อต่อสามมิติในรูปของสมการคลื่นแบบเวกเตอร์ของสนามแม่เหล็ก แนวคิดของวิธีไฟไนต์อีลีเมนต์ที่ใช้การกำหนดเงื่อนไขที่พอร์ตด้วยวิธีโมดแมตซิง และการกำหนดเงื่อนไขที่พอร์ตด้วยวิธีบาวนด์ารีมาร์ชชิง รวมทั้งการเปรียบเทียบผลระหว่างวิธีกำหนดเงื่อนไขที่พอร์ตด้วยวิธีโมดแมตซิงกับวิธีบาวนด์ารีมาร์ชชิง และกรณีตัวอย่างการคำนวณของท่อนำคลื่นที่มีแถบไดอิเล็กทริกภายในแบบสามมิติ

บทที่ 4. กล่าวถึงข้อสรุปในการวิเคราะห์ข้อต่อด้วยวิธีที่ได้นำเสนอในวิทยานิพนธ์นี้ พร้อมกับเสนอแนะแนวทางในการนำไปพัฒนาปรับปรุงวิธีการวิเคราะห์ปัญหาการกระเจิงคลื่นภายในข้อต่อให้มีคุณภาพและประสิทธิภาพมากขึ้น

## 1.2 วัตถุประสงค์ของการวิจัย

เสนอวิธีวิเคราะห์การกระเจิงคลื่นในข้อต่อรูปร่างใด ๆ แบบสองมิติระนาบ E และระนาบ H และข้อต่อรูปร่างใด ๆ แบบสามมิติ ที่เชื่อมต่อระหว่างท่อนำคลื่นสี่เหลี่ยมด้วยวิธีไฟไนต์อีลีเมนต์ร่วมกับวิธีบาวนด์ารีมาร์ชชิง และเปรียบเทียบผลการคำนวณกับวิธีไฟไนต์อีลีเมนต์ร่วมกับวิธีโมดแมตชิง

## 1.3 วิธีดำเนินการและขอบเขตของการวิจัย

1. ศึกษาการวิเคราะห์การกระเจิงของคลื่นในข้อต่อสองมิติแบบระนาบ E และระนาบ H ด้วยวิธีไฟไนต์อีลีเมนต์ร่วมกับวิธีบาวนด์ารีมาร์ชชิง
2. ศึกษาการวิเคราะห์การกระเจิงของคลื่นในข้อต่อสามมิติรูปร่างใด ๆ ด้วยวิธีไฟไนต์อีลีเมนต์ร่วมกับวิธีบาวนด์ารีมาร์ชชิง
3. เขียนโปรแกรมเพื่อคำนวณตามวิธีในข้อ 1 และข้อ 2.
4. ทดสอบกับกรณีตัวอย่างอื่น ๆ ที่มีการตีพิมพ์ไว้
5. เปรียบเทียบคำตอบที่ได้ระหว่างวิธีไฟไนต์อีลีเมนต์ร่วมกับวิธีโมดแมตชิงกับวิธีไฟไนต์อีลีเมนต์ร่วมกับวิธีโมดแมตชิง
6. จัดทำเอกสารวิทยานิพนธ์

## 1.4 ประโยชน์ที่คาดว่าจะได้รับ

1. ได้องค์ความรู้ใหม่ในการวิเคราะห์การกระเจิงคลื่นในข้อต่อรูปร่างใด ๆ แบบสองมิติระนาบ E และระนาบ H และข้อต่อรูปร่างใด ๆ แบบสามมิติ ที่เชื่อมต่อระหว่างท่อนำคลื่นสี่เหลี่ยมด้วยวิธีไฟไนต์อีลีเมนต์ร่วมกับวิธีบาวนด์ารีมาร์ชชิง
2. ได้โปรแกรมการวิเคราะห์สำหรับออกแบบข้อต่อรูปร่างใด ๆ แบบสองมิติระนาบ E และระนาบ H และข้อต่อรูปร่างใด ๆ แบบสามมิติ ที่เชื่อมต่อระหว่างท่อนำคลื่นสี่เหลี่ยม

## บทที่ 2

### การวิเคราะห์ข้อต่อสองมิติแบบระนาบ E และระนาบ H ด้วยวิธีไฟไนต์อีลีเมนต์ร่วมกับวิธีโมดแมตซิงและวิธีบาวนด์ารีมาร์ชชิง

#### 2.1 ความนำ

บทนี้จะกล่าวถึงนิยามของพารามิเตอร์การกระเจิง ของข้อต่อท่อนำคลื่นรูปร่างใด ๆ และการวิเคราะห์หาพารามิเตอร์การกระเจิงของข้อต่อรูปร่างใด ๆ แบบสองมิติที่เชื่อมต่อกันระหว่างท่อนำคลื่นสี่เหลี่ยม ซึ่งได้แก่ ข้อต่อระนาบ E และข้อต่อระนาบ H ด้วยวิธีไฟไนต์อีลีเมนต์ เริ่มต้นจะกล่าวถึงสมการพื้นฐานสำหรับการวิเคราะห์ข้อต่อระนาบ E และระนาบ H ในรูปของสมการสเกลาร์ของเฮล์มโฮลทซ์ แนวคิดของวิธีไฟไนต์อีลีเมนต์ที่ใช้การกำหนดเงื่อนไขที่พอร์ตด้วยวิธีโมดแมตซิง และการกำหนดเงื่อนไขที่พอร์ตด้วยวิธีบาวนด์ารีมาร์ชชิง รวมทั้งการเปรียบเทียบผลการคำนวณระหว่างวิธีกำหนดเงื่อนไขที่พอร์ตด้วยวิธีโมดแมตซิงกับวิธีบาวนด์ารีมาร์ชชิง และกรณีตัวอย่างการคำนวณของข้อต่อสองมิติแบบระนาบ E และระนาบ H ที่มีรูปร่างต่าง ๆ ได้แก่ ข้อต่ออง  $90^\circ$  ข้อต่อตัว T ท่อนำคลื่นสี่เหลี่ยมที่มีเสาโลหะภายใน ท่อนำคลื่นสี่เหลี่ยมที่มีแผ่นกั้นภายใน และท่อนำคลื่นสี่เหลี่ยมที่มีแถบไดอิเล็กทริกภายใน

บทนี้จะประกอบด้วยเนื้อหา ดังนี้

#### 2.1 ความนำ

#### 2.2 นิยามของพารามิเตอร์การกระเจิง

#### 2.3 สมการพื้นฐานสำหรับการวิเคราะห์ข้อต่อระนาบ E และระนาบ H

#### 2.4 วิธีไฟไนต์อีลีเมนต์

#### 2.5 การกำหนดเงื่อนไขที่พอร์ตด้วยวิธีโมดแมตซิง

#### 2.6 การกำหนดเงื่อนไขที่พอร์ตด้วยวิธีบาวนด์ารีมาร์ชชิง

#### 2.7 ผลการคำนวณในกรณีตัวอย่าง

จุฬาลงกรณ์มหาวิทยาลัย

## 2.2 นิยามของพารามิเตอร์การกระเจิง

หัวข้อนี้ผู้วิจัยจะกล่าวถึงนิยามของพารามิเตอร์การกระเจิงที่ใช้กับข้อต่อรูปร่างใด ๆ ในการส่งผ่านคลื่นตามท่อนำคลื่นนั้น หากเปรียบเทียบกับ การส่งผ่านในสายโคแอกเชียลและสายคู่ขนาน จะพบว่ากรณีสายโคแอกเชียลและสายคู่ขนานจะมีการส่งผ่านคลื่นในรูปของโหมด  $TEM$  ซึ่งสามารถนิยามคลื่นแรงดันและคลื่นกระแสทางกายภาพได้อย่างชัดเจน จากการวัดค่าความต่างศักย์ไฟฟ้าระหว่างตัวนำสองตัว ในกรณีท่อนำคลื่นนั้นคลื่นส่งผ่านจะมีโหมด  $TE$  และโหมด  $TM$  ซึ่งไม่สามารถหาค่าความต่างศักย์ไฟฟ้าได้โดยวิธีอินทิเกรตสนามไฟฟ้าตามเส้นเชื่อมโยงระหว่างสองจุดได้ ดังนั้นการนิยามพารามิเตอร์ที่ใช้อธิบายข้อต่อรูปร่างใด ๆ ที่เชื่อมระหว่างท่อนำคลื่นด้วยสนามแม่เหล็กไฟฟ้าจะเหมาะสมมากกว่า โดยเรียกคลื่นแรงดันและคลื่นกระแสที่ไม่เกิดขึ้นจริงทางกายภาพของท่อนำคลื่นว่า คลื่นแรงดันสมมูลและคลื่นกระแสสมมูล

ความสัมพันธ์ระหว่างคลื่นแม่เหล็กไฟฟ้า กับคลื่นแรงดันสมมูลและคลื่นกระแสสมมูลนั้นจะอาศัยคุณลักษณะที่สอดคล้องกันดังนี้ M.P. David (1998)

1. กำลังคลื่นที่ส่งผ่านตามท่อนำคลื่นซึ่งหาได้จากสนามไฟฟ้าแนวขวางและสนามแม่เหล็กแนวขวางของแต่ละโหมดจะเป็นอิสระจากกัน เนื่องจากคุณสมบัติเชิงตั้งฉากระหว่างคลื่นแต่ละโหมด
2. คลื่นที่ส่งผ่านตามท่อนำคลื่นจะเปลี่ยนแปลงไปตามระยะทาง  $z$  ในรูปของฟังก์ชัน  $e^{-j\beta z}$  สำหรับกรณีไม่มีการสูญเสีย
3. ความสัมพันธ์ระหว่างสนามแม่เหล็กแนวขวาง กับสนามไฟฟ้าแนวขวางของโหมดใด ๆ เขียนได้ดังนี้

$$\vec{h}_m = Y_{wm} (\vec{a}_z \times \vec{e}_m) \quad (2.1)$$

โดยที่  $\vec{e}_m$   $\vec{h}_m$  คือแบบรูปสนามไฟฟ้า และสนามแม่เหล็กโหมด  $m$  ตามลำดับ

$Y_{wm}$  คือค่าแอดมิตแตนซ์คลื่นโหมด  $m$

เมื่อให้สนามไฟฟ้าแนวขวางและสนามแม่เหล็กแนวขวางแสดงในรูปผลรวมของโหมดต่าง ๆ ดังนี้

$$\vec{E} = \sum_m (C_m^+ e^{-j\beta_m z} + C_m^- e^{j\beta_m z}) \vec{e}_m \quad (2.2)$$

$$\vec{H} = \sum_m (C_m^+ e^{-j\beta_m z} - C_m^- e^{j\beta_m z}) \vec{h}_m \quad (2.3)$$

โดยที่  $C_m^+$  และ  $C_m^-$  คือแอมพลิจูดของสนามแม่เหล็กไฟฟ้าโหมด  $m$  ที่เคลื่อนที่ไปในทิศ  $\pm z$  ตามลำดับ

$\beta_m$  คือค่าคงตัวการแพร่กระจายของคลื่นแม่เหล็กไฟฟ้าโหมด  $m$

และให้คลื่นแรงดันสมมูลและคลื่นกระแสสมมูลแสดงในรูปผลรวมของโหมดต่าง ๆ ดังนี้

$$V = \sum_m (V_m^+ e^{-j\beta_m z} + V_m^- e^{j\beta_m z}) \quad (2.4)$$

$$I = \sum_m (I_m^+ e^{-j\beta_m z} - I_m^- e^{j\beta_m z}) \quad (2.5)$$

โดยที่  $V$  และ  $I$  คือคลื่นแรงดันสมมูลและคลื่นกระแสสมมูล ตามลำดับ

$V_m^+$  และ  $V_m^-$  คือแอมพลิจูดของคลื่นแรงดันสมมูลโหมด  $m$  ที่เคลื่อนที่ไปในทิศ  $\pm z$  ตามลำดับ

$I_m^+$  และ  $I_m^-$  คือแอมพลิจูดของคลื่นกระแสสมมูลโหมด  $m$  ที่เคลื่อนที่ไปในทิศ  $\pm z$  ตามลำดับ

เพื่อหาความสัมพันธ์ระหว่างคลื่นแรงดันสมมูล และคลื่นกระแสสมมูลโหมด  $m$  กับแอมพลิจูดของคลื่นแม่เหล็กไฟฟ้าโหมด  $m$  เราจะให้

$$V_m^+ = k_{Vm} C_m^+ \quad (2.6)$$

$$V_m^- = k_{Vm} C_m^- \quad (2.7)$$

$$I_m^+ = k_{Im} C_m^+ \quad (2.8)$$

$$I_m^- = k_{Im} C_m^- \quad (2.9)$$

โดยที่  $k_{Vm}$  และ  $k_{Im}$  คือค่าคงตัวที่จะกำหนดความสัมพันธ์ระหว่างสนามแม่เหล็กกับคลื่นกระแสสมมูล และสนามไฟฟ้ากับคลื่นแรงดันสมมูล ตามลำดับ

ค่าคงตัว  $k_{Vm}$  และ  $k_{Im}$  สามารถพิจารณาจากเงื่อนไขหลัก 2 ประการคือกำลังคลื่นที่หาจากคลื่นแม่เหล็กไฟฟ้าจะต้องเท่ากับกำลังคลื่นที่หาจากคลื่นแรงดันสมมูลและคลื่นกระแสสมมูล ซึ่งแสดงเป็นสมการได้ดังนี้

$$\frac{1}{2} \int (\mathbf{E} \times \mathbf{H}^*) \cdot \hat{\mathbf{a}}_z ds = \frac{1}{2} VI^* \quad (2.10)$$

หรือ 
$$k_{Vm}k_{Im} = \int_S (\mathbf{E}_m \times \mathbf{h}_m^*) \cdot \mathbf{a}_z ds \quad (2.11)$$

โดยที่ \* คือเครื่องหมายแสดงค่าสังยุคเชิงซ้อน

$\int_S ds$  คือการอินทิเกรตพื้นที่บนหน้าตัดของพอร์ต

เงื่อนไขที่สองคือค่าอิมพีแดนซ์คุณลักษณะ (characteristic impedance) ที่หาจากอัตราส่วนแรงดันสมมูลกับกระแสสมมูลต้องเท่ากับอิมพีแดนซ์คลื่นของท่อนำคลื่นกล่าวคือ

$$Z_{cm} = Z_{wm} = \frac{V_m^+}{I_m^+} = \frac{|\mathbf{a}_z \times C_m^+ \mathbf{E}_m^+|}{|C_m^+ \mathbf{h}_m^+|} \quad (2.12)$$

หรือ 
$$\frac{k_{Vm}}{k_{Im}} = Z_{wm} \quad (2.13)$$

โดยที่  $Z_{cm}$  คือค่าอิมพีแดนซ์คุณลักษณะคลื่นโมด  $m$

$Z_{wm}$  คือค่าอิมพีแดนซ์คลื่นโมด  $m$

เมื่อใช้สมการ (2.11) ร่วมกับสมการ (2.13) ทำให้เราหาค่า  $k_{Vm}$  และ  $k_{Im}$  ได้เป็น

$$k_{Vm} = \sqrt{Z_{wm} \int_S (\mathbf{E}_m \times \mathbf{h}_m^*) \cdot \mathbf{a}_z ds} \quad (2.14)$$

$$k_{Im} = \sqrt{\frac{1}{Z_{wm}} \int_S (\mathbf{E}_m \times \mathbf{h}_m^*) \cdot \mathbf{a}_z ds} \quad (2.15)$$

นำความสัมพันธ์ตามสมการ (2.6)-(2.7) และ (2.14) แทนลงในสมการ (2.2)-(2.3) จะได้สมการความสัมพันธ์กันระหว่างคลื่นแม่เหล็กไฟฟ้ากับแรงดันสมมูลดังนี้

$$\mathbf{E} = \sum_m (V_m^+ e^{-j\beta_m z} + V_m^- e^{j\beta_m z}) \frac{1}{\sqrt{Z_{wm}}} \mathbf{E}_m \quad (2.16)$$

$$\mathbf{H} = \sum_m (V_m^+ e^{-j\beta_m z} - V_m^- e^{j\beta_m z}) \frac{1}{\sqrt{Z_{wm}}} \mathbf{h}_m \quad (2.17)$$

หรือ 
$$\mathbf{E} = \sum_m (\hat{V}_m^+ e^{-j\beta_m z} + \hat{V}_m^- e^{j\beta_m z}) \mathbf{E}_m \quad (2.18)$$



$$\hat{H} = \sum_m (\hat{V}_m^+ e^{-j\beta_m z} - \hat{V}_m^- e^{j\beta_m z}) \hat{h}_m^p \quad (2.19)$$

โดยที่  $\hat{E}_m^p$  และ  $\hat{h}_m^p$  คือแบบรูปสนามไฟฟ้าและสนามแม่เหล็กนอร์แมลไลซ์ ซึ่งมีค่าดังนี้

$$\hat{E}_m^p = \frac{\hat{E}_m^p}{\sqrt{\int_S (\hat{E}_m^p \times \hat{h}_m^{p*}) \cdot \hat{a}_z ds}}$$

$$\hat{h}_m^p = \frac{\hat{h}_m^p}{\sqrt{\int_S (\hat{E}_m^p \times \hat{h}_m^{p*}) \cdot \hat{a}_z ds}}$$

$\hat{V}_m^+$  และ  $\hat{V}_m^-$  คือแอมพลิจูดของคลื่นแรงดันสมมูลนอร์แมลไลซ์โหมด  $m$  ที่เคลื่อนที่ไปในทิศ  $\pm z$  ตามลำดับ

เมื่อพิจารณาข้อต่อรูปร่างใด ๆ ที่มีโหมดการส่งผ่านในโหมดพื้นฐานเพียงโหมดเดียว จำนวน  $N$  พอร์ต สนามแม่เหล็กไฟฟ้าที่พอร์ต  $k$  เขียนในรูปของแรงดันสมมูลนอร์แมลไลซ์ได้ดังนี้

$$\hat{E}^{(k)} = (\hat{V}_1^{(k)+} e^{-j\beta_1^{(k)} z} + \hat{V}_1^{(k)-} e^{j\beta_1^{(k)} z}) \hat{E}_1^{(k)} \quad (2.20)$$

$$\hat{H}^{(k)} = (\hat{V}_1^{(k)+} e^{-j\beta_1^{(k)} z} - \hat{V}_1^{(k)-} e^{j\beta_1^{(k)} z}) \hat{h}_1^{(k)} \quad (2.21)$$

โดยที่  $\hat{E}^{(k)}$ ,  $\hat{H}^{(k)}$  คือสนามไฟฟ้าแนวขวางและสนามแม่เหล็กแนวขวางที่พอร์ต  $k$  ตามลำดับ

$\hat{V}_1^{(k)+}$ ,  $\hat{V}_1^{(k)-}$  คือแรงดันสมมูลนอร์แมลไลซ์ขาเข้าและขาออกข้อต่อหน้าคลื่นในโหมดพื้นฐานที่พอร์ต  $k$  ตามลำดับ

$\beta_1^{(k)}$  คือค่าคงตัวการแพร่กระจายของคลื่นแม่เหล็กไฟฟ้าในโหมดพื้นฐานที่พอร์ต  $k$

$\hat{E}_m^{(k)}$ ,  $\hat{h}_m^{(k)}$  คือแบบรูปสนามไฟฟ้านอร์แมลไลซ์และสนามแม่เหล็กนอร์แมลไลซ์ในโหมดพื้นฐานที่พอร์ต  $k$  ตามลำดับ

ความสัมพันธ์ระหว่างแรงดันสมมูลนอร์แมลไลซ์ขาออกกับแรงดันสมมูลนอร์แมลไลซ์ขาเข้าในโหมดพื้นฐานถูกนิยามให้อยู่ในรูปของเมทริกซ์การกระเจิงดังนี้ M.P. David (1998)

$$\begin{bmatrix} \hat{V}_1^{(1)-} \\ \mathbf{M} \\ \hat{V}_1^{(N)-} \end{bmatrix} = \begin{bmatrix} S_{11} & \Lambda & S_{1N} \\ \mathbf{M} & \mathbf{O} & \mathbf{M} \\ S_{N1} & \Lambda & S_{NN} \end{bmatrix} \begin{bmatrix} \hat{V}_1^{(1)+} \\ \mathbf{M} \\ \hat{V}_1^{(N)+} \end{bmatrix} \quad (2.22)$$

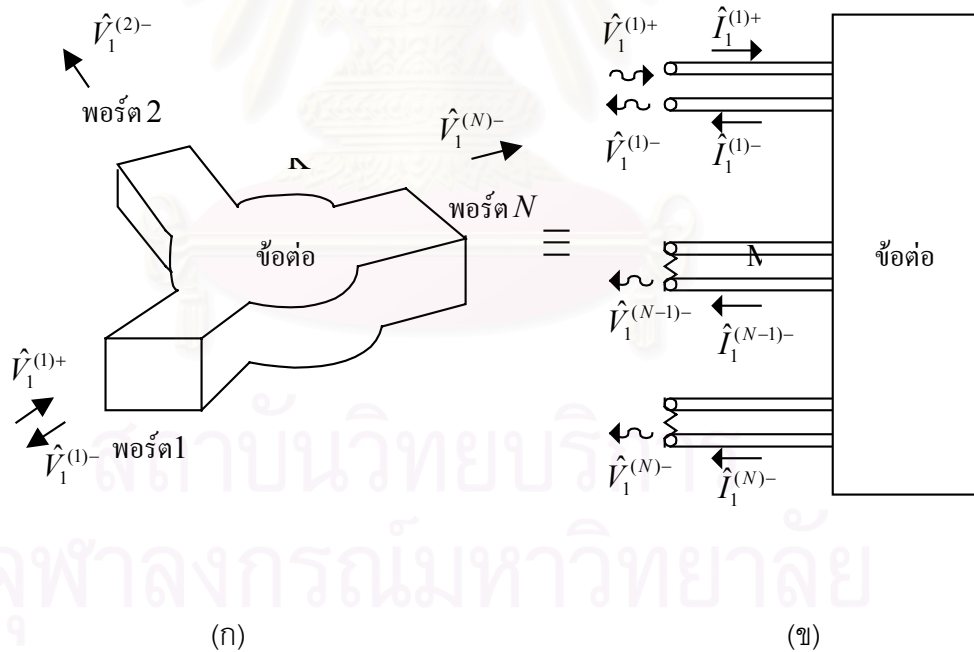
โดยที่  $[S]$  คือเมทริกซ์การกระเจิงและเรียกสมาชิก  $S_{ij}$  ว่าพารามิเตอร์การกระเจิงของพอร์ต  $i$  กับ  $j$

จากนิยามดังกล่าวพารามิเตอร์การกระเจิง  $S_{jj}$  และ  $S_{kj}$  โดย  $k \neq j$  สามารถหาได้ โดยการป้อนคลื่นในโหมดพื้นฐานที่พอร์ต  $j$  ( $\hat{V}_1^{(j)+}$ ) และแมตโหนดในพอร์ตที่เหลือไม่ให้เกิดสะท้อนของคลื่นกลับเข้ามายังข้อต่อ ( $\hat{V}_1^{(k)+} = 0$ ) เรียก  $S_{jj}$  และ  $S_{kj}$  ว่าสัมประสิทธิ์การสะท้อน และสัมประสิทธิ์การส่งผ่านตามลำดับ ตัวอย่างเช่น การหาพารามิเตอร์การกระเจิง  $S_{11}, \dots, S_{N1}$  สามารถหาได้โดยการป้อนคลื่นในโหมดพื้นฐานที่พอร์ตที่หนึ่งของข้อต่อ ( $\hat{V}_1^{(1)+}$ ) และแมตโหนดในพอร์ต  $2, \dots, N$  ( $\hat{V}_1^{(2)+}, \dots, \hat{V}_1^{(N)+} = 0$ ) ดังรูปที่ 2.1 เราเขียนความสัมพันธ์ตามสมการ (2.22) ได้เป็น

$$\begin{bmatrix} \hat{V}_1^{(1)-} \\ \hat{V}_1^{(2)-} \\ \vdots \\ \hat{V}_1^{(N)-} \end{bmatrix} = \begin{bmatrix} S_{11} & \Lambda & \Lambda & S_{1N} \\ S_{21} & 0 & \Lambda & S_{2N} \\ \vdots & \vdots & \vdots & \vdots \\ M & \Lambda & 0 & M \\ \vdots & \vdots & \vdots & \vdots \\ S_{N1} & \Lambda & \Lambda & S_{NN} \end{bmatrix} \begin{bmatrix} \hat{V}_1^{(1)+} \\ 0 \\ \vdots \\ 0 \end{bmatrix} \quad (2.23)$$

ผลที่ได้คือ

$$S_{ij} = \frac{V_1^{(j)-}}{V_1^{(i)+}} \quad (2.24)$$



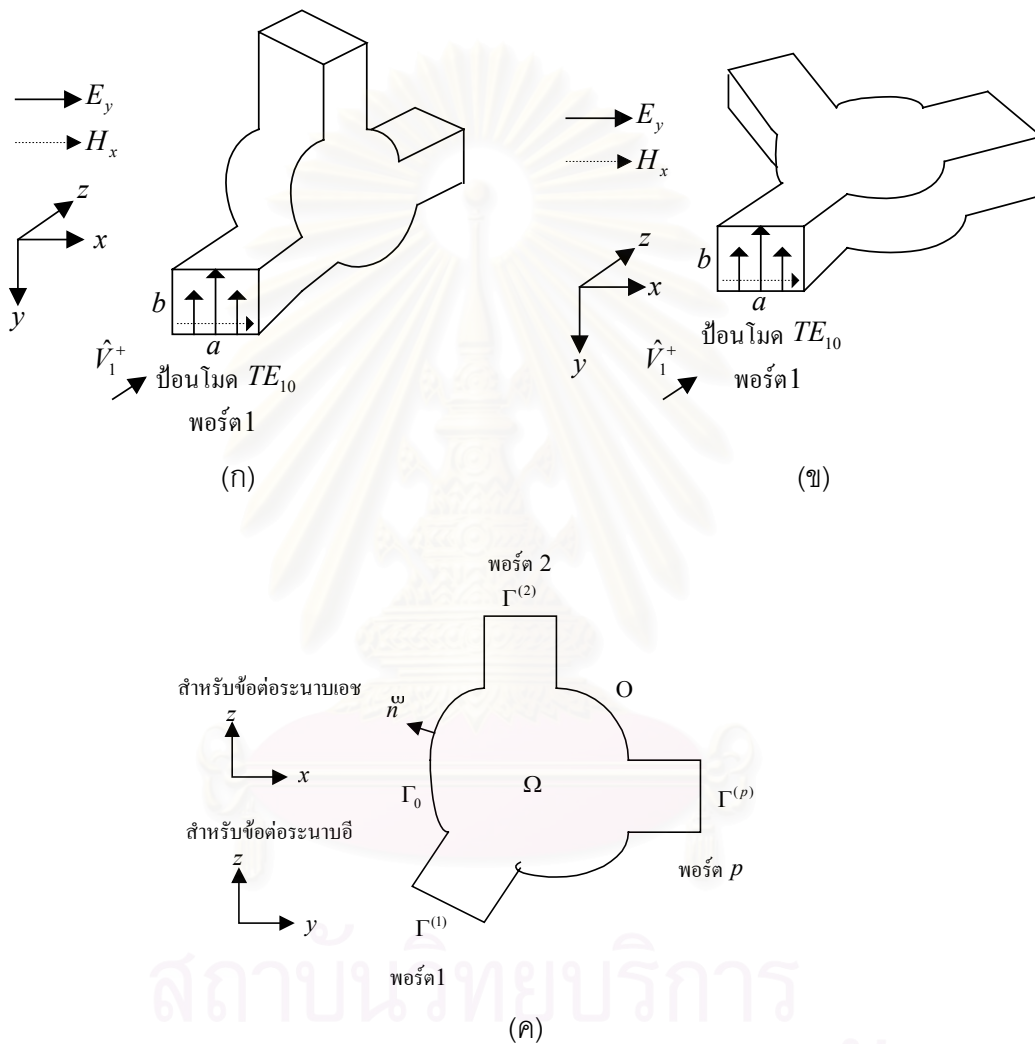
รูปที่ 2.1 การหาพารามิเตอร์การกระเจิง  $S_{11}, \dots, S_{N1}$  ของข้อต่อรูปร่างใด ๆ หลายพอร์ต

(ก) ข้อต่อหลายพอร์ต (ข) แรงดันสมมูลและกระแสสมมูล



### 2.3 สมการพื้นฐานสำหรับการวิเคราะห์ข้อต่อระนาบ E และข้อต่อระนาบ H

ข้อต่อระนาบ E และข้อต่อระนาบ H เป็นข้อต่อระหว่างท่อนำคลื่นสี่เหลี่ยมที่มีหน้าตัดคงตัวในแนวระนาบสนามไฟฟ้า (ระนาบ  $yz$ ) และระนาบสนามแม่เหล็ก (ระนาบ  $xz$ ) ของโหมดพื้นฐาน  $TE_{10}$  ตามลำดับ ดังรูปที่ 2.2 ข้อต่อประเภทนี้นิยมใช้มากในระบบวงจรไมโครเวฟ เช่น ตัวกำหนดทิศทาง ตัวแบ่งกำลัง ตัวรวมกำลัง ตัวเลื่อนเฟส ตัวกรองความถี่ และข้อต่อออค เป็นต้น



รูปที่ 2.2 โครงสร้างของข้อต่อระนาบ E และข้อต่อระนาบ H

(ก) ข้อต่อระนาบ E (ข) ข้อต่อระนาบ H

(ค) บริเวณข้อต่อตามแนวระนาบสนามของโหมดพื้นฐาน

## 2.3.1 ข้อต่อระนาบ E

เมื่อพิจารณาสนามแม่เหล็กไฟฟ้าฮาร์มอนิกเชิงเวลา (Time-harmonic electromagnetic field) หรือสนามที่ขึ้นกับเวลาในรูปของฟังก์ชัน  $e^{j\omega t}$  สนามแม่เหล็กไฟฟ้าภายในข้อต่อจะต้องสอดคล้องกับสมการแมกซ์เวลล์ในโดเมนความถี่ดังนี้

$$\nabla \times \vec{H} = j\omega \epsilon_0 \epsilon_r \vec{E} \quad (2.25)$$

$$\nabla \times \vec{E} = -j\omega \mu_0 \mu_r \vec{H} \quad (2.26)$$

โดยที่  $\omega$  คือความถี่เชิงมุมของสนามแม่เหล็กไฟฟ้า

$\epsilon_0$  และ  $\mu_0$  คือสภาพยอมทางไฟฟ้า และความซาบซึ่มได้ทางแม่เหล็กในอวกาศว่าง

$\epsilon_r$  และ  $\mu_r$  คือสภาพยอมทางไฟฟ้าสัมพัทธ์ และความซาบซึ่มได้ทางแม่เหล็กสัมพัทธ์

เนื่องจากโครงสร้างของข้อต่อระนาบ E ประกอบด้วยระนาบตัวนำคู่ขนานในแนวระนาบสนามไฟฟ้าของโหมด  $TE_{10}$  (ระนาบ  $yz$ ) ดังนั้นสนามไฟฟ้าแนวสัมผัสผนังระนาบตัวนำคู่ขนานจะอยู่ในรูปของคลื่นนิ่งดังนี้

$$E_y = \sin\left(\frac{m\pi x}{a}\right) E_y(y, z) \quad (2.27)$$

$$E_z = \sin\left(\frac{m\pi x}{a}\right) E_z(y, z) \quad (2.28)$$

และส่วนประกอบของสนามอีกสี่ตัวจะต้องสอดคล้องกับสมการ (2.25) และ (2.26) ดังนี้

$$E_x = \cos\left(\frac{m\pi x}{a}\right) E_x(y, z) \quad (2.29)$$

$$H_x = \sin\left(\frac{m\pi x}{a}\right) H_x(y, z) \quad (2.30)$$

$$H_y = \cos\left(\frac{m\pi x}{a}\right) H_y(y, z) \quad (2.31)$$

$$H_z = \cos\left(\frac{m\pi x}{a}\right) H_z(y, z) \quad (2.32)$$

จากสมการ (2.27)-(2.32) พบว่าสนามแม่เหล็กไฟฟ้าแต่ละส่วนประกอบมีฟังก์ชันไม่ทราบค่าขึ้นกับตำแหน่ง  $y, z$  เท่านั้น จากงานวิจัยของ V.N. Kanellopoulos and J.P. Webb

(1990) พบว่า การวิเคราะห์ข้อต่อระนาบ  $E$  ให้มีความถูกต้องจะขึ้นอยู่กับจำนวนของส่วนประกอบที่ใช้ในการวิเคราะห์ด้วย ในกรณีของข้อต่อระนาบ  $E$  ที่มีตัวกลางภายในชนิดเอกพันธ์ การใช้สนามแม่เหล็ก  $H_x$  เพียงส่วนประกอบเดียวก็เพียงพอในการวิเคราะห์ข้อต่อระนาบ  $E$  แต่สำหรับข้อต่อระนาบ  $E$  ที่มีตัวกลางภายในชนิดไม่เอกพันธ์นั้น จำเป็นต้องใช้สนามอย่างน้อยสองส่วนประกอบ ( $E_x, H_x$ ) ในการวิเคราะห์เพื่อให้ได้ผลเฉลยที่ถูกต้อง

ข้อต่อระนาบ  $E$  ที่มีตัวกลางภายในชนิดเอกพันธ์นั้น เมื่อป้อนสนามในโหมดพื้นฐาน  $TE_{10}$  ซึ่งไม่มีสนามไฟฟ้าในส่วนประกอบ  $E_x$  ประกอบกับโครงสร้างที่สม่ำเสมอในแนว  $x$  และตัวกลางภายในชนิดเอกพันธ์ จะไม่เกิดการเชื่อมร่วม (coupling) ระหว่างสนามแม่เหล็ก  $H_x$  กับสนามไฟฟ้า  $E_x$  ภายในข้อต่อ กล่าวโดยสรุปได้ว่า สนามที่เกิดขึ้นภายในข้อต่อระนาบ  $E$  ที่มีตัวกลางภายในชนิดเอกพันธ์จะไม่มีสนามในส่วนประกอบ  $E_x$  หรือจะมีเฉพาะสนามในโหมด  $TE_{1m}^x$  เท่านั้น โดยส่วนประกอบอื่น ๆ ของสนามแม่เหล็กไฟฟ้าจะหาได้จากสนามแม่เหล็กส่วนประกอบ  $H_x$  เพียงส่วนประกอบเดียว แต่สำหรับข้อต่อระนาบ  $E$  ที่มีตัวกลางไม่ชนิดเอกพันธ์ จะเกิดการเชื่อมร่วมระหว่างสนามแม่เหล็ก  $H_x$  กับสนามไฟฟ้า  $E_x$  ภายในข้อต่อ ดังนั้นในการหาสนามส่วนประกอบอื่น ๆ จำเป็นต้องใช้สนามอย่างน้อยสองส่วนประกอบ ( $E_x, H_x$ ) ในการวิเคราะห์เพื่อให้ได้ผลเฉลยที่ถูกต้อง

สำหรับข้อต่อระนาบ  $E$  ที่มีตัวกลางภายในชนิดเอกพันธ์ เมื่อแทนสมการ (2.27)-(2.32) ลงในสมการ (2.25) และ (2.26) แล้วจัดรูปสมการจะได้สมการคลื่นในรูปสมการสเกลาร์ของเฮล์มโฮลทซ์ในรูปสนามแม่เหล็ก  $H_x$  ดังนี้

$$\left( \frac{\partial^2}{\partial y^2} + \frac{\partial^2}{\partial z^2} \right) H_x(y, z) + k_t^2 H_x(y, z) = 0 \quad (2.33)$$

โดยมีเงื่อนไขสนามบนผนังตัวนำไฟฟ้าสมบูรณ์แบบเป็น

$$\frac{\partial H_x(y, z)}{\partial n} = 0 \quad (2.34)$$

โดยที่  $k_t^2 = k_0^2 - \left( \frac{\pi}{a} \right)^2$

$k_0$  คือเลขคลื่นในอวกาศว่างซึ่งมีค่าเท่ากับ  $\omega \sqrt{\epsilon_0 \mu_0}$

$\frac{\partial}{\partial n}$  คือตัวดำเนินการอนุพันธ์เทียบกับแนวตั้งฉากที่ชี้ออกจากบริเวณปิดล้อมของข้อต่อ

### 2.3.2 ข้อต่อระนาบ H

เนื่องจากโครงสร้างของข้อต่อระนาบ H ประกอบด้วยระนาบตัวนำคู่ขนานในแนวระนาบสนามแม่เหล็กของโหมด  $TE_{10}$  (ระนาบ  $xz$ ) ดังนั้นสนามไฟฟ้าแนวสัมผัสผนังระนาบตัวนำคู่ขนานจะอยู่ในรูปของคลื่นนิ่งดังนี้

$$E_x = \sin\left(\frac{n\pi y}{b}\right) E_y(x, z) \quad (2.35)$$

$$E_z = \sin\left(\frac{n\pi y}{b}\right) E_z(x, z) \quad (2.36)$$

และส่วนประกอบของสนามอีกสี่ตัวจะต้องสอดคล้องกับสมการ (2.25) และ (2.26) ดังนี้

$$E_y = \cos\left(\frac{n\pi y}{b}\right) E_y(x, z) \quad (2.37)$$

$$H_x = \sin\left(\frac{n\pi y}{b}\right) H_x(x, z) \quad (2.38)$$

$$H_y = \cos\left(\frac{n\pi y}{b}\right) H_y(x, z) \quad (2.39)$$

$$H_z = \cos\left(\frac{n\pi y}{b}\right) H_z(x, z) \quad (2.40)$$

จากสมการ (2.35)-(2.40) พบว่าสนามแม่เหล็กไฟฟ้าแต่ละส่วนประกอบมีฟังก์ชันไม่ทราบค่าขึ้นกับตำแหน่ง  $x, z$  เท่านั้น จากงานวิจัยของ V.N. Kanellopoulos and J.P. Webb (1990) พบว่า การวิเคราะห์ข้อต่อระนาบ H ที่มีตัวกลางภายในชนิดเอกพันธ์และชนิดไม่เอกพันธ์ จะใช้สนามไฟฟ้า  $E_y$  เพียงส่วนประกอบเดียวก็เพียงพอในการวิเคราะห์ข้อต่อระนาบ H ทั้งนี้เนื่องจากสนามที่ป้อนในโหมดพื้นฐาน  $TE_{10}$  มีสนามไฟฟ้าในส่วนประกอบ  $E_y$  เท่านั้น ประกอบกับโครงสร้างที่สมมาตรในแนว  $y$  ทำให้สนามไฟฟ้าที่เกิดขึ้นภายในข้อต่อระนาบ H จะมีเพียงสนามส่วนประกอบ  $E_y$  เท่านั้น หรือมีเฉพาะสนามในโหมด  $TE_{m0}$  เท่านั้น โดยส่วนประกอบอื่น ๆ ของสนามแม่เหล็กไฟฟ้าจะหาได้จากสนามส่วนประกอบ  $E_y$  เพียงส่วนประกอบเดียว

เมื่อแทนสมการ (2.35)-(2.40) ลงในสมการ (2.25) และ (2.26) แล้วจัดรูปสมการจะได้สมการคลื่นในรูปสมการสเกลาร์ของเฮล์มโฮลทซ์ในรูปสนามไฟฟ้า  $E_y$  ดังนี้

$$\left( \frac{\partial^2}{\partial x^2} + \frac{\partial^2}{\partial z^2} \right) E_y(x, z) + k_t^2 E_y(x, z) = 0 \quad (2.41)$$

โดยมีเงื่อนไขสนามบนผนังตัวนำไฟฟ้าสมบูรณ์แบบเป็น

$$E_y(x, z) = 0 \quad (2.42)$$

โดยที่  $k_t^2 = k_0^2 \mu_r \epsilon_r$

## 2.4 วิธีไฟไนต์อีลีเมนต์

### 2.4.1 ข้อต่อระนาบ E

กำหนดให้บริเวณ  $\Omega$  เป็นบริเวณของข้อต่อตามแนวระนาบสนามไฟฟ้าของโหมดพื้นฐาน  $TE_{10}$  สำหรับข้อต่อระนาบ E อีกทั้งกำหนดให้ผิวปิดล้อมบริเวณข้อต่อที่ประกอบด้วย  $\Gamma_0$  เป็นผนังตัวนำไฟฟ้าสมบูรณ์แบบและ  $\Gamma^{(k)}$  เป็นระนาบอ้างอิงที่พอร์ต  $k$  ของท่อนำคลื่นสี่เหลี่ยมจำนวน  $p$  พอร์ต  $k = 1, 2, \dots, p$  ซึ่งมีขนาดความกว้าง  $a^{(k)}$  และความสูง  $b^{(k)}$  ดังรูป 2.3 (ก) และกำหนดให้มีการป้อนสนามในโหมดพื้นฐาน  $TE_{10}$  ที่พอร์ตที่หนึ่งของข้อต่อและแมตโพลด์ในพอร์ตที่เหลือ

การวิเคราะห์ข้อต่อระนาบ E ด้วยวิธีไฟไนต์อีลีเมนต์นั้นจะเริ่มจากการแบ่งบริเวณ  $\Omega$  ออกเป็นอีลีเมนต์รูปสามเหลี่ยมจำนวน  $N$  อีลีเมนต์ที่ประกอบด้วยโนดบนจุดยอดของสามเหลี่ยมทั้งหมดจำนวน  $N_n$  โนด และโนดบนพอร์ต  $k$  จำนวน  $N_p^{(k)}$  โนด ดังรูปที่ 2.3 (ข) สนามแม่เหล็ก  $H_x$  ภายในอีลีเมนต์จะถูกประมาณด้วยผลบวกของผลคูณระหว่างฟังก์ชันรูปร่างแบบใช้โนดกับพารามิเตอร์ไม่ทราบค่าที่เป็นค่าของสนามแม่เหล็กที่โนดบนจุดยอดของสามเหลี่ยมดังรูปที่ 2.4 เมื่อเขียนในรูปเมทริกซ์จะได้ดังนี้

$$H_x^e(y, z) \approx \{N^e\}^T \{H_x^e\} = \sum_{i=1}^3 N_i^e H_{xi}^e \quad i = 1, 2, 3 \quad (2.43)$$

โดยที่  $\{N^e\}^T = \{N_1^e \quad N_2^e \quad N_3^e\}$  คือเวกเตอร์ขนาด  $1 \times 3$  ที่มีสมาชิกเป็นฟังก์ชันรูปร่างแบบใช้โนดของอีลีเมนต์สามเหลี่ยม

$H_x^e$  คือความเข้มสนามแม่เหล็กภายในอีลีเมนต์  $e$

$\{H_x^e\} = \begin{Bmatrix} H_{x1}^e \\ H_{x2}^e \\ H_{x3}^e \end{Bmatrix}$  คือเวกเตอร์ขนาด  $3 \times 1$  ที่มีสมาชิกเป็นส่วนประกอบ  $H_x$  ณ จุดยอดของ

อีลีเมนต์สามเหลี่ยม

$T$  คือ เครื่องหมายทราสโพสของเมทริกซ์

ฟังก์ชันรูปร่าง  $N_i^e$  ( $i = 1, 2, 3$ ) เป็นฟังก์ชันระนาบดังแสดงในรูปที่ 2.4 ความสัมพันธ์ของ  $N_i^e$  หาได้ดังนี้

$$N_i^e = \frac{a_i + b_i y + c_i z}{2A_e}$$

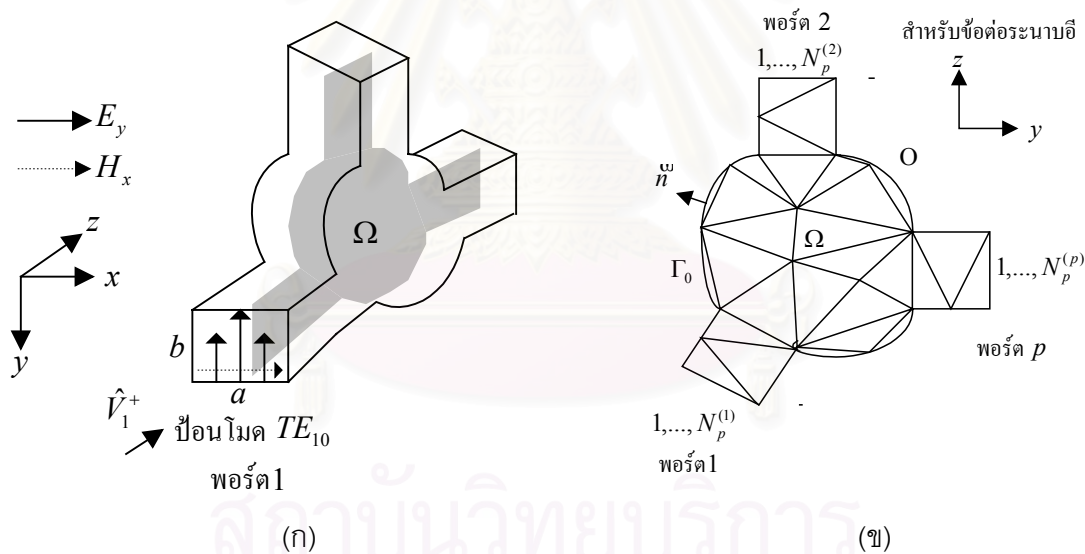
$$a_i = y_j z_k - y_k z_j$$

$$b_i = z_j - z_k$$

$$c_i = y_k - y_j$$

ในที่นี้  $(y_i, z_i)$  สำหรับ  $(i = 1, 2, 3)$  คือตำแหน่ง  $y, z$  ของจุดโนดหมายเลข  $i$

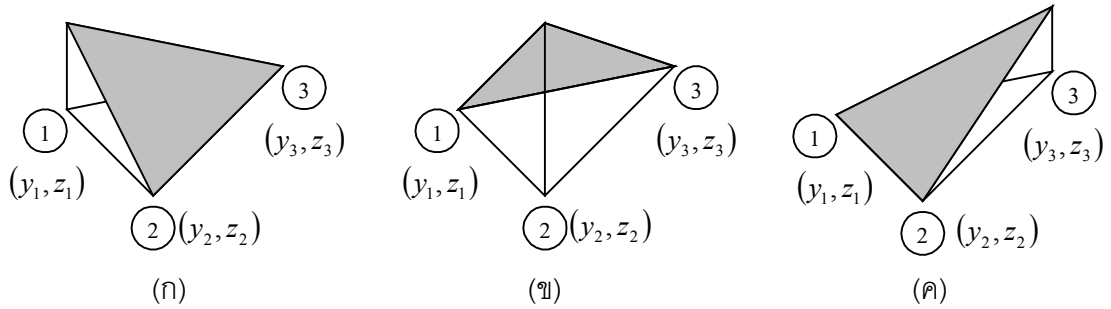
$(i, j, k)$  คือ การเรียงลำดับ  $(1, 2, 3)$  ในลักษณะมอดุโล 3



รูปที่ 2.3 การแบ่งอีลีเมนต์ในการวิเคราะห์ข้อต่อรูปร่างใด ๆ แบบสองมิติระนาบ E

(ก) ข้อต่อระนาบ E (ข) การแบ่งอีลีเมนต์





รูปที่ 2.4 อีลีเมนต์สามเหลี่ยม และฟังก์ชันรูปร่างแบบใช้โนด (ก)  $N_1^e$  (ข)  $N_2^e$  (ค)  $N_3^e$

เมื่อแทนฟังก์ชัน  $H_x^e$  ตามสมการ (2.43) ลงในสมการ (2.33) จะได้ว่า

$$\left( \frac{\partial^2}{\partial y^2} + \frac{\partial^2}{\partial z^2} \right) \{N^e\}^T \{H_x^e\} + k_t^2 \{N^e\}^T \{H_x^e\} = 0 \quad (2.44)$$

ตามหลักการของวิธีถ่วงน้ำหนักเศษตกค้าง (weighted residual method) แบบกาลอเคิน (Galerkin) สมการ (2.44) จะถูกคูณด้วยฟังก์ชันถ่วงน้ำหนักที่เป็นฟังก์ชันเดียวกับฟังก์ชันรูปร่าง แล้วอินทิเกรตผลคูณบนบริเวณอีลีเมนต์ ใช้วิธีอินทิเกรตทีละส่วน (by parts) และทฤษฎีบทไดเวอร์เจนซ์ (divergence theorem) และรวมผลของอีลีเมนต์ทุกตัวเข้าด้วยกันจะได้ชุดสมการจำนวน  $N_n$  สมการ และใช้เงื่อนไขสนามแม่เหล็กไฟฟ้าบนผนังตัวนำไฟฟ้าสมบูรณ์แบบตามสมการ (2.34) ในสมการ (2.44) จะได้ชุดสมการดังนี้

$$[A]\{H_x\} = \{B\} \quad (2.45)$$

โดยที่  $\{H_x\}$  คือเวกเตอร์ขนาด  $N_n \times 1$  ที่มีสมาชิกเป็นส่วนประกอบ  $H_x$  ณ จุดยอดของอีลีเมนต์สามเหลี่ยม

$[A]$  คือเมทริกซ์ขนาด  $N_n \times N_n$  ที่มีค่าดังนี้

$$[A] = \sum_{e=1}^N \int \left( \frac{\partial \{N^e\}}{\partial y} \frac{\partial \{N^e\}^T}{\partial y} + \frac{\partial \{N^e\}}{\partial z} \frac{\partial \{N^e\}^T}{\partial z} - k_t^2 \{N^e\} \{N^e\}^T \right) d\Omega^e$$

$\{B\}$  คือเวกเตอร์ขนาด  $N_n \times 1$  ที่มีค่าดังนี้

$$\{B\} = \sum_{e=1}^N \int_{\Gamma^{(k)}} \{N^e\} \frac{\partial H_x}{\partial n} d\Gamma^{(k)}$$

$\int_{\Gamma^{(k)}} d\Gamma^{(k)}$  คืออินทิเกรตเชิงเส้นบนพอร์ต  $k$

### 2.4.1 ข้อต่อระนาบ H

กำหนดให้บริเวณ  $\Omega$  เป็นบริเวณของข้อต่อตามแนวระนาบสนามแม่เหล็กของโหมดพื้นฐาน  $TE_{10}$  สำหรับข้อต่อระนาบ H อีกทั้งกำหนดให้ผิวปิดล้อมบริเวณข้อต่อที่ประกอบด้วย  $\Gamma_0$  เป็นผนังตัวนำไฟฟ้าสมบูรณ์แบบ  $\Gamma^{(k)}$  เป็นระนาบอ้างอิงที่พอร์ต  $k$  ของท่อนำคลื่นสี่เหลี่ยมจำนวน  $p$  พอร์ต  $k=1,2,\dots,p$  ซึ่งมีขนาดความกว้าง  $a^{(k)}$  และความสูง  $b^{(k)}$  ดังรูปที่ 2.5 (ก) และกำหนดให้มีการบ่อนสนามในโหมดพื้นฐาน  $TE_{10}$  ที่พอร์ตที่หนึ่งของข้อต่อและแมตเทิลดในพอร์ตที่เหลือ

การวิเคราะห์ข้อต่อระนาบ H ด้วยวิธีไฟไนต์อีลีเมนต์นั้นจะเริ่มจากการแบ่งบริเวณ  $\Omega$  ออกเป็นอีลีเมนต์รูปสามเหลี่ยมจำนวน  $N$  อีลีเมนต์ที่ประกอบด้วยโนดบนจุดยอดของสามเหลี่ยมทั้งหมดจำนวน  $N_n$  โนด และที่โนดบนพอร์ต  $k$  จำนวน  $N_p^{(k)}$  โนด ดังรูปที่ 2.5 (ข) ฟังก์ชันสนามไฟฟ้า  $E_y$  ภายในอีลีเมนต์ถูกประมาณด้วยผลบวกของผลคูณระหว่างฟังก์ชันรูปร่างแบบใช้โนด กับพารามิเตอร์ไม่ทราบค่า ที่เป็นค่าของสนามไฟฟ้าที่โนดบนจุดยอดของสามเหลี่ยม ซึ่งเขียนในรูปเมทริกซ์ได้ดังนี้

$$E_y^e(x, z) \approx \{N^e\}^T \{E_y^e\} = \sum_{i=1}^3 N_i^e E_{yi}^e \quad i = 1, 2, 3 \quad (2.46)$$

โดยที่  $\{N^e\}^T = \{N_1^e \quad N_2^e \quad N_3^e\}$  คือเวกเตอร์ขนาด  $1 \times 3$  ที่มีสมาชิกเป็นฟังก์ชันรูปร่างแบบใช้โนดของอีลีเมนต์สามเหลี่ยม

$E_y^e$  คือความเข้มสนามไฟฟ้าภายในอีลีเมนต์  $e$

$$\{E_y^e\} = \begin{Bmatrix} E_{y1}^e \\ E_{y2}^e \\ E_{y3}^e \end{Bmatrix} \text{ เวกเตอร์ขนาด } 3 \times 1 \text{ ที่มีสมาชิกเป็นส่วนประกอบ } E_{yi}^e \text{ ณจุดยอดของ}$$

อีลีเมนต์สามเหลี่ยม

$T$  คือ เครื่องหมายทรานสโพสของเมทริกซ์

ฟังก์ชันรูปร่าง  $N_i^e$  ( $i = 1, 2, 3$ ) เป็นฟังก์ชันระนาบดังแสดงในรูปที่ 2.4 ความสัมพันธ์ของ  $N_i^e$  หาได้ดังนี้

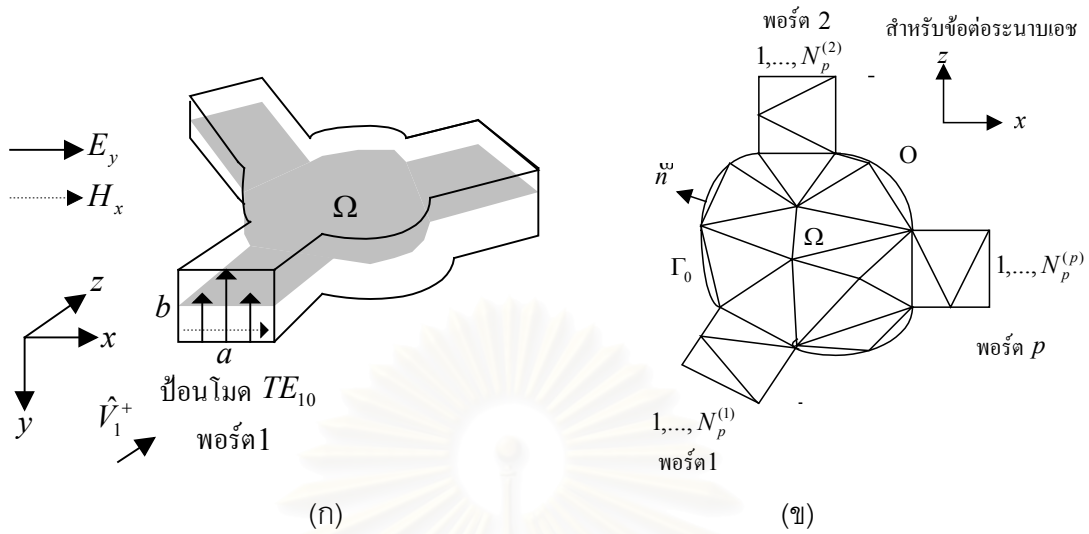
$$N_i^e = \frac{a_i + b_i x + c_i z}{2A_e}$$

$$a_i = x_j z_k - x_k z_j$$

$$b_i = z_j - z_k$$

$$c_i = x_k - x_j$$

$(i, j, k)$  เรียงลำดับในลักษณะมอดุโล 3



รูปที่ 2.5 การแบ่งอีลีเมนต์ในการวิเคราะห์ข้อต่อรูปร่างใด ๆ แบบสองมิติระนาบ H

(ก) ข้อต่อระนาบ H (ข) การแบ่งอีลีเมนต์

เมื่อแทนฟังก์ชัน  $E_y^e$  ตามสมการ (2.46) ในสมการ (2.41) จะได้ว่า

$$\left( \frac{\partial^2}{\partial x^2} + \frac{\partial^2}{\partial z^2} \right) \{N^e\}^T \{E_y^e\} + k_t^2 \{N^e\}^T \{E_y^e\} = 0 \quad (2.47)$$

ตามหลักการของวิธีถ่วงน้ำหนักเศษตค่าง แบบของกาเลอคิน สมการ (2.31) จะถูกคูณด้วยฟังก์ชันถ่วงน้ำหนักที่เป็นฟังก์ชันเดียวกับฟังก์ชันรูปร่าง และอินทิเกรตผลคูณบนบริเวณอีลีเมนต์ ใช้วิธีอินทิเกรตทีละส่วน และทฤษฎีบทไดเวอร์เจนซ์ และรวมผลของอีลีเมนต์ทุกตัวเข้าด้วยกันจะได้ชุดสมการจำนวน  $N_n$  สมการ และใช้เงื่อนไขสนามแม่เหล็กไฟฟ้าบนผนังตัวนำไฟฟ้าสมบูรณ์แบบตามสมการ (2.42) ในสมการ (2.47) จะได้ชุดสมการดังนี้

$$[A]\{E_y\} = \{B\} \quad (2.48)$$

โดยที่  $\{E_y\}$  คือเวกเตอร์ขนาด  $N_n \times 1$  ที่มีสมาชิกเป็นส่วนประกอบ  $E_y$  ณ จุดยอดของอีลีเมนต์สามเหลี่ยม

$[A]$  คือเมทริกซ์ขนาด  $N_n \times N_n$  ที่มีค่าดังนี้

$$[A] = \sum_{e=1}^N \int \left( \frac{\partial \{N^e\}}{\partial x} \frac{\partial \{N^e\}^T}{\partial x} + \frac{\partial \{N^e\}}{\partial z} \frac{\partial \{N^e\}^T}{\partial z} - k_t^2 \{N^e\} \{N^e\}^T \right) d\Omega^e$$

$\{B\}$  คือเวกเตอร์ขนาด  $N_n \times 1$  ที่มีค่าดังนี้

$$\{B\} = \sum_{e=1}^N \int_{\Gamma^{(k)}} \{N^e\} \frac{\partial H_x}{\partial n} d\Gamma^{(k)}$$

$\int_{\Gamma^{(k)}} d\Gamma^{(k)}$  คืออินทิเกรตเชิงเส้นบนพอร์ต  $k$

การแก้ปัญหาข้อต่อด้วยวิธีไฟไนต์อีลีเมนต์ตามสมการ (2.45) และ(2.48) นั้นเราจะต้องทราบเงื่อนไขสำหรับอนุพันธ์ของสนามบนพอร์ตต่าง ๆ ของข้อต่อที่เชื่อมต่อกับท่อนำคลื่นยาวอนันต์ โดยถือเสมือนว่าข้อต่อเป็นบริเวณเปิด ดังนั้นในการแก้ปัญหาคด้วยวิธีไฟไนต์อีลีเมนต์จึงจำเป็นต้องใช้ร่วมกับวิธีอื่นซึ่งมีอยู่หลายวิธี เพื่อกำหนดเงื่อนไขอนุพันธ์ที่พอร์ตต่าง ๆ และจำกัดบริเวณปัญหาในการวิเคราะห์ ในวิทยานิพนธ์นี้ผู้วิจัยจะนำเสนอการกำหนดเงื่อนไขดังกล่าวด้วยวิธีโมดแมตซิง และวิธีบาวนด์ารีมาร์ชซิง รวมถึงการเปรียบเทียบเวลาที่ใช้ในการคำนวณของทั้งสองวิธี ซึ่งจะกล่าวในหัวข้อถัดไป

## 2.5 การกำหนดเงื่อนไขที่พอร์ตด้วยวิธีโมดแมตซิง

หัวข้อนี้จะกล่าวถึงการจำกัดบริเวณด้วยการกำหนดเงื่อนไขที่พอร์ต โดยแทนสนามที่พอร์ตต่าง ๆ ของข้อต่อในรูปของการแผ่ขยายโมดหรือผลบวกของสนามในโมดต่างๆ ที่เรียกว่าวิธีโมดแมตซิง ในที่นี้จะพิจารณาข้อต่อที่มีพอร์ตเพียงสองพอร์ต มีแนวแกนของท่อนำคลื่นที่มาต่อกับข้อต่อในแนว  $z$  และมีการบ่อนคลื่นในโมดพื้นฐาน  $TE_{10}$  ที่พอร์ตที่หนึ่งและแมตโหลดที่พอร์ตที่สอง

### 2.5.1 ข้อต่อระนาบ E

เราจะแทนสนามที่พอร์ตต่าง ๆ ของข้อต่อในรูปการแผ่ขยายโมดโดยสมมุติให้สนามที่กระเจิงออกจากข้อต่ออยู่ในรูปผลบวกของสนามจำนวน  $M$  โมด ดังนี้

ที่พอร์ตที่หนึ่ง (พอร์ตที่มีการบ่อนคลื่น)

$$H_x^{(1)} = \hat{h}_0^{(1)} e^{-j\beta_0^{(1)}z} - \sum_{m=0}^{M-1} R_m \hat{h}_m^{(1)} e^{j\beta_m^{(1)}z} \quad (2.49)$$

ที่พอร์ตที่สอง (พอร์ตที่มีการแมตโหลด)

$$H_x^{(2)} = \sum_{m=0}^{M-1} T_m \hat{h}_m^{(2)} e^{-j\beta_m^{(2)}z} \quad (2.50)$$

โดยที่  $\hat{h}_m^{(k)}$  คือแบบรูปสนามแม่เหล็กนอร์แมลไลซ์โหมด  $TE_{1m}^x$  ที่พอร์ต  $k$  ซึ่งมีค่าดังนี้

$$\hat{h}_m^{(k)} = L_m \cos\left(\frac{m\pi y}{b^{(k)}}\right)$$

$$L_m = \sqrt{\frac{2v_m k_0 z_0}{ab\beta_m k_t^2}}$$

$$v_m = \begin{cases} 1 & m = 0 \\ 2 & m \neq 0 \end{cases}$$

$\beta_m^{(k)}$  คือค่าคงตัวการแพร่กระจายในแนวการเคลื่อนที่ของคลื่นโหมด  $TE_{1m}^x$  ซึ่งมีค่าดังนี้

$$\beta_m^{(k)} = \begin{cases} \sqrt{k_0^2 - \left(\frac{\pi}{a^{(k)}}\right)^2 - \left(\frac{m\pi}{b^{(k)}}\right)^2} & \text{for } k_0 \geq \left(\frac{\pi}{a^{(k)}}\right)^2 + \left(\frac{m\pi}{b^{(k)}}\right)^2 \\ -j\sqrt{\left(\frac{\pi}{a^{(k)}}\right)^2 + \left(\frac{m\pi}{b^{(k)}}\right)^2 - k_0^2} & \text{for } k_0 < \left(\frac{\pi}{a^{(k)}}\right)^2 + \left(\frac{m\pi}{b^{(k)}}\right)^2 \end{cases}$$

เมื่อหาอนุพันธ์  $\frac{\partial}{\partial z}$  ของสมการ (2.49)-(2.50) แล้วแทนในสมการ (2.45) จะได้ว่า

$$\begin{aligned} [A]\{H_x\} &= \sum_{m=0}^{M-1} \sum_{e=1}^N j\beta_m^{(1)} \int \{N^e\} \hat{h}_m^{(1)} d\Gamma^{(1)} R_m \\ &\quad - \sum_{m=0}^{M-1} \sum_{e=1}^N j\beta_m^{(2)} \int \{N^e\} \hat{h}_m^{(2)} d\Gamma^{(2)} T_m \\ &\quad + \sum_{e=1}^N j\beta_0^{(1)} \int \{N^e\} \hat{h}_0^{(1)} d\Gamma^{(1)} \end{aligned} \quad (2.51)$$

จากชุดสมการ (2.51) พบว่ามีพารามิเตอร์ไม่ทราบค่าจำนวน  $N_n + 2M$  ตัว ประกอบด้วย  $\{H_x\}, \{R_m\}, \{T_m\}$  ในขณะที่มีสมการเพียง  $N_n$  สมการ ดังนั้นจึงต้องหาชุดสมการเพิ่มอีกจำนวน  $2M$  สมการ ซึ่งหาได้จากการคูณสมการ (2.49)-(2.50) ด้วยฟังก์ชัน  $\cos(m\pi y/b)$  โดยที่  $m = 0, 1, 2, \dots, M-1$  แล้วอินทิเกรตเชิงเส้นตามแนว  $\Gamma^{(k)}$  จะได้ว่า

ที่พอร์ตที่หนึ่ง (พอร์ตที่มีการบ่อนคลื่น)

$$R_m = -\frac{v_m}{bL_m} \int \cos\left(\frac{m\pi y}{b}\right) H_x d\Gamma^{(1)} + \delta_{m1} \quad (2.52)$$

ที่พอร์ตที่สอง (พอร์ตที่มีการแมตโหลด)

$$T_m = \frac{v_m}{bL_m} \int \cos\left(\frac{m\pi y}{b}\right) H_x d\Gamma^{(2)} \quad (2.53)$$

$$\text{โดยที่ } \delta_{m1} = \begin{cases} 0 & m \neq 1 \\ 1 & m = 1 \end{cases}$$

นอกจากนี้เราจะประมาณฟังก์ชัน  $\cos(m\pi y/b)$  ด้วยผลบวกของผลคูณของฟังก์ชันรูปร่างหนึ่งมิติ ดังรูปที่ 2.5 จำนวน  $N^{(k)}$  อีลีเมนต์ที่ประกอบด้วยโนดบนพอร์ต  $k$  จำนวน  $N_p^{(k)}$  โนดดังนี้

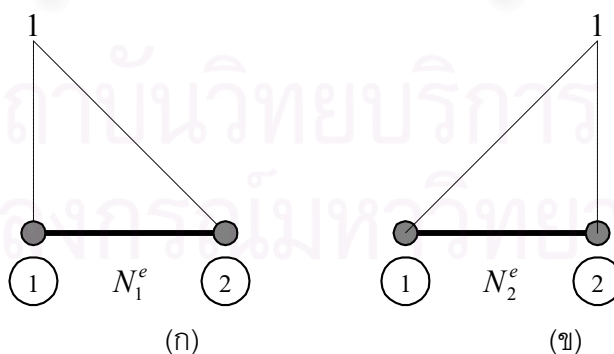
$$\cos\left(\frac{m\pi y}{b}\right) \approx \sum_{e=1}^{N^{(k)}} \{N^e\}^T \{h_m^e\} = \{N\}^T \{h_m\} \quad (2.54)$$

โดยที่  $\{N^e\}^T = \{N_1^e \quad N_2^e\}$  คือเวกเตอร์ขนาด  $1 \times 2$  ที่มีสมาชิกเป็นฟังก์ชันรูปร่างหนึ่งมิติ  $\{h_m^e\}$  คือเวกเตอร์ขนาด  $1 \times 2$  ที่มีค่าดังนี้

$$h_{mi}^e = \cos\left(\frac{m\pi y_i}{b}\right) \quad i = 1, 2$$

$\{N\}^T$  คือเวกเตอร์ขนาด  $1 \times N_p^{(k)}$

$\{h_m\}$  คือเวกเตอร์ขนาด  $N_p^{(k)} \times 1$



รูปที่ 2.6 อีลีเมนต์และฟังก์ชันรูปร่างหนึ่งมิติ (ก)  $N_1^e$  (ข)  $N_2^e$

เมื่อแทนสมการ (2.52)-(2.54) ลงในสมการ (2.51) จะได้ชุดสมการดังนี้



$$\begin{bmatrix} [A_{1,1}] + [P^{(1)}] & [A_{1,2}] & [A_{1,in}] \\ [A_{2,1}] & [A_{2,2}] + [P^{(2)}] & [A_{2,in}] \\ [A_{in,1}] & [A_{in,2}] & [A_{in,in}] \end{bmatrix} \begin{bmatrix} \{H_1\} \\ \{H_2\} \\ \{H_{in}\} \end{bmatrix} = \begin{bmatrix} \{Q^{(1)}\} \\ \{0\} \\ \{0\} \end{bmatrix} \quad (2.55)$$

โดยที่  $[P^{(k)}]$  คือเมทริกซ์ขนาด  $N_p^{(k)} \times N_p^{(k)}$  และ  $\{Q^{(1)}\}$  คือเมทริกซ์ขนาด  $N_p^{(1)} \times 1$

$$[P^{(k)}] = \sum_{m=0}^{M-1} [P_m^{(k)}]$$

$$[P_m^{(k)}] = \sum_{e=1}^{N_p^{(k)}} \frac{j\beta_m v_m}{b} \left[ \int \{N^e\} \{N^e\}^T d\Gamma^{(k)} \right] \{h_m^e\} \{h_m^e\}^T \left[ \int \{N^e\} \{N^e\}^T d\Gamma^{(k)} \right]$$

$$\{Q^{(1)}\} = \sum_{e=1}^{N_p^{(1)}} 2j\beta_0^{(1)} L_0 \left[ \int \{N^e\} \{N^e\}^T d\Gamma^{(1)} \right] \{h_0^e\}$$

เราสามารถขยายวิธีดังกล่าวไปใช้กับข้อต่อจำนวน  $p$  พอร์ตได้ตามสมการดังนี้

$$\begin{bmatrix} [A_{1,1}] + [P^{(1)}] & \Lambda & [A_{1,p}] & [A_{1,in}] \\ \mathbf{M} & \mathbf{O} & \mathbf{M} & \mathbf{M} \\ [A_{p,1}] & \Lambda & [A_{p,p}] + [P^{(p)}] & [A_{p,in}] \\ [A_{in,1}] & \Lambda & [A_{in,p}] & [A_{in,in}] \end{bmatrix} \begin{bmatrix} \{H_1\} \\ \mathbf{M} \\ \{H_p\} \\ \{H_{in}\} \end{bmatrix} = \begin{bmatrix} \{Q^{(1)}\} \\ \{0\} \\ \{0\} \\ \{0\} \end{bmatrix} \quad (2.56)$$

เมื่อแก้สมการ (2.56) แล้ว เราจะทราบสนามแม่เหล็กที่พอร์ตต่าง ๆ โดยสามารถหาสัมประสิทธิ์ที่การสะท้อนและสัมประสิทธิ์การส่งผ่านได้โดยใช้สมการ (2.52) และ (2.53) ตามลำดับ

### 2.5.2 ข้อต่อระนาบ H

เราจะแทนสนามที่พอร์ตต่าง ๆ ของข้อต่อในรูปการแผ่ขยายโหมดโดยสมมติให้สนามที่กระเจิงออกจากข้อต่ออยู่ในรูปผลบวกของสนามจำนวน  $M$  โหมด ดังนี้

ที่พอร์ตที่หนึ่ง (พอร์ตที่มีการป้อนคลื่น)

$$E_y^{(1)} = \hat{e}_1^{(1)} e^{-j\beta_1^{(1)} z} + \sum_{m=1}^M R_m \hat{e}_m^{(1)} e^{j\beta_m^{(1)} z} \quad (2.57)$$

ที่พอร์ตที่สอง (พอร์ตที่มีการامتโหลด)

$$E_y^{(2)} = \sum_{m=1}^M T_m \hat{e}_m^{(2)} e^{-j\beta_m^{(2)} z} \quad (2.58)$$

โดยที่  $\hat{e}_m^{(k)}$  คือแบบรูปสนามไฟฟ้าแอมพลิจูดโหมด  $TE_{m0}$  ที่พอร์ต  $k$  มีค่าดังนี้

$$\hat{e}_{m0}^{(k)} = L_m \sin\left(\frac{m\pi x}{a^{(k)}}\right)$$

$$L_m = \frac{2}{\sqrt{ab}} \sqrt{\frac{k_0 z_0}{\beta_{m0}^{(k)}}}$$

$z_0$  คือค่าอิมพีแดนซ์คลื่นในอวกาศว่าง

$\beta_m^{(k)}$  คือค่าคงตัวการแพร่กระจายในแนวการเคลื่อนที่ของคลื่นโหมด  $TE_{m0}$  ที่พอร์ต  $k$  ซึ่งมีค่า ดังนี้

$$\beta_m^{(k)} = \begin{cases} \sqrt{k_0^2 - \left(\frac{m\pi}{a^{(k)}}\right)^2} & \text{for } k_0 \geq \left(\frac{m\pi}{a^{(k)}}\right) \\ -j\sqrt{\left(\frac{m\pi}{a^{(k)}}\right)^2 - k_0^2} & \text{for } k_0 < \left(\frac{m\pi}{a^{(k)}}\right) \end{cases}$$

$M$  คือจำนวนโหมดที่ใช้ในการแทนสนามกระเจิงที่ออกจากข้อต่อในบริเวณที่นำคลื่น

$R_m$  คือสัมประสิทธิ์การสะท้อนของคลื่นโหมด  $m$

$T_m$  คือสัมประสิทธิ์การส่งผ่านของคลื่นโหมด  $m$

เมื่อหาอนุพันธ์  $\frac{\partial}{\partial z}$  ของสมการ (2.57)-(2.58) แล้วแทนในสมการ (2.48) จะได้ว่า

$$\begin{aligned} [A]\{E_y\} = & -\sum_{m=1}^M \sum_{e=1}^N j\beta_m^{(1)} \int \{N^e\} \hat{e}_m^{(1)} d\Gamma^{(1)} R_m \\ & - \sum_{m=1}^M \sum_{e=1}^N j\beta_m^{(2)} \int \{N^e\} \hat{e}_m^{(2)} d\Gamma^{(2)} T_m \\ & + \sum_{e=1}^N j\beta_1^{(1)} \int \{N^e\} \hat{e}_1^{(1)} d\Gamma^{(1)} \end{aligned} \quad (2.59)$$

จากชุดสมการ (2.59) พบว่ามีพารามิเตอร์ไม่ทราบค่าจำนวน  $N_n + 2M$  ตัว ประกอบด้วย  $\{E_y\}, \{R_m\}, \{T_m\}$  ในขณะที่มีสมการเพียง  $N_n$  สมการ ดังนั้นจึงต้องหาชุดสมการเพิ่มอีกจำนวน  $2M$  สมการ ซึ่งหาได้จากการคูณสมการ(2.57)-(2.58) ด้วยฟังก์ชัน  $\sin(m\pi x/a)$  โดยที่  $m = 1, 2, \dots, M$  แล้วอินทิเกรตเชิงเส้นตามแนว  $\Gamma^{(k)}$  จะได้ว่า

ที่พอร์ตที่หนึ่ง (พอร์ตที่มีการป้อนคลื่น)

$$R_m = \frac{2}{aL_m} \int \sin\left(\frac{m\pi x}{a}\right) E_y d\Gamma^{(1)} - \delta_{m1} \quad (2.60)$$

ที่พอร์ตที่สอง (พอร์ตที่มีการแมตโหลด)

$$T_m = \frac{2}{aL_m} \int \sin\left(\frac{m\pi x}{a}\right) E_y d\Gamma^{(2)} \quad (2.61)$$

$$\text{โดยที่ } \delta_{m1} = \begin{cases} 0 & m \neq 1 \\ 1 & m = 1 \end{cases}$$

นอกจากนี้เราจะประมาณฟังก์ชัน  $\sin(m\pi x/a)$  ด้วยผลบวกของผลคูณระหว่างฟังก์ชันรูปร่างหนึ่งมิติจำนวน  $N^{(k)}$  อีลิเมนต์ที่ประกอบด้วยโนดบนพอร์ต  $k$  จำนวน  $N_p^{(k)}$  โหนดดังนี้

$$\sin\left(\frac{m\pi x}{a}\right) \approx \sum_{e=1}^{N_p^{(k)}} \{N^e\}^T \{e_m^e\} = \{N\}^T \{e_m\} \quad (2.62)$$

โดยที่  $\{N^e\}^T = \{N_1^e \quad N_2^e\}$  คือเวกเตอร์ขนาด  $1 \times 2$  ที่มีสมาชิกเป็นฟังก์ชันรูปร่างหนึ่งมิติ  $\{e_m^e\}$  คือเวกเตอร์ขนาด  $1 \times 2$  ที่มีค่าดังนี้

$$e_{mi} = \sin\left(\frac{m\pi x_i}{a}\right) \quad i = 1, 2$$

$\{N\}^T$  คือเวกเตอร์ขนาด  $1 \times N_p^{(k)}$

$\{e_m\}$  คือเวกเตอร์ขนาด  $N_p^{(k)} \times 1$

เมื่อแทนสมการ (2.60)-(2.62) ลงในสมการ (2.59) จะได้ชุดสมการดังนี้

$$\begin{bmatrix} [A_{1,1}] + [P^{(1)}] & [A_{1,2}] & [A_{1,in}] \\ [A_{2,1}] & [A_{2,2}] + [P^{(2)}] & [A_{2,in}] \\ [A_{m,1}] & [A_{m,2}] & [A_{m,in}] \end{bmatrix} \begin{bmatrix} \{E_1\} \\ \{E_2\} \\ \{E_{in}\} \end{bmatrix} = \begin{bmatrix} \{Q^{(1)}\} \\ \{0\} \\ \{0\} \end{bmatrix} \quad (2.63)$$

ทั้งนี้ต้องสอดคล้องกับเงื่อนไขสนามไฟฟ้าบนผนังตัวนำสมบูรณ์แบบคือ  $\{E_y\}$  เท่ากับศูนย์

โดยที่  $[P^{(k)}]$  คือเมทริกซ์ขนาด  $N_p^{(k)} \times N_p^{(k)}$  และ  $\{Q^{(1)}\}$  คือเมทริกซ์ขนาด  $N_p^{(1)} \times 1$

$$\begin{aligned}
[P^{(k)}] &= \sum_{m=1}^M [P_m^{(k)}] \\
[P_m^{(k)}] &= \sum_{e=1}^N \frac{2j\beta_m}{a} \left[ \int \{N^e\} \{N^e\}^T d\Gamma^{(k)} \right] \{e_m^e\} \{e_m^e\}^T \left[ \int \{N^e\} \{N^e\}^T d\Gamma^{(k)} \right] \\
\{Q^{(1)}\} &= \sum_{e=1}^N 2j\beta_1 L_1 \left[ \int \{N^e\} \{N^e\}^T d\Gamma^{(1)} \right] \{e_1^e\}
\end{aligned}$$

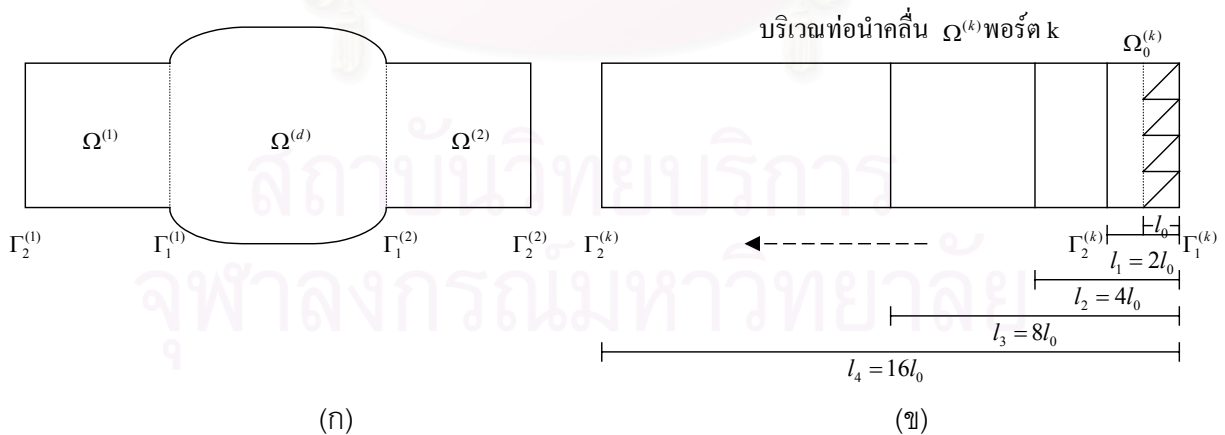
เราสามารถขยายวิธีดังกล่าวไปใช้กับข้อต่อจำนวน  $p$  พอร์ตได้ตามสมการดังนี้

$$\begin{bmatrix} [A_{1,1}] + [P^{(1)}] & \Lambda & [A_{1,p}] & [A_{1,in}] \\ M & O & M & M \\ [A_{p,1}] & \Lambda & [A_{p,p}] + [P^{(p)}] & [A_{p,in}] \\ [A_{in,1}] & \Lambda & [A_{in,p}] & [A_{in,in}] \end{bmatrix} \begin{bmatrix} \{E_1\} \\ M \\ \{E_p\} \\ \{E_{in}\} \end{bmatrix} = \begin{bmatrix} \{Q^{(1)}\} \\ \{0\} \\ \{0\} \\ \{0\} \end{bmatrix} \quad (2.64)$$

เมื่อแก้สมการ (2.64) แล้ว เราจะทราบสนามไฟฟ้าที่พอร์ตต่าง ๆ โดยสามารถหาสัมประสิทธิ์การสะท้อนและสัมประสิทธิ์การส่งผ่านได้โดยใช้สมการ (2.60) และ (2.61) ตามลำดับ

## 2.6 การกำหนดเงื่อนไขที่พอร์ตด้วยวิธีบาวนด์ารีมาร์ชชิง

การวิเคราะห์ข้อต่อด้วยวิธีไฟไนต์อีลีเมนต์ร่วมกับวิธีบาวนด์ารีมาร์ชชิงของข้อต่อระนาบ E และข้อต่อระนาบ H เริ่มจากการแบ่งบริเวณข้อต่อออกเป็นสามบริเวณ คือบริเวณท่อนำคลื่นพอร์ต  $k$   $\Omega^{(k)}$   $k=1,2$  และบริเวณไม่ต่อเนื่องของข้อต่อ  $\Omega^{(d)}$  ดังรูปที่ 2.7



รูปที่ 2.7 กระบวนการบาวนด์ารีมาร์ชชิง

(ก) บริเวณของ  $\Omega$       (ข) การเลื่อนระนาบ  $\Gamma_2^{(k)}$

### 2.6.1 กระบวนการบาวนด์คาร์มาร์ซิง

กระบวนการบาวนด์คาร์มาร์ซิง เป็นกระบวนการสร้างความสัมพันธ์ระหว่างสนามที่ระนาบใกล้เคียงต่อ  $\Gamma_1^{(k)}$  กับสนามที่ระนาบใกล้เคียงต่อ  $\Gamma_2^{(k)}$  ในบริเวณพอร์ต  $k$   $\Omega^{(k)}$  ของท่อนำคลื่น โดยมีขั้นตอนดังนี้

ขั้นที่ 1 ในบริเวณพอร์ต  $k$  ของท่อนำคลื่น เริ่มต้นกำหนดให้สนามที่ระนาบใกล้เคียงต่อ  $\Gamma_1^{(k)}$  และสนามที่ระนาบใกล้เคียงต่อ  $\Gamma_2^{(k)}$  อยู่ที่ตำแหน่งเดียวกัน เมื่อเลื่อนระนาบ  $\Gamma_2^{(k)}$  ให้ห่างออกจากระนาบ  $\Gamma_1^{(k)}$  เป็นระยะทาง  $l_1$  จะเกิดบริเวณ  $\Omega_0^{(k)}$  ที่มี  $\Gamma_1^{(k)}, \Gamma_2^{(k)}$  และผนังตัวนำไฟฟ้าสมบูรณ์แบบ  $\Gamma_0^{(k)}$  ปิดล้อมอยู่ ตามวิธีไฟไนต์อีลีเมนต์ เมื่อประมาณสนามแม่เหล็กไฟฟ้าภายใน  $\Omega_0^{(k)}$  ด้วยฟังก์ชันรูปร่างสามเหลี่ยมแบบใช้โนดจะได้ชุดสมการดังนี้

$$\begin{bmatrix} [A]_{11} & [A]_{1i} & [A]_{12} \\ [A]_{i1} & [A]_{ii} & [A]_{i2} \\ [A]_{21} & [A]_{2i} & [A]_{22} \end{bmatrix} \begin{bmatrix} \{\phi\}_1^{(k)} \\ \{\phi\}_i^{(k)} \\ \{\phi\}_2^{(k)} \end{bmatrix} = \begin{bmatrix} \sum_{e=1}^{N_p} \int \{N^e\} \frac{\partial \phi^e}{\partial n} d\Gamma_1^{(k)} \\ \{0\} \\ \sum_{e=1}^{N_p} \int \{N^e\} \frac{\partial \phi^e}{\partial n} d\Gamma_2^{(k)} \end{bmatrix} \quad (2.65)$$

โดยที่  $\{\phi\}_1^{(k)}, \{\phi\}_2^{(k)}, \{\phi\}_i^{(k)}$  คือค่าสนามแม่เหล็กไฟฟ้าที่โนดของอีลีเมนต์สามเหลี่ยมบนระนาบ  $\Gamma_1^{(k)}, \Gamma_2^{(k)}$  และที่อยู่ระหว่างระนาบ  $\Gamma_1^{(k)}$  กับ  $\Gamma_2^{(k)}$  ตามลำดับ

$$\{\phi\} = \{H_x\} \text{ สำหรับข้อต่อระนาบ E และ } \{\phi\} = \{E_y\} \text{ สำหรับข้อต่อระนาบ H}$$

$[A]_{pq}$  คือเมทริกซ์ย่อยของเมทริกซ์  $[A]$  ในบริเวณท่อนำคลื่น ตามสมการ (2.45) สำหรับข้อต่อระนาบ E และ ตามสมการ (2.48) สำหรับข้อต่อระนาบ H

เมื่อกำจัดค่าสนามแม่เหล็กไฟฟ้าที่โนดระหว่างระนาบ  $\Gamma_1^{(k)}$  กับ  $\Gamma_2^{(k)}$  จะได้เมทริกซ์ใหม่ที่หนาแน่นขึ้น (condensed element) ตามสมการดังนี้

$$\begin{bmatrix} [M_0]_{11} & [M_0]_{12} \\ [M_0]_{21} & [M_0]_{22} \end{bmatrix} \begin{bmatrix} \{\phi\}_1^{(k)} \\ \{\phi\}_2^{(k)} \end{bmatrix} = \begin{bmatrix} \sum_{e=1}^{N_p} \int \{N^e\} \frac{\partial \phi^e}{\partial n} d\Gamma_1^{(k)} \\ \sum_{e=1}^{N_p} \int \{N^e\} \frac{\partial \phi^e}{\partial n} d\Gamma_2^{(k)} \end{bmatrix} \quad (2.66)$$

$$\begin{aligned} \text{โดยที่ } [M_0]_{11} &= [A]_{11} - [A]_{1i} [A]_{ii}^{-1} [A]_{i1} \\ [M_0]_{12} &= [A]_{12} - [A]_{1i} [A]_{ii}^{-1} [A]_{i2} \\ [M_0]_{21} &= [A]_{21} - [A]_{2i} [A]_{ii}^{-1} [A]_{i1} \\ [M_0]_{22} &= [A]_{22} - [A]_{2i} [A]_{ii}^{-1} [A]_{i2} \end{aligned}$$

สมการ (2.66) ที่ได้นี้แสดงถึงความสัมพันธ์ระหว่างสนามที่ระนาบ  $\Gamma_1^{(k)}$  กับสนามที่ระนาบ  $\Gamma_2^{(k)}$  ซึ่งมีระยะห่างกัน  $l_1$

ขั้นที่ 2 เมื่อเลื่อนระนาบ  $\Gamma_2^{(k)}$  ให้ห่างออกไปอีกเป็นระยะ  $l_1$  ซึ่งทำให้ระยะห่างระหว่างระนาบ  $\Gamma_1^{(k)}$  กับ  $\Gamma_2^{(k)}$  เท่ากับ  $2l_1$  จะเกิดบริเวณเพิ่มขึ้นอีก  $\Omega_0^{(k)}$  สนามที่เกิดขึ้นภายในบริเวณที่เพิ่มขึ้นเมื่อใช้วิธีไฟไนต์อีลีเมนต์จะได้เมทริกซ์  $[M_0]$  เช่นเดียวกับสมการ (2.66) เมื่อรวมบริเวณที่เพิ่มขึ้นกับบริเวณเดิม และใช้เงื่อนไขความต่อเนื่องของสนามที่รอยต่อระหว่างบริเวณทั้งสอง จะได้ชุดสมการใหม่ดังนี้

$$\begin{bmatrix} [M_0]_{11} & [M_0]_{12} & [0] \\ [M_0]_{21} & [M_0]_{11} + [M_0]_{22} & [M_0]_{12} \\ [0] & [M_0]_{21} & [M_0]_{22} \end{bmatrix} \begin{bmatrix} \{\phi\}_1^{(k)} \\ \{\phi\}_i^{(k)} \\ \{\phi\}_2^{(k)} \end{bmatrix} = \begin{bmatrix} \sum_{e=1}^{N_p} \{N^e\} \frac{\partial \phi^e}{\partial n} d\Gamma_1^{(k)} \\ \{0\} \\ \sum_{e=1}^{N_p} \{N^e\} \frac{\partial \phi^e}{\partial n} d\Gamma_2^{(k)} \end{bmatrix} \quad (2.67)$$

เมื่อกำจัดค่าสนามแม่เหล็กไฟฟ้าที่โนตรงระหว่างระนาบ  $\Gamma_1^{(k)}$  กับระนาบ  $\Gamma_2^{(k)}$  จะได้เมทริกซ์ใหม่ที่หนาแน่นขึ้นตามสมการดังนี้

$$\begin{bmatrix} [M_1]_{11} & [M_1]_{12} \\ [M_1]_{21} & [M_1]_{22} \end{bmatrix} \begin{bmatrix} \{\phi\}_1^{(k)} \\ \{\phi\}_2^{(k)} \end{bmatrix} = \begin{bmatrix} \sum_{e=1}^{N_p} \{N^e\} \frac{\partial \phi^e}{\partial n} d\Gamma_1^{(k)} \\ \sum_{e=1}^{N_p} \{N^e\} \frac{\partial \phi^e}{\partial n} d\Gamma_2^{(k)} \end{bmatrix} \quad (2.68)$$

สมการ (2.68) ที่ได้นี้แสดงถึงความสัมพันธ์ระหว่างสนามที่ระนาบ  $\Gamma_1^{(k)}$  กับสนามที่ระนาบ  $\Gamma_2^{(k)}$  ที่มีระยะห่างกัน  $2l_1$

ขั้นที่ 3 เมื่อวนรอบซ้ำตามขั้นที่ 2 จำนวน  $n$  ครั้ง จะได้ความสัมพันธ์ระหว่างสนามที่ระนาบ  $\Gamma_1^{(k)}$  กับสนามที่ระนาบ  $\Gamma_2^{(k)}$  ที่มีระยะห่างกัน  $2^n l_1$  ดังนี้

$$\begin{bmatrix} [M_n]_{11} & [M_n]_{12} \\ [M_n]_{21} & [M_n]_{22} \end{bmatrix} \begin{bmatrix} \{\phi\}_1^{(k)} \\ \{\phi\}_2^{(k)} \end{bmatrix} = \begin{bmatrix} \sum_{e=1}^{N_p} \{N^e\} \frac{\partial \phi^e}{\partial n} d\Gamma_1^{(k)} \\ \sum_{e=1}^{N_p} \{N^e\} \frac{\partial \phi^e}{\partial n} d\Gamma_2^{(k)} \end{bmatrix} \quad (2.69)$$

โดยที่ เมทริกซ์  $[M_n]$  หาได้ในรูปของการวนซ้ำดังนี้



$$\begin{aligned}
[M_{r+1}]_{11} &= [M_r]_{11} - [M_r]_{12} [M_r]_{ii}^{-1} [M_r]_{21} \\
[M_{r+1}]_{12} &= -[M_r]_{12} [M_r]_{ii}^{-1} [M_r]_{12} \\
[M_{r+1}]_{21} &= -[M_r]_{21} [M_r]_{ii}^{-1} [M_r]_{21} \\
[M_{r+1}]_{22} &= [M_r]_{22} - [M_r]_{21} [M_r]_{ii}^{-1} [M_r]_{12} \\
[M_r]_{ii} &= [M_r]_{11} + [M_r]_{22} \\
r &= 1, 2, \dots, n-1
\end{aligned}$$

### 2.6.2 วิธีบาวนด์คาร์มาร์ชชิงในการวิเคราะห์ข้อต่อ

จากกระบวนการบาวนด์คาร์มาร์ชชิงข้างต้น จะได้ความสัมพันธ์ระหว่างสนามที่  
 ระบาย  $\Gamma_1^{(k)}$  กับสนามที่ระบาย  $\Gamma_2^{(k)}$  ที่มีระยะห่างกัน  $2''l_1$  ซึ่งมากพอที่จะแทนสนามกระเจิงที่เกิด  
 ขึ้นภายในท่อนำคลื่นที่ระบาย  $\Gamma_2^{(k)}$  ด้วยโหมดพื้นฐานเพียงโหมดเดียว เนื่องจากสนามกระเจิงในโหมด  
 อันดับสูงจะมีการลดทอนเมื่อห่างออกจากบริเวณข้อต่อจนเหลือแอมพลิจูดน้อยยิ่งที่ระบาย  $\Gamma_2^{(k)}$   
 เมื่อเทียบกับโหมดพื้นฐาน เราจึงสร้างระบบสมการภายในบริเวณท่อนำคลื่น  $\Omega^{(k)}$  ได้ดังนี้

ที่พอร์ตที่หนึ่ง (พอร์ตที่มีการบ่อนคลื่น)

$$\begin{bmatrix} [M_n]_{11} & [M_n]_{12} \\ [M_n]_{21} & [M_n]_{22} \end{bmatrix} \begin{bmatrix} \{\phi_1^{(1)}\} \\ \{\phi_2^{(1)}\} \end{bmatrix} = \begin{bmatrix} \sum_{e=1}^{N^{(1)}} \int \{N^e\} \frac{\partial \phi_1^{(1)}}{\partial z} d\Gamma_1^{(1)} \\ -[P_1^{(1)}] \{\phi_2^{(1)}\} + [Q_1^{(1)}] e^{j\beta_1 d} \end{bmatrix} \quad (2.70)$$

ที่พอร์ตที่สอง (พอร์ตที่มีการแมตโหลด)

$$\begin{bmatrix} [M_n]_{11} & [M_n]_{12} \\ [M_n]_{21} & [M_n]_{22} \end{bmatrix} \begin{bmatrix} \{\phi_1^{(2)}\} \\ \{\phi_2^{(2)}\} \end{bmatrix} = \begin{bmatrix} -\sum_{e=1}^{N^{(1)}} \int \{N^e\} \frac{\partial \phi_1^{(2)}}{\partial z} d\Gamma_1^{(2)} \\ -[P_1^{(2)}] \{\phi_2^{(2)}\} \end{bmatrix} \quad (2.71)$$

โดยที่  $d$  คือระยะห่างระหว่างระนาบใกล้เคียงข้อต่อ  $\Gamma_1^{(1)}$  กับระนาบใกล้เคียงข้อต่อ  $\Gamma_2^{(1)}$

จากสมการ (2.70) และ (2.71) เมื่อจัดพจน์ที่มีการอินทิเกรตสนามบนระนาบใกล้เคียง  
 ข้อต่อ  $\Gamma_1^{(1)}$  และ  $\Gamma_1^{(2)}$  ให้อยู่ในรูปสนามบนระนาบใกล้เคียงข้อต่อ  $\{\phi_1^{(1)}\}$  และ  $\{\phi_1^{(2)}\}$  ตามลำดับ แล้ว  
 แทนในระบบสมการของบริเวณ  $\Omega^{(d)}$  ของข้อต่อ ตามสมการ (2.45) สำหรับข้อต่อระบาย E และ  
 ตาม สมการ (2.48) สำหรับข้อต่อระบาย H จะได้ว่า

$$\begin{bmatrix} [A_{1,1}] + [\tilde{P}^{(1)}] & [A_{1,2}] & [A_{1,in}] \\ [A_{2,1}] & [A_{2,2}] + [\tilde{P}^{(2)}] & [A_{2,in}] \\ [A_{in,1}] & [A_{in,2}] & [A_{in,in}] \end{bmatrix} \begin{bmatrix} \{\phi_1\} \\ \{\phi_2\} \\ \{\phi_{in}\} \end{bmatrix} = \begin{bmatrix} -\{\tilde{Q}^{(1)}\} \\ \{0\} \\ \{0\} \end{bmatrix} \quad (2.72)$$

$$\begin{aligned} \text{โดยที่ } [\tilde{P}^{(k)}] &= [M_n]_{11} - [M_n]_{12} ([M_n]_{22} + [P_1^{(k)}])^{-1} [M_n]_{21} \quad k = 1, 2 \\ \{\tilde{Q}^{(1)}\} &= [M_n]_{12} ([M_n]_{22} + [P_1^{(1)}])^{-1} \{Q_1^{(1)}\} e^{j\beta_1 d} \end{aligned}$$

เราสามารถขยายวิธีดังกล่าวไปใช้กับข้อต่อจำนวน  $p$  พอร์ตได้ตามสมการดังนี้

$$\begin{bmatrix} [A_{1,1}] + [\tilde{P}^{(1)}] & \Lambda & [A_{1,p}] & [A_{1,in}] \\ \text{M} & \text{O} & \text{M} & \text{M} \\ [A_{p,1}] & \Lambda & [A_{p,p}] + [\tilde{P}^{(p)}] & [A_{p,in}] \\ [A_{in,1}] & \Lambda & [A_{in,p}] & [A_{in,in}] \end{bmatrix} \begin{bmatrix} \{\phi_1\} \\ \text{M} \\ \{\phi_p\} \\ \{\phi_{in}\} \end{bmatrix} = \begin{bmatrix} -\{\tilde{Q}^{(1)}\} \\ \{0\} \\ \{0\} \\ \{0\} \end{bmatrix} \quad (2.73)$$

## 2.7 ผลการคำนวณในกรณีตัวอย่าง

ในหัวข้อนี้จะกล่าวถึงผลการคำนวณในกรณีตัวอย่างต่าง ๆ ของการวิเคราะห์ปัญหาการกระเจิงคลื่นในข้อต่อแบบระนาบ E และข้อต่อแบบระนาบ H ด้วยวิธีไฟไนต์อีลีเมนต์ร่วมกับวิธีโมดแมตซิง และวิธีไฟไนต์อีลีเมนต์ร่วมกับวิธีบาวนด์ารีมาร์ชชิง เราจะวิเคราะห์เปรียบเทียบผลการคำนวณทั้งสองวิธีกับกรณีตัวอย่างต่าง ๆ ดังนี้

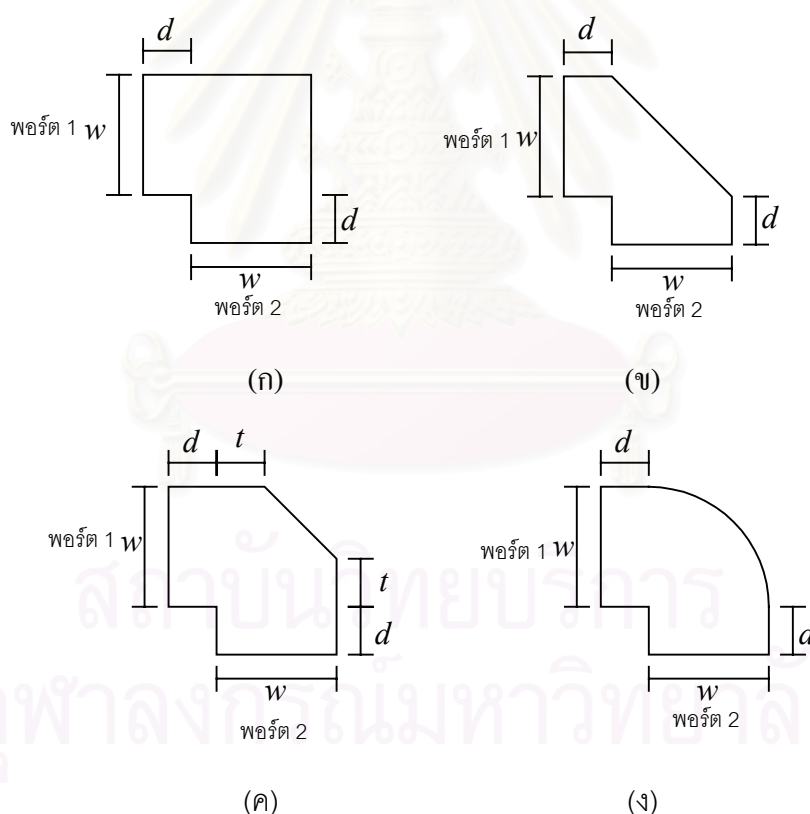
1. ข้อต่ออง  $90^\circ$  (bend junction) ที่มีรูปร่างการบากมุมแบบต่าง ๆ
2. ข้อต่ออง  $90^\circ$  ที่มีความลึกการบากมุมต่าง ๆ
3. ข้อต่อตัว T (Tee junction) ที่มีความลึกการบากมุมต่าง ๆ
4. ท่อนำคลื่นสี่เหลี่ยมที่มีเสาโลหะภายใน (post) ขนาดต่าง ๆ
5. ท่อนำคลื่นสี่เหลี่ยมที่มีแผ่นกั้นภายใน (iris) ขนาดต่าง ๆ
6. ท่อนำคลื่นสี่เหลี่ยมที่มีแถบไดอิเล็กทริกภายใน (dielectric slab) ที่มีค่าสภาพยอมต่าง ๆ

และเปรียบเทียบผลของการเพิ่มจำนวนโมดในการวิเคราะห์ข้อต่อด้วยวิธีไฟไนต์อีลีเมนต์ร่วมกับวิธีโมดแมตซิง และเปรียบเทียบผลของการเพิ่มจำนวนรอบการวนซ้ำ ในการวิเคราะห์ข้อต่อด้วยวิธีไฟไนต์อีลีเมนต์ร่วมกับวิธีบาวนด์ารีมาร์ชชิงของท่อนำคลื่นที่มีแผ่นกั้นภายใน

ผู้วิจัยได้เขียนโปรแกรมขึ้นโดยใช้ภาษาการคำนวณของโปรแกรมแมตแล็บ (MATLAB) 5.3 และประมวลผลบนเครื่องคอมพิวเตอร์ส่วนบุคคลที่ใช้หน่วยประมวลผลกลาง (CPU) เพนเทียม (Pentium III) 650 เมกะเฮิรตซ์ และหน่วยความจำ (RAM) ขนาด 128 เมกะไบต์

### 2.7.1 ข้อต่อจ 90° ที่มีรูปร่างการบากมุมแบบต่าง ๆ

พิจารณาปัญหาการกระเจิงของคลื่นแม่เหล็กไฟฟ้าภายในข้อต่อจ 90° แบบระนาบ E และแบบระนาบ H ที่เชื่อมต่อระหว่างท่อนำคลื่นสี่เหลี่ยม  $WR75$  (ย่านความถี่ใช้งาน  $10-15\text{ GHz}$ ) ซึ่งมีความกว้าง  $a = 18.35\text{ mm}$  และความสูง  $b = 9.175\text{ mm}$  และมีการป้อนคลื่นโหมดพื้นฐาน  $TE_{10}$  ที่พอร์ตที่หนึ่งของข้อต่อจ 90° ที่มีการบากมุมแบบต่าง ๆ คือแบบสี่เหลี่ยม (square bend) แบบบากเต็ม (fully mitered bend) แบบบากบางส่วน (partially mitered bend) และแบบบากโค้ง (circular bend) และกำหนดให้  $d = 2\text{ mm}$  และ  $t = 3\text{ mm}$  สำหรับข้อต่อจ 90° ที่มีการบากมุมแบบบางส่วน ดังรูปที่ 2.8

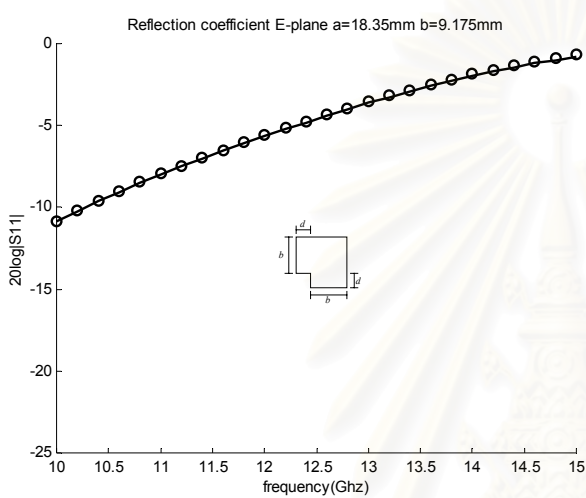


รูปที่ 2.8 ข้อต่อจ 90° ที่มีการบากมุมรูปร่างต่าง ๆ

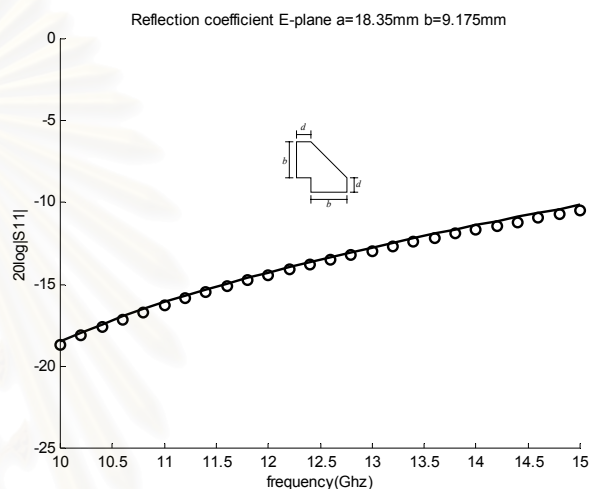
โดยที่  $w = b$  สำหรับข้อต่อแบบระนาบ E และ  $w = a$  สำหรับข้อต่อแบบระนาบ H

(ก) แบบสี่เหลี่ยม (ข) แบบบากเต็ม (ค) แบบบากบางส่วน (ง) แบบบากโค้ง

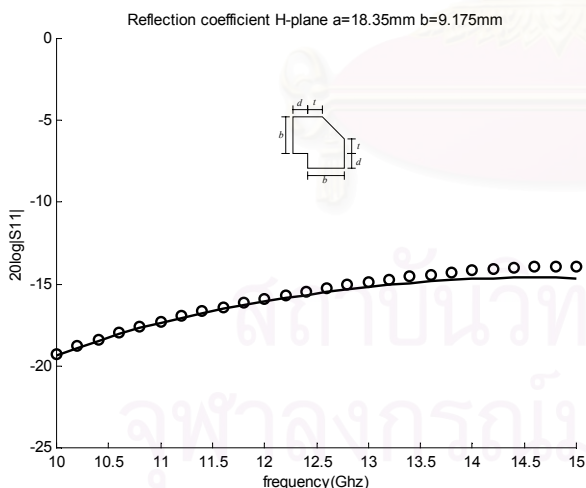
เมื่อเปรียบเทียบการวิเคราะห์ข้อต่อด้วยวิธีไฟไนต์อีลีเมนต์ร่วมกับวิธีโมดแมตซิง ที่พิจารณาจำนวนโมดของสนามกระเจิงจำนวน 5 โมด กับวิธีไฟไนต์อีลีเมนต์ร่วมกับวิธีบาวนด์ารี-มาร์ชซิง ที่ใช้จำนวนการวนรอบซ้ำของการสร้างระบบสมการในท่อนำคลื่นจำนวน 5 รอบ และมีการเลื่อนพอร์ตครั้งแรกเป็นระยะทาง  $l_1 = 1\text{mm}$  เราจะพบว่าทั้งสองวิธีให้ค่าสัมประสิทธิ์การสะท้อนและค่าสัมประสิทธิ์การส่งผ่าน ที่สอดคล้องกัน ดังรูปที่ 2.9-2.12 และวิธีไฟไนต์อีลีเมนต์ร่วมกับวิธีบาวนด์ารี-มาร์ชซิง จะใช้เวลาในการคำนวณที่เร็วกว่าวิธีไฟไนต์อีลีเมนต์ร่วมกับวิธีโมดแมตซิง ดังตารางที่ 2.1



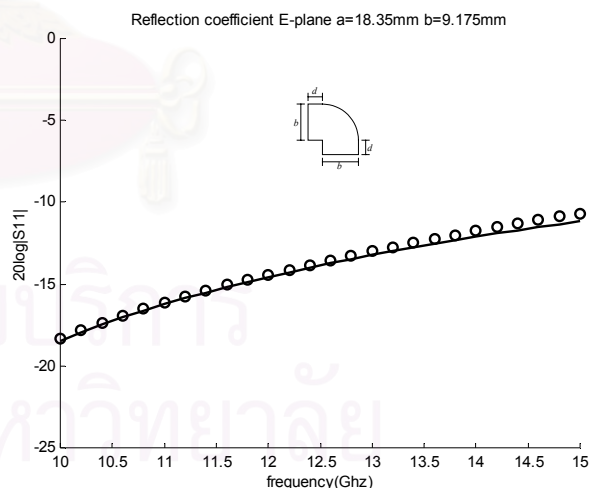
(ก)



(ข)



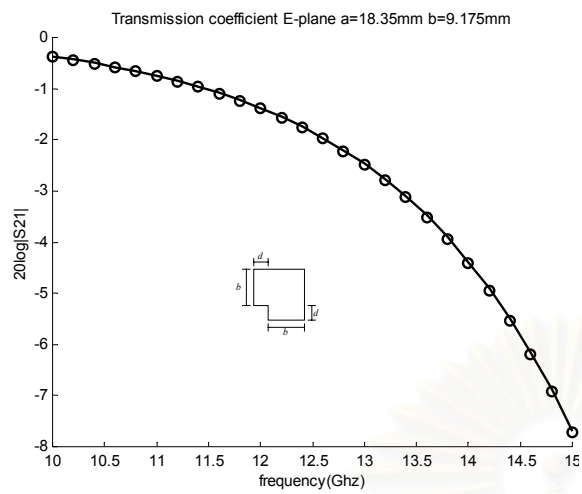
(ค)



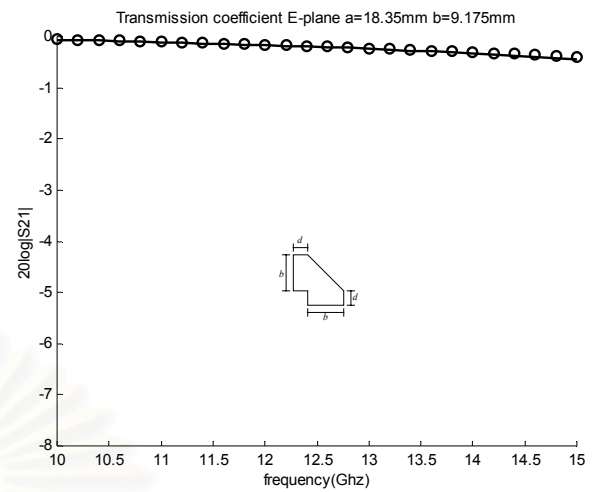
(ง)

รูปที่ 2.9 สัมประสิทธิ์การสะท้อนของข้อต่ออง 90° ระนาบ E ที่มีการบากมุมแบบต่าง ๆ  
 (- วิธีไฟไนต์อีลีเมนต์ร่วมกับวิธีโมดแมตซิง o วิธีไฟไนต์อีลีเมนต์ร่วมกับวิธีบาวนด์ารี-มาร์ชซิง)

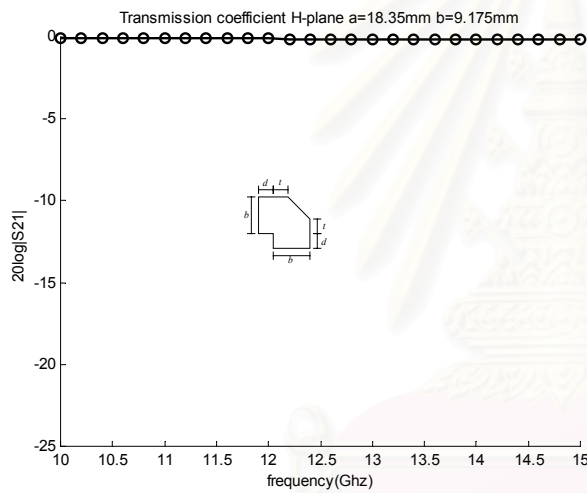
- (ก) แบบสี่เหลี่ยม                      (ข) แบบบากเต็ม
- (ค) แบบบากบางส่วน                (ง) แบบบากโค้ง



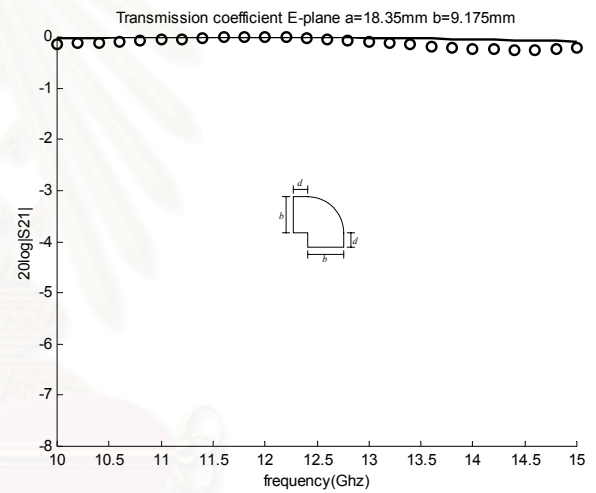
(ก)



(ข)



(ค)

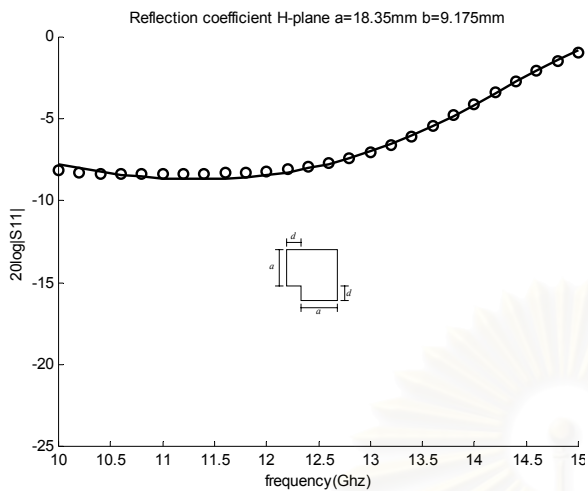


(ง)

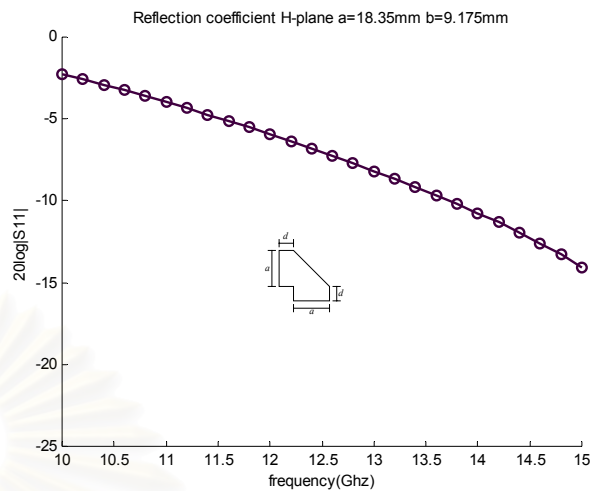
รูปที่ 2.10 สัมประสิทธิ์การส่งผ่านของข้อต่อ  $90^\circ$  ระนาบ E ที่มีการบากมุมแบบต่าง ๆ  
 (- วิธีไฟไนต์อีลีเมนต์ร่วมกับวิธีโมดแมตริง 0 วิธีไฟไนต์อีลีเมนต์ร่วมกับวิธีบาวนด์อาร์มาร์ชิ่ง)

(ก) แบบสี่เหลี่ยม (ข) แบบบากเต็ม

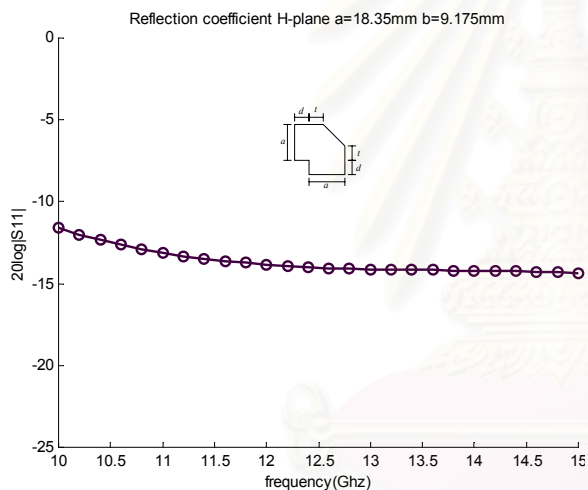
(ค) แบบบากบางส่วน (ง) แบบบากโค้ง



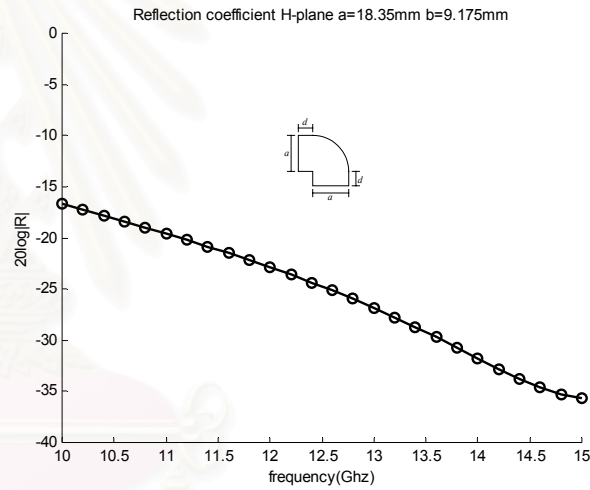
(ก)



(ข)



(ค)



(ง)

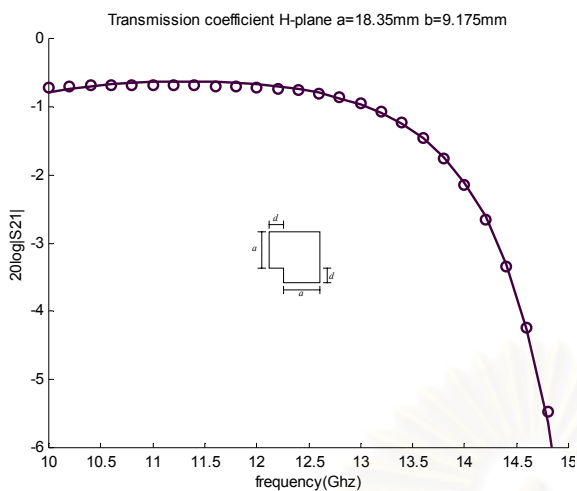
รูปที่ 2.11 สัมประสิทธิ์การสะท้อนของข้อต่ออง 90° ระนาบ H ที่มีการบากมุมแบบต่าง ๆ  
 (- วิธีไฟไนต์อีลีเมนต์ร่วมกับวิธีโมดแมตซิง o วิธีไฟไนต์อีลีเมนต์ร่วมกับวิธีบาวน์ดารีมาร์ชชิง)

(ก) แบบสี่เหลี่ยม (ข) แบบบากเต็ม

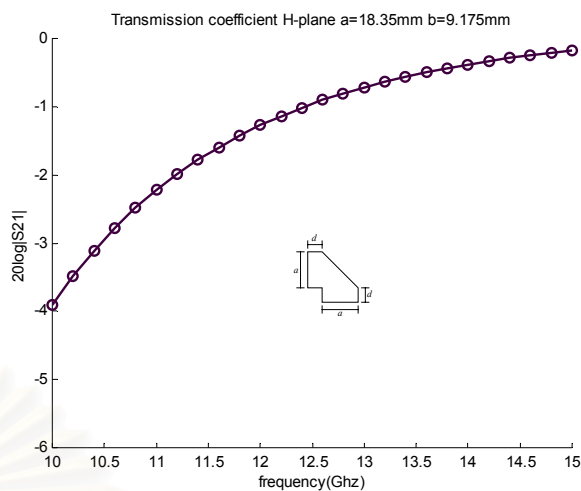
(ค) แบบบากบางส่วน (ง) แบบบากโค้ง

จุฬาลงกรณ์มหาวิทยาลัย

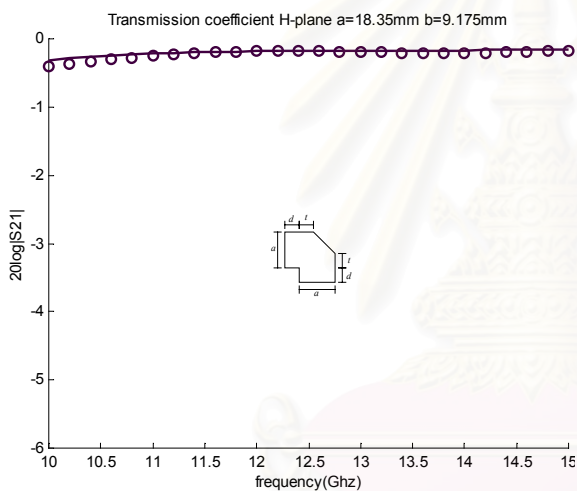




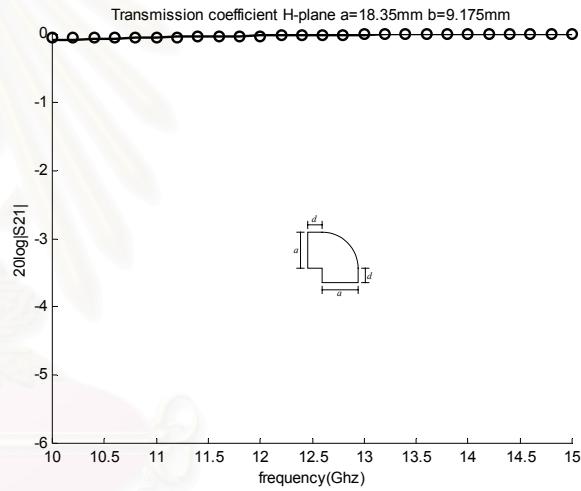
(ก)



(ข)



(ค)



(ง)

รูปที่ 2.12 สัมประสิทธิ์การส่งผ่านของข้อต่อ 90° ระนาบ H ที่มีกรวยมุมแบบต่าง ๆ  
 (- วิธีไฟไนต์อีลีเมนต์ร่วมกับวิธีโมดแมตริง 0 วิธีไฟไนต์อีลีเมนต์ร่วมกับวิธีบาวนด์อาร์มาร์ชชิง)

(ก) แบบสี่เหลี่ยม (ข) แบบบากเต็ม

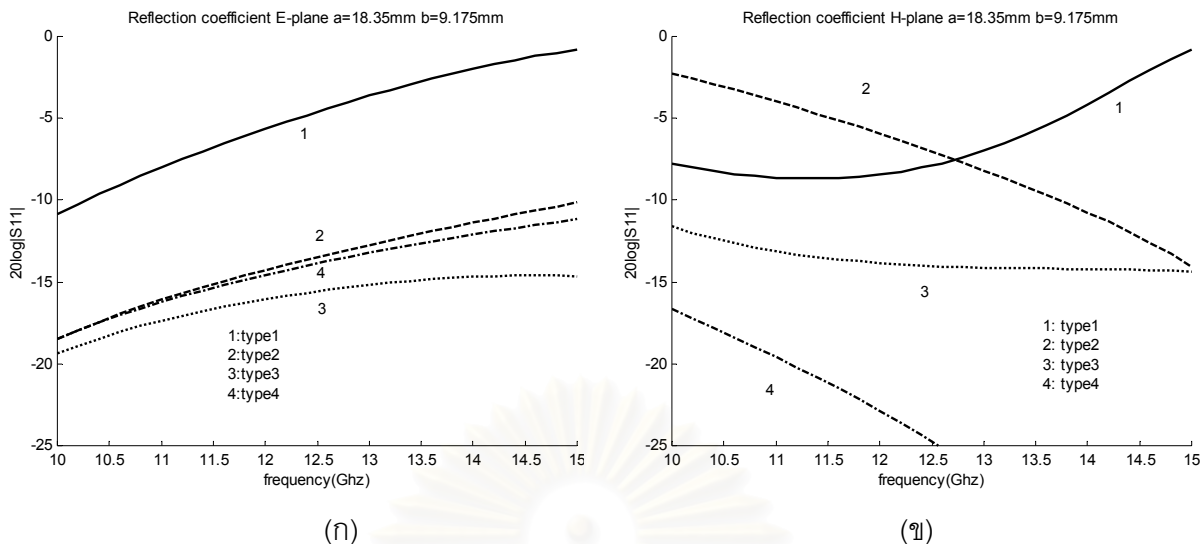
(ค) แบบบากบางส่วน (ง) แบบบากโค้ง

ตารางที่ 2.1 การเปรียบเทียบเวลาที่ใช้ในการคำนวณด้วยวิธีไฟไนต์อีลีเมนต์ร่วมกับวิธีโมดแมตซิง และวิธีไฟไนต์อีลีเมนต์ร่วมกับวิธีบาวนด์ารีมาร์ชชิงของข้อต่ออง  $90^{\circ}$  ที่มีการบากมุมแบบต่าง ๆ

ประเภท ข้อต่อ	รูปร่างการบากมุม	จำนวน โนด	จำนวน อีลีเมนต์	เวลาที่ใช้ในการคำนวณ(วินาที)	
				วิธี FE+Mode matching	วิธี FE+Boundary marching
ข้อต่ออง แบบ ระนาบ E	แบบสี่เหลี่ยม	131	218	17.0240	11.7370
	แบบบากเต็ม	99	157	6.8800	4.6970
	แบบบากบางส่วน	128	214	14.8210	9.3830
	แบบบากโค้ง	116	191	10.2450	6.8800
ข้อต่ออง แบบ ระนาบ H	แบบสี่เหลี่ยม	127	210	14.0810	4.3960
	แบบบากเต็ม	95	149	5.7990	2.8840
	แบบบากบางส่วน	113	183	8.9430	3.4750
	แบบบากโค้ง	111	181	8.4920	3.4250

เมื่อเปรียบเทียบค่าสัมประสิทธิ์การสะท้อนของข้อต่ออง  $90^{\circ}$  แบบระนาบ E และแบบระนาบ H ที่มีการบากมุมแบบต่าง ๆ เราจะพบว่าข้อต่ออง  $90^{\circ}$  แบบระนาบ E ที่มีรูปร่างการบากมุมแบบสี่เหลี่ยมให้ค่าสัมประสิทธิ์การสะท้อนมากที่สุดและรูปร่างการบากมุมแบบบางส่วนให้ค่าสัมประสิทธิ์การสะท้อนน้อยที่สุด สำหรับข้อต่ออง  $90^{\circ}$  แบบระนาบ H ในช่วงความถี่ 10-12.5 *GHz* รูปร่างการบากมุมแบบบากเต็มให้ค่าสัมประสิทธิ์การสะท้อนมากที่สุด และในช่วงความถี่ 12.5-15 *GHz* รูปร่างการบากมุมแบบสี่เหลี่ยมให้ค่าสัมประสิทธิ์การสะท้อนมากที่สุด และรูปร่างการบากมุมแบบโค้งให้ค่าสัมประสิทธิ์การสะท้อนน้อยที่สุด ดังรูปที่ 2.13

จุฬาลงกรณ์มหาวิทยาลัย



รูปที่ 2.13 สัมประสิทธิ์การสะท้อนของข้อต่ออง 90° ระนาบ H และข้อต่อระนาบ E

ที่มีการบากมุมแบบต่างๆ ด้วยวิธีไฟไนต์อีลีเมนต์ร่วมกับวิธีโมดแมตซิง

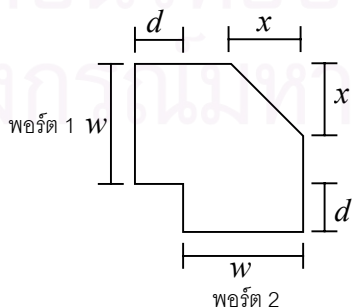
(ก) ข้อต่อระนาบ E (ข) ข้อต่อระนาบ H

(type1 คือแบบสี่เหลี่ยม type2 คือแบบบากเต็ม

type3 คือแบบบากบางส่วน type4 คือแบบบากโค้ง)

2.7.2 ข้อต่ออง 90° ที่มีความลึกการบากมุมต่าง ๆ

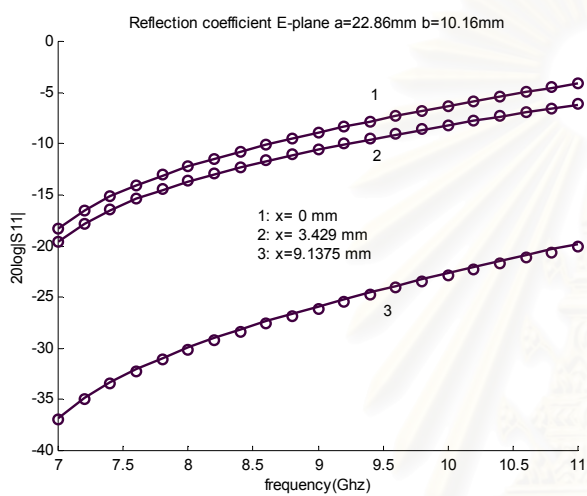
พิจารณาปัญหาการกระเจิงของคลื่นแม่เหล็กไฟฟ้าภายในข้อต่ออง 90° แบบระนาบ E และแบบระนาบ H ที่เชื่อมต่อระหว่างท่อนำคลื่นสี่เหลี่ยม WR90 (ย่านความถี่ใช้งาน 8.2 – 12.42 GHz) ซึ่งมีความกว้าง  $a = 22.86\text{mm}$  และความสูง  $b = 10.16\text{mm}$  และมีการป้อนคลื่นโมดพื้นฐาน  $TE_{10}$  ที่พอร์ตที่หนึ่งของข้อต่ออง 90° ที่มีความลึกของการบากมุม  $x = 0, 6.858, 18.275\text{mm}$  สำหรับข้อต่ออง 90° แบบระนาบ H และ  $x = 0, 3.429, 9.1375\text{mm}$  สำหรับข้อต่ออง 90° แบบระนาบ E และ  $d = 2\text{mm}$  ดังรูปที่ 2.14



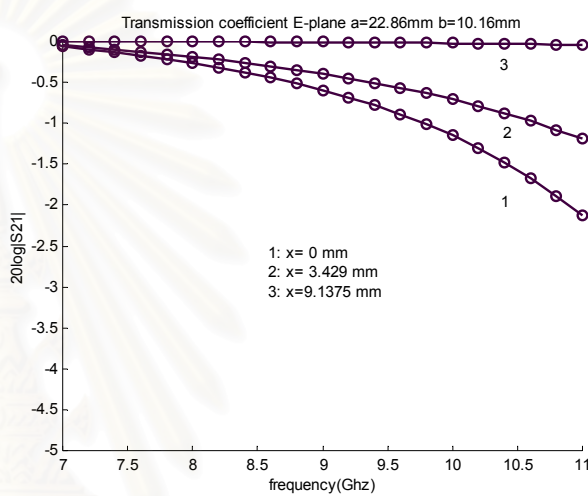
รูปที่ 2.14 ข้อต่ออง 90° ที่มีการบากมุม

โดยที่  $w = b$  สำหรับข้อต่อแบบระนาบ E และ  $w = a$  สำหรับข้อต่อแบบระนาบ H

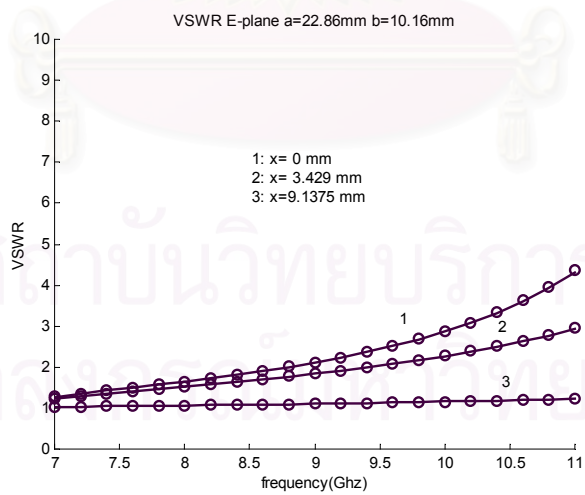
เมื่อเปรียบเทียบการวิเคราะห์ข้อต่อด้วยวิธีไฟไนต์อีลีเมนต์ร่วมกับวิธีโมดแมตซิง ที่พิจารณาจำนวนโมดของสนามกระเจิงจำนวน 5 โมด กับวิธีไฟไนต์อีลีเมนต์ร่วมกับวิธีบาวนด์ารี-มาร์ชชิง ที่ใช้จำนวนการวนรอบซ้ำของการสร้างระบบสมการในท่อนำคลื่นจำนวน 5 รอบ และมีการเลื่อนพอร์ตครั้งแรกเป็นระยะทาง  $l_1 = 1\text{mm}$  เราจะพบว่าทั้งสองวิธีให้ค่าสัมประสิทธิ์การสะท้อนและค่าสัมประสิทธิ์การส่งผ่านที่สอดคล้องกัน ดังรูปที่ 2.15-2.16 และวิธีไฟไนต์อีลีเมนต์ร่วมกับวิธีบาวนด์ารีมาร์ชชิง จะใช้เวลาในการคำนวณที่เร็วกว่าวิธีไฟไนต์อีลีเมนต์ร่วมกับวิธีโมดแมตซิง ดังตารางที่ 2.2



(ก)



(ข)

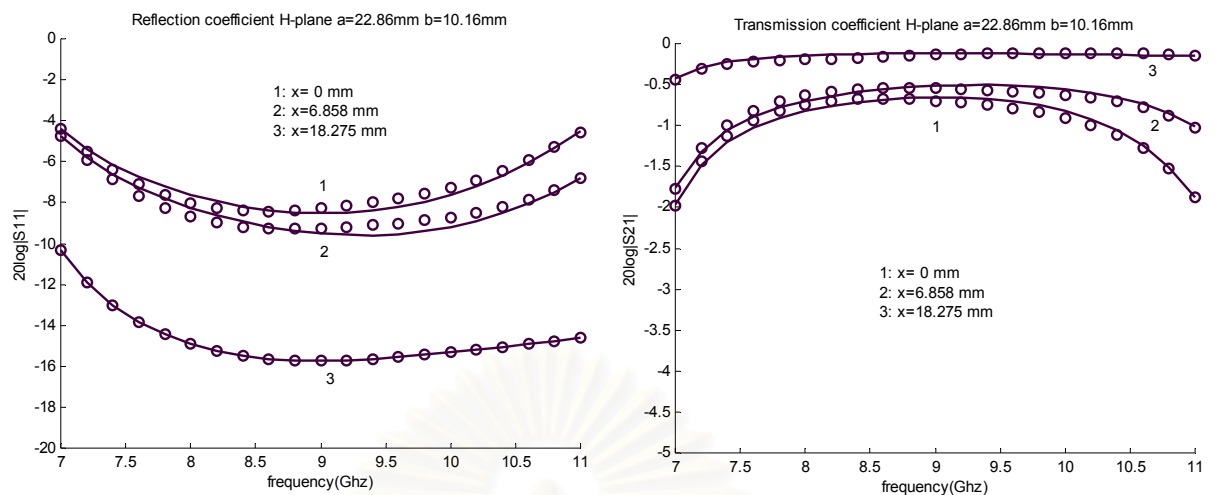


(ค)

รูปที่ 2.15 สัมประสิทธิ์การสะท้อน และการส่งผ่านและค่า VSWR ของข้อต่ออง 90° ระนาบ E ที่มีความลึกการบากมุมต่าง ๆ

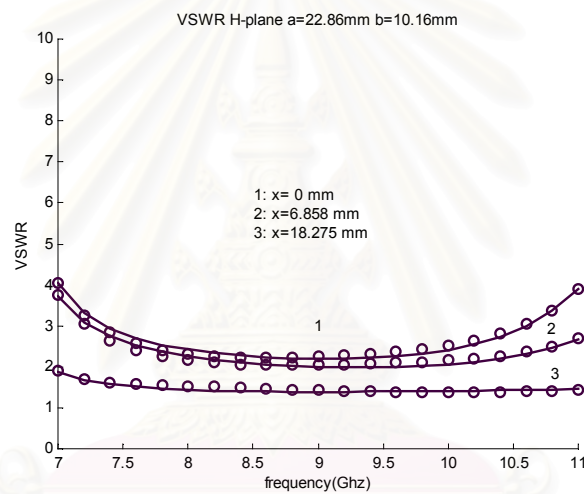
( - วิธีไฟไนต์อีลีเมนต์ร่วมกับวิธีโมดแมตซิง oวิธีไฟไนต์อีลีเมนต์ร่วมกับวิธีบาวนด์ารีมาร์ชชิง)

(ก) สัมประสิทธิ์การสะท้อน (ข) สัมประสิทธิ์การส่งผ่าน (ค) ค่า VSWR



(ก)

(ข)



(ค)

รูปที่ 2.16 สัมประสิทธิ์การสะท้อน และการส่งผ่านและค่า VSWR ของข้อต่อ  $90^\circ$  แบบระนาบ H  
ที่มีความลึกการบากมุมต่าง ๆ

( - วิธีไฟไนต์อีลีเมนต์ร่วมกับวิธีโมดแมตซิง o วิธีไฟไนต์อีลีเมนต์ร่วมกับวิธีบาวนด์ารีมาร์ชชิง)

(ก) สัมประสิทธิ์การสะท้อน (ข) สัมประสิทธิ์การส่งผ่าน (ค) ค่า VSWR

จุฬาลงกรณ์มหาวิทยาลัย

ตารางที่ 2.2 การเปรียบเทียบเวลาที่ใช้ในการคำนวณด้วยวิธีไฟไนต์อีลีเมนต์ร่วมกับวิธีโหมดแมตซิง และวิธีไฟไนต์อีลีเมนต์ร่วมกับวิธีบาวนด์ารีมาร์ชชิงของข้อต่ออง  $90^\circ$  ที่มีความลึกของการบากมุมต่าง ๆ

ประเภทข้อต่อ	ความลึกของการบากมุม (mm)	จำนวน โนด	จำนวน อีลีเมนต์	เวลาที่ใช้ในการคำนวณ(วินาที)	
				วิธี FE+Mode matching	วิธี FE+Boundary marching
ข้อต่อองแบบ ระนาบ E	$x = 0$	179	306	43.4720	22.6830
	$x = 3.429$	175	299	37.2130	21.4310
	$x = 9.1375$	115	186	8.1120	5.2970
ข้อต่อองแบบ ระนาบ H	$x = 0$	174	296	36.0720	5.5180
	$x = 6.888$	167	283	29.0120	5.0570
	$x = 18.275$	99	154	6.2480	2.5730

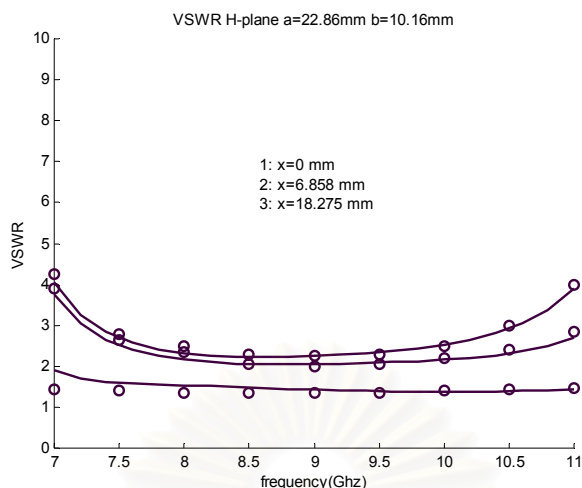
เมื่อเปรียบเทียบค่าสัมประสิทธิ์การสะท้อน และค่าสัมประสิทธิ์การส่งผ่านของข้อต่ออง  $90^\circ$  ระนาบ E และระนาบ H ที่มีความลึกของการบากมุมต่าง ๆ เราจะพบว่าข้อต่ออง  $90^\circ$  ที่มีความลึกของการบากมุมมากขึ้น จะให้ค่าสัมประสิทธิ์การสะท้อนน้อยลงตามลำดับ

เมื่อเปรียบเทียบการวิเคราะห์ข้อต่อองระนาบ H ด้วยวิธีไฟไนต์อีลีเมนต์ร่วมกับวิธีบาวนด์ารีมาร์ชชิง กับวิธีบาวนด์ารีอีลีเมนต์ เราจะพบว่าค่า VSWR มีค่าสอดคล้องกัน ดังรูปที่ 2.17 โดยที่ค่า VSWR หาได้ดังนี้

$$VSWR = \frac{1 + |R|}{1 - |R|} \quad (2.74)$$

สถาบันวิทยบริการ  
จุฬาลงกรณ์มหาวิทยาลัย





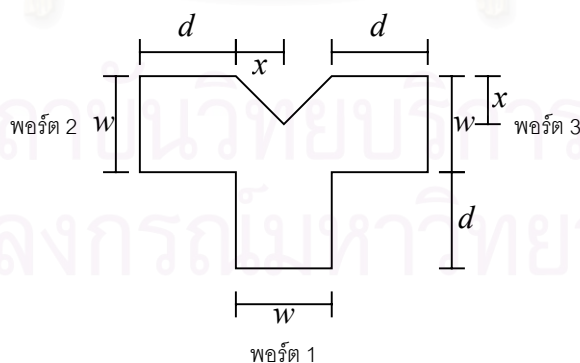
รูปที่ 2.17 ค่า VSWR ของข้อต่ออง 90° แบบระนาบ H ที่มีความลึกการบากมุมต่าง ๆ

( - วิธีไฟไนต์อีลีเมนต์ร่วมกับวิธีบาวนด์ารีมาร์ชชิง 0วิธีบาวนด์ารีอีลีเมนต์

W. Young and D.Yaogen, (1999))

### 2.7.3 ข้อต่อตัว T ที่มีความลึกการบากมุมต่างๆ

พิจารณาปัญหาการกระเจิงของคลื่นแม่เหล็กไฟฟ้าภายในข้อต่อตัว T แบบระนาบ E และแบบระนาบ H ที่เชื่อมต่อบริเวณท่อนำคลื่นสี่เหลี่ยม WR90 (ย่านความถี่ใช้งาน 8.2–12.4 GHz) ซึ่งมีความกว้าง  $a = 22.86\text{ mm}$  และความสูง  $b = 10.16\text{ mm}$  และมีการป้อนคลื่นโหมดพื้นฐาน  $TE_{10}$  ที่พอร์ตที่หนึ่งของข้อต่อตัว T ที่มีความลึกของการบากมุม  $x = 0, 4.592, 10.143\text{ mm}$  สำหรับข้อต่อตัว T แบบระนาบ H และ  $x = 0, 2.296, 5.0715\text{ mm}$  สำหรับข้อต่อตัว T แบบระนาบ E และ  $d = 2\text{ mm}$  ดังรูปที่ 2.18

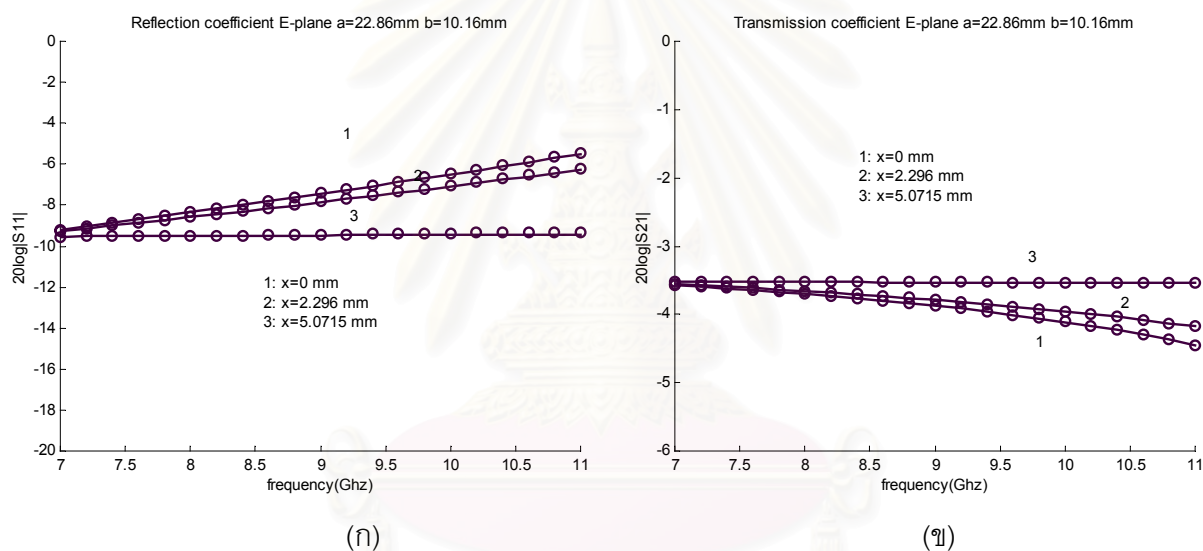


รูปที่ 2.18 ข้อต่อตัว T ที่มีการบากมุม

โดยที่  $w = b$  สำหรับข้อต่อแบบระนาบ E และ  $w = a$  สำหรับข้อต่อแบบระนาบ H

เมื่อเปรียบเทียบการวิเคราะห์ข้อต่อด้วยวิธีไฟไนต์อีลีเมนต์ร่วมกับวิธีโมดแมตซิง ที่พิจารณาจำนวนโมดของสนามกระเจิงจำนวน 5 โมด กับวิธีไฟไนต์อีลีเมนต์ร่วมกับวิธีบาวนด์คาร์-มาร์ชซิง ที่ใช้จำนวนการวนรอบซ้ำของการสร้างระบบสมการในท่อนำคลื่นจำนวน 5 รอบ และมีการเลื่อนพอร์ตครั้งแรกเป็นระยะทาง  $l_1 = 1\text{mm}$  เราจะพบว่าทั้งสองวิธีให้ค่าสัมประสิทธิ์การสะท้อนและค่าสัมประสิทธิ์การส่งผ่าน ที่สอดคล้องกัน ดังรูปที่ 2.19-2.20 และวิธีไฟไนต์อีลีเมนต์ร่วมกับวิธีบาวนด์คาร์มาร์ชซิง จะใช้เวลาในการคำนวณที่เร็วกว่าวิธีไฟไนต์อีลีเมนต์ร่วมกับวิธีโมดแมตซิง ดังตารางที่ 2.3

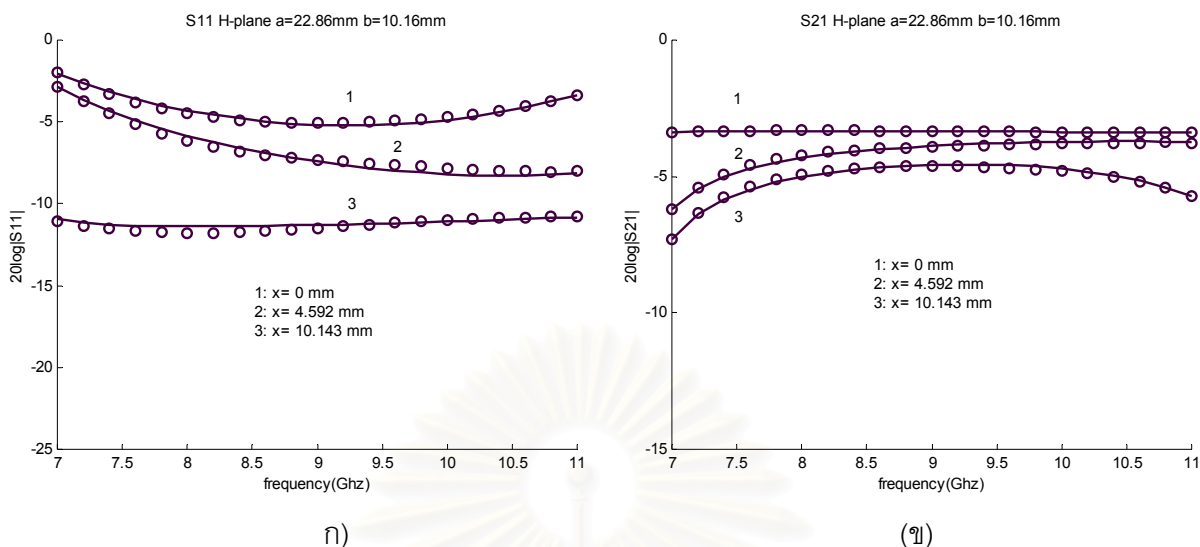
เมื่อเปรียบเทียบค่าสัมประสิทธิ์การสะท้อน และค่าสัมประสิทธิ์การส่งผ่านของข้อต่อตัว T แบบระนาบ E และแบบระนาบ H ที่มีความลึกของการบากมุมต่าง ๆ เราจะพบว่าข้อต่อตัว T ที่มีความลึกของการบากมุมมากขึ้น จะให้ค่าสัมประสิทธิ์การสะท้อนน้อยลงตามลำดับ



รูปที่ 2.19 พารามิเตอร์การกระเจิงของข้อต่อตัว T ระนาบ E ที่มีความลึกการบากมุมต่าง ๆ (- วิธีไฟไนต์อีลีเมนต์ร่วมกับวิธีโมดแมตซิง o วิธีไฟไนต์อีลีเมนต์ร่วมกับวิธีบาวนด์คาร์มาร์ชซิง)

(ก)  $S_{11}$  (ข)  $S_{21}$

จุฬาลงกรณ์มหาวิทยาลัย



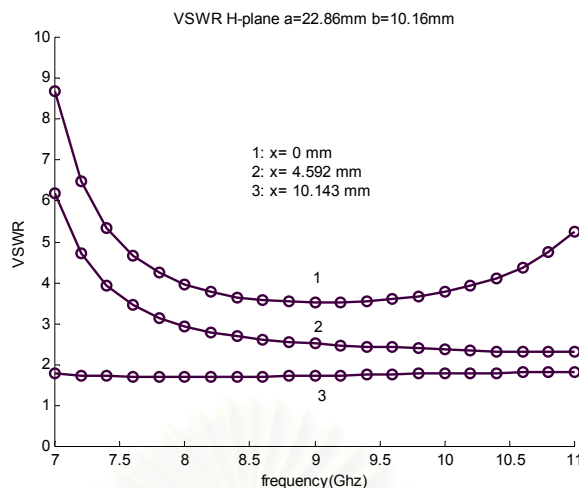
รูปที่ 2.20 พารามิเตอร์การกระเจิงของข้อต่อตัว T ระนาบ H ที่มีความลึกการบากมุมต่าง ๆ (- วิธีไฟไนต์อีลีเมนต์ร่วมกับวิธีโมดแมตซิง ๐ วิธีไฟไนต์อีลีเมนต์ร่วมกับวิธีบาวนด์ารีมาร์ชชิง)

(ก)  $S_{11}$  (ข)  $S_{21}$

ตารางที่ 2.3 การเปรียบเทียบเวลาที่ใช้ในการคำนวณด้วยวิธีไฟไนต์อีลีเมนต์ร่วมกับวิธีโมดแมตซิง และวิธีไฟไนต์อีลีเมนต์ร่วมกับวิธีบาวนด์ารีมาร์ชชิงของข้อต่อตัว T ที่มีความลึกของการบากมุมต่างๆ

ประเภทข้อต่อ	ความลึกของการบากมุม	จำนวนโนด	จำนวนอีลีเมนต์	เวลาที่ใช้ในการคำนวณ(วินาที)	
				วิธีFE+Mode matching	วิธีFE+Boundary marching
ข้อต่ออแบบระนาบ E	$x = 0$	198	340	104.0400	42.2100
	$x = 2.296$	222	383	142.5350	57.0420
	$x = 5.0715$	181	299	66.7860	33.5980
ข้อต่ออแบบระนาบ H	$x = 0$	186	316	74.8980	8.1120
	$x = 4.592$	204	347	110.2080	9.1530
	$x = 10.143$	207	351	115.0750	9.1840

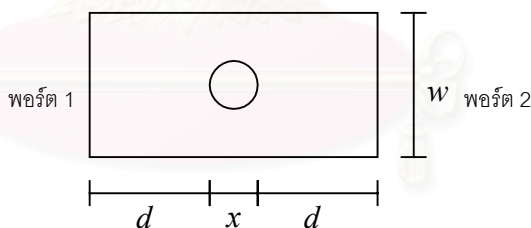
เมื่อเปรียบเทียบการวิเคราะห์ข้อต่อตัว T ระนาบ H ด้วยวิธีไฟไนต์อีลีเมนต์ร่วมกับวิธีบาวนด์ารีมาร์ชชิง กับวิธีบาวนด์ารีอีลีเมนต์ เราจะพบว่าค่า VSWR มีค่าสอดคล้องกัน ดังรูปที่ 2.21



รูปที่ 2.21 ค่า VSWR ของข้อต่อตัว T ระนาบ H ที่มีความลึกการบากมุมต่าง ๆ  
 (- วิธีไฟไนต์อีลีเมนต์ร่วมกับวิธีบาวนด์ารีมาร์ชชิง o วิธีบาวนด์ารีอีลีเมนต์  
 W. Young and D.Yaogen,(1999))

### 2.7.4 ท่อนำคลื่นสี่เหลี่ยมที่มีเสาโลหะภายในขนาดต่าง ๆ

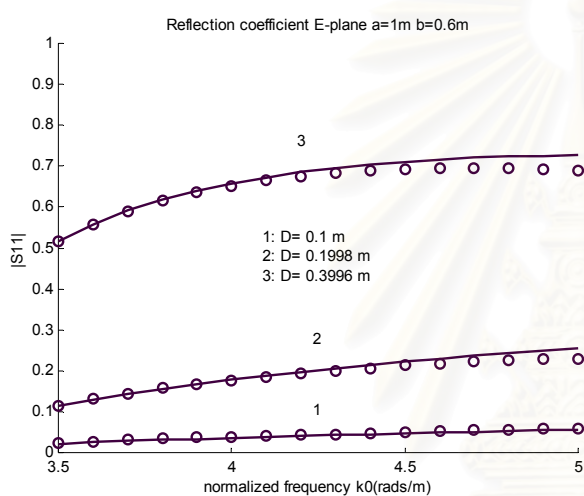
พิจารณาปัญหาความไม่ต่อเนื่องภายในท่อนำคลื่นสี่เหลี่ยมซึ่งมีความกว้าง  $a = 1m$  และความสูง  $b = 0.6m$  ที่มีเสาโลหะภายในแบบระนาบ E และแบบระนาบ H และมีการป้อนคลื่นโหมดพื้นฐาน  $TE_{10}$  ที่พอร์ตที่หนึ่งของท่อนำคลื่นและมีขนาดเสาโลหะ  $x = 0.1m, 0.1998m, 0.3996m$  และ  $d = 0.2m$  ดังรูปที่ 2.22



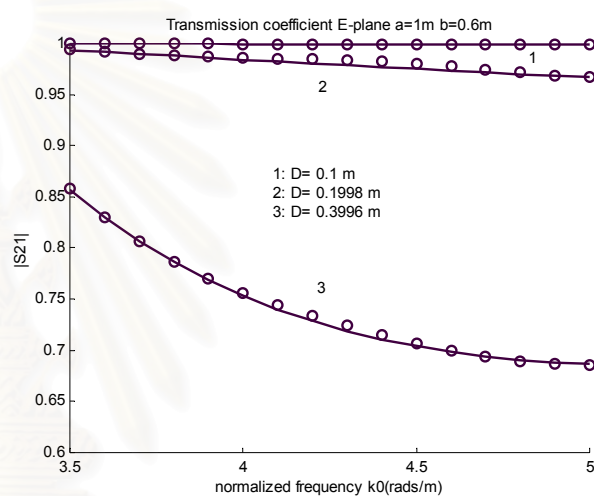
รูปที่ 2.22 ท่อนำคลื่นสี่เหลี่ยมที่มีเสาโลหะภายใน  
 โดยที่  $w = b$  สำหรับข้อต่อแบบระนาบ E และ  $w = a$  สำหรับข้อต่อแบบระนาบ H

เมื่อเปรียบเทียบการวิเคราะห์ความไม่ต่อเนื่องภายในท่อนำคลื่นด้วยวิธีไฟไนต์อีลีเมนต์ร่วมกับวิธีโหมดแมตชิ่ง ที่พิจารณาจำนวนโหมดของสนามกระเจิงจำนวน 5 โหมด กับวิธีไฟไนต์อีลีเมนต์ร่วมกับวิธีบาวนด์ารีมาร์ชชิง และมีการเลื่อนพอร์ตครั้งแรกเป็นระยะทาง  $l_1 = 0.1m$  ที่ใช้จำนวนการวนรอบซ้ำของการสร้างระบบสมการในท่อนำคลื่นจำนวน 5 รอบ เราจะพบว่าทั้งสองวิธีให้ค่าสัมประสิทธิ์การสะท้อน และค่าสัมประสิทธิ์การส่งผ่านที่สอดคล้องกัน ดังรูปที่ 2.23-2.24 วิธีไฟไนต์อีลีเมนต์ร่วมกับวิธีบาวนด์ารีมาร์ชชิงจะใช้เวลาในการคำนวณที่เร็วกว่าวิธีไฟไนต์อีลีเมนต์ร่วมกับวิธีโหมดแมตชิ่ง ดังตารางที่ 2.4

เมื่อเปรียบเทียบค่าสัมประสิทธิ์การสะท้อน และค่าสัมประสิทธิ์การส่งผ่านของท่อนำคลื่นที่มีเสาโลหะขนาดต่าง ๆ แบบระนาบ E และแบบระนาบ H เราจะพบว่าท่อนำคลื่นที่มีขนาดเสาโลหะเพิ่มขึ้น จะให้ค่าสัมประสิทธิ์การสะท้อนมากขึ้นตามลำดับ และท่อนำคลื่นที่มีเสาโลหะแบบระนาบ H จะให้ค่าสัมประสิทธิ์การสะท้อนที่มากกว่าท่อนำคลื่นที่มีเสาโลหะแบบระนาบ E เมื่อขนาดเสาโลหะเท่ากันเนื่องจาก ท่อนำคลื่นที่มีเสาโลหะแบบระนาบ H มีแนวการวางตัวของเสาโลหะในแนวเดียวกับสนามไฟฟ้าของโหมดพื้นฐานที่ป้อน ทำให้สนามสะท้อนที่เกิดขึ้นภายในท่อนำคลื่นที่มีเสาโลหะแบบระนาบ H มีมากกว่าสนามสะท้อนที่เกิดขึ้นภายในท่อนำคลื่นที่มีเสาโลหะแบบระนาบ E ที่มีการวางตัวของเสาโลหะในแนวเดียวกับสนามแม่เหล็กของโหมดพื้นฐานที่ป้อน



(ก)

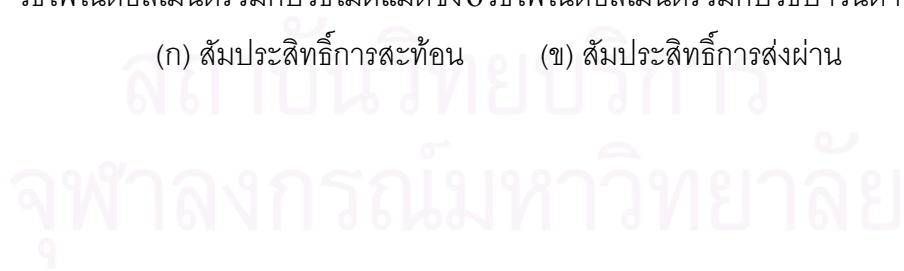


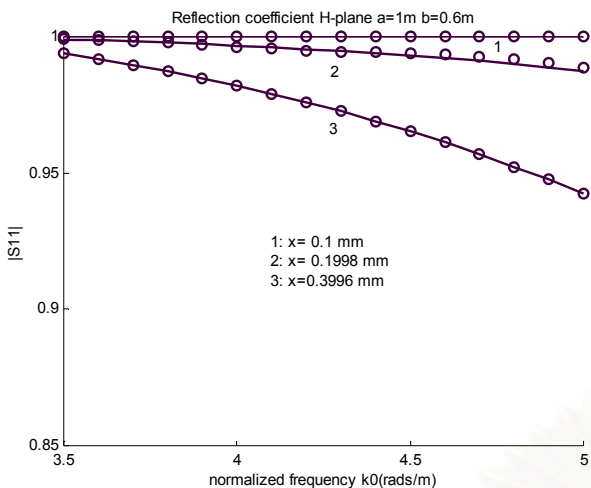
(ข)

รูปที่ 2.23 สัมประสิทธิ์การสะท้อน และการส่งผ่าน ของท่อนำคลื่นที่มีเสาโลหะภายในแบบระนาบ E ที่มีขนาดเสาโลหะต่าง ๆ

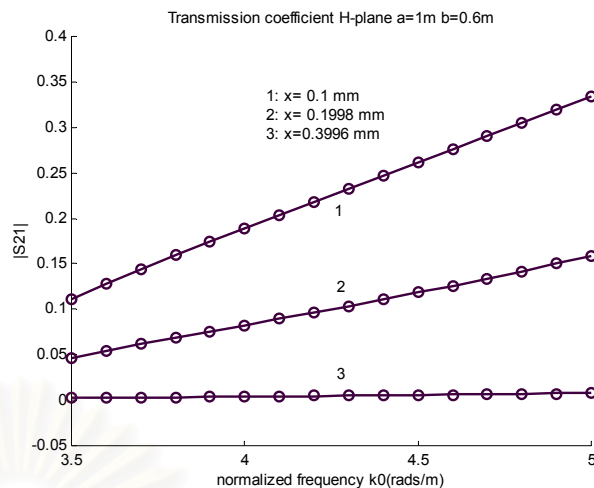
(- วิธีไฟไนต์อีลีเมนต์ร่วมกับวิธีโมดแมตริง o วิธีไฟไนต์อีลีเมนต์ร่วมกับวิธีบานด์คาร์ซีชิ่ง)

(ก) สัมประสิทธิ์การสะท้อน (ข) สัมประสิทธิ์การส่งผ่าน





(ก)



(ข)

รูปที่ 2.24 สัมประสิทธิ์การสะท้อน และการส่งผ่าน ของท่อนำคลื่นที่มีเสาโลหะภายใน แบบระนาบ H ที่มีขนาดเสาโลหะต่าง ๆ

( - วิธีไฟไนต์อีลีเมนต์ร่วมกับวิธีโหมดแมตชิ่ง o วิธีไฟไนต์อีลีเมนต์ร่วมกับวิธีบาวนด์ารีมาร์ชชิง)

(ก) สัมประสิทธิ์การสะท้อน (ข) สัมประสิทธิ์การส่งผ่าน

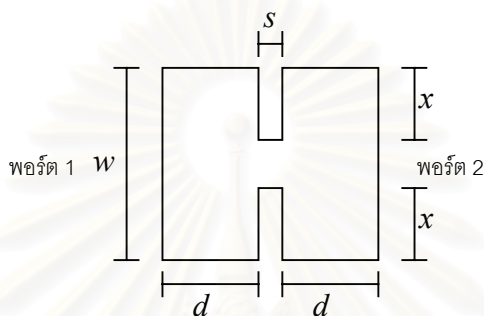
ตารางที่ 2.4 การเปรียบเทียบเวลาที่ใช้ในการคำนวณด้วยวิธีไฟไนต์อีลีเมนต์ร่วมกับวิธีโหมดแมตชิ่ง และวิธีไฟไนต์อีลีเมนต์ร่วมกับวิธีบาวนด์ารีมาร์ชชิงของท่อนำคลื่นที่มีเสาโลหะขนาดต่าง ๆ

ประเภทข้อต่อ	ขนาดเสาโลหะ (m)	จำนวน โหนด	จำนวน อีลีเมนต์	เวลาที่ใช้ในการคำนวณ(วินาที)	
				วิธี FE+Mode matching	วิธี FE+Boundary marching
ข้อต่ออแบบ ระนาบ E	x = 0.1	48	68	0.9910	0.9620
	x = 0.1998	68	100	1.8720	1.4330
	x = 0.3996	78	106	2.4940	1.7220
ข้อต่ออแบบ ระนาบ H	x = 0.1	38	48	0.7610	0.6310
	x = 0.1998	54	80	1.1620	0.9020
	x = 0.3996	56	76	1.2220	0.9210



### 2.7.5 ท่อนำคลื่นสี่เหลี่ยมที่มีแผ่นกั้นภายในขนาดต่าง ๆ

พิจารณาปัญหาความไม่ต่อเนื่องภายในท่อนำคลื่นสี่เหลี่ยม  $WR75$  (ย่านความถี่  $10-15\text{ GHz}$ ) ซึ่งมีความกว้าง  $a = 18.35\text{ cm}$  และความสูง  $b = 9.175\text{ cm}$  และมีการป้อนคลื่นโหมดพื้นฐาน  $TE_{10}$  ที่พอร์ตที่หนึ่งของท่อนำคลื่น ที่มีแผ่นกั้นกว้าง  $x = 1.147, 2.294, 3.440\text{ mm}$  และความหนา  $s = 0.5\text{ mm}$  สำหรับท่อนำคลื่นแผ่นกั้นระนาบ E และ  $x = 2.294, 4.587, 6.880\text{ mm}$  และความหนา  $s = 0.5\text{ mm}$  สำหรับท่อนำคลื่นแผ่นกั้นแบบระนาบ H และ  $d = 2\text{ mm}$  ดังในรูปที่ 2.25



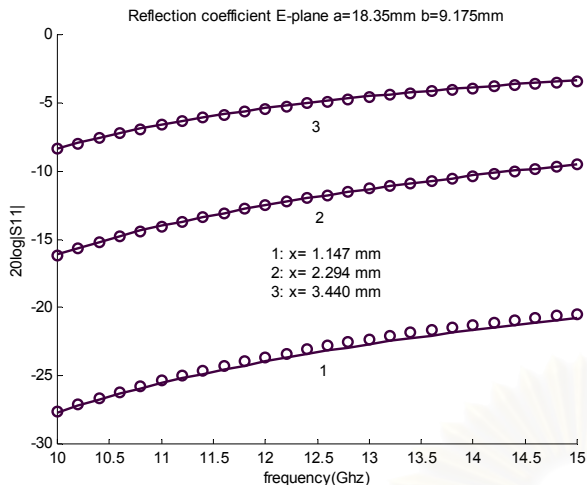
รูปที่ 2.25 ท่อนำคลื่นที่มีแผ่นกั้นภายใน

โดยที่  $w = b$  สำหรับข้อต่อแบบระนาบ E และ  $w = a$  สำหรับข้อต่อแบบระนาบ H

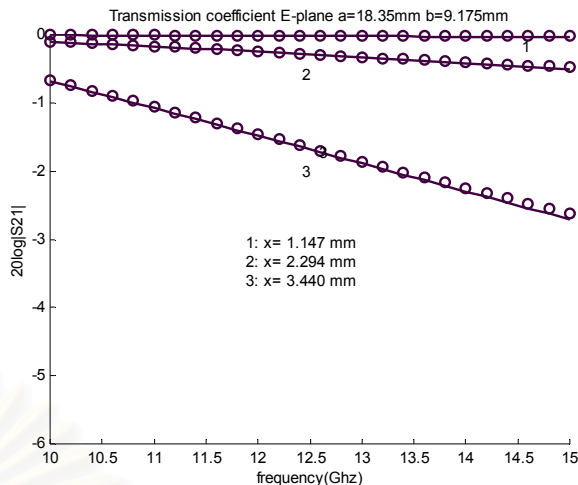
เมื่อเปรียบเทียบการวิเคราะห์ความไม่ต่อเนื่องภายในท่อนำคลื่นด้วยวิธีไฟไนต์อีลีเมนต์ร่วมกับวิธีโหมดแมตซิง ที่พิจารณาจำนวนโหมดของสนามกระเจิงจำนวน 5 โหมด กับวิธีไฟไนต์อีลีเมนต์ร่วมกับวิธีบาวนด์ารีมาร์ชชิง ที่ใช้จำนวนการวนรอบซ้ำของการสร้างระบบสมการในท่อนำคลื่นจำนวน 5 รอบ และมีการเลื่อนพอร์ตครั้งแรกเป็นระยะทาง  $l_1 = 1\text{ mm}$  เราจะพบว่าทั้งสองวิธีให้ค่าสัมประสิทธิ์การสะท้อน และค่าสัมประสิทธิ์การส่งผ่านที่สอดคล้องกัน ดังรูปที่ 2.26-2.27 และวิธีไฟไนต์อีลีเมนต์ร่วมกับวิธีบาวนด์ารีมาร์ชชิง จะใช้เวลาในการคำนวณที่เร็วกว่าวิธีไฟไนต์อีลีเมนต์ร่วมกับวิธีโหมดแมตซิง ดังตารางที่ 2.5

เมื่อเปรียบเทียบค่าสัมประสิทธิ์การสะท้อน และค่าสัมประสิทธิ์การส่งผ่านของท่อนำคลื่นที่มีแผ่นกั้นขนาดต่าง ๆ แบบระนาบ E และแบบระนาบ H เราจะพบว่าท่อนำคลื่นที่มีขนาดแผ่นกั้นเพิ่มขึ้น จะให้ค่าสัมประสิทธิ์การสะท้อนมากขึ้นตามลำดับ





(ก)



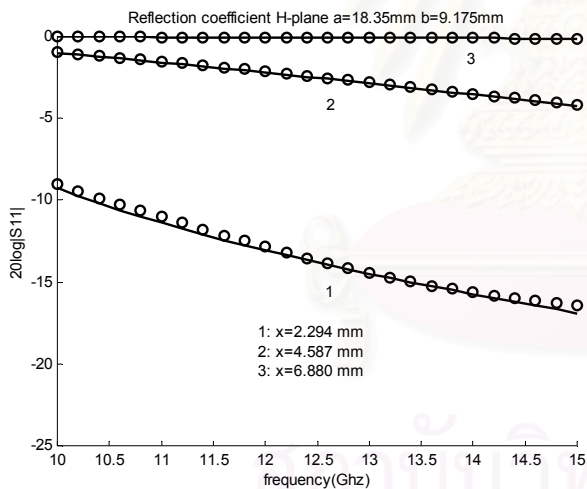
(ข)

รูปที่ 2.26 สัมประสิทธิ์การสะท้อน และการส่งผ่าน ของท่อนำคลื่นที่มีแผ่นกั้นภายในแบบระนาบ E ที่มีขนาดแผ่นกั้นต่าง ๆ

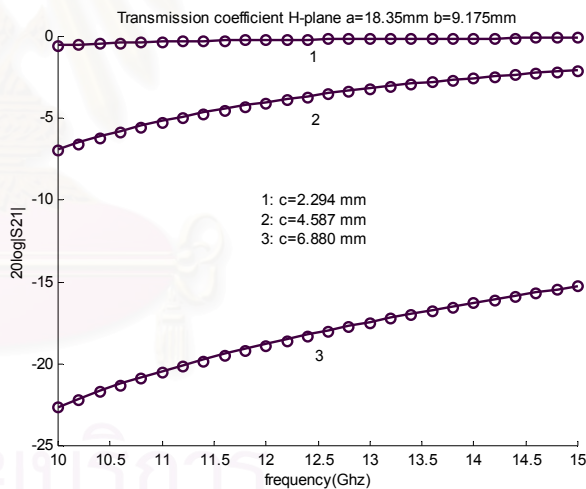
( - วิธีไฟไนต์อีลีเมนต์ร่วมกับวิธีโมดแมตซิง o วิธีไฟไนต์อีลีเมนต์ร่วมกับวิธีบาวนด์ารีมาร์ชซิง)

(ก) สัมประสิทธิ์การสะท้อน

(ข) สัมประสิทธิ์การส่งผ่าน



(ก)



(ข)

รูปที่ 2.27 สัมประสิทธิ์การสะท้อน และการส่งผ่าน ของท่อนำคลื่นที่มีแผ่นกั้นภายในแบบระนาบ H ที่มีขนาดแผ่นกั้นต่าง ๆ

( - วิธีไฟไนต์อีลีเมนต์ร่วมกับวิธีโมดแมตซิง o วิธีไฟไนต์อีลีเมนต์ร่วมกับวิธีบาวนด์ารีมาร์ชซิง)

(ก) สัมประสิทธิ์การสะท้อน

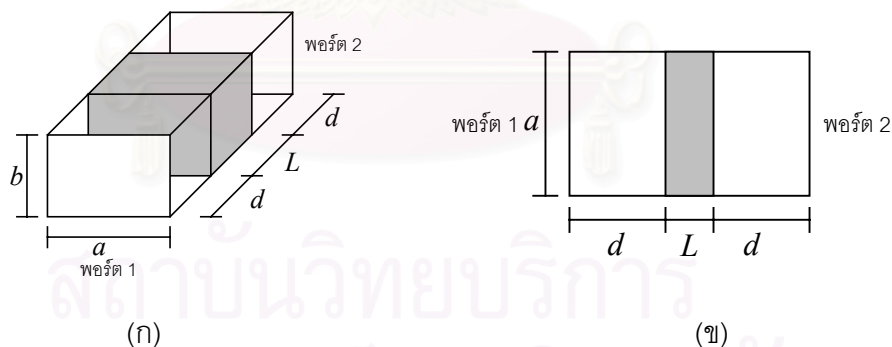
(ข) สัมประสิทธิ์การส่งผ่าน

ตารางที่ 2.5 การเปรียบเทียบเวลาที่ใช้ในการคำนวณด้วยวิธีไฟไนต์อีลีเมนต์ร่วมกับวิธีโหมดแมตซิง และวิธีไฟไนต์อีลีเมนต์ร่วมกับวิธีบาวนด์ารีมาร์ชชิงของท่อนำคลื่นที่มีแผ่นกั้นขนาดต่าง ๆ

ประเภทข้อต่อ	ขนาดความกว้างแผ่นกั้น ( $mm$ )	จำนวน โหนด	จำนวน อีลีเมนต์	เวลาที่ใช้ในการคำนวณ(วินาที)	
				วิธี FE+Mode matching	วิธี FE+Boundary marching
ข้อต่อแบบ ระบาย E	$x = 1.147$	67	96	2.8840	2.6640
	$x = 2.294$	75	108	3.6150	2.9840
	$x = 3.440$	73	96	3.4150	2.8640
ข้อต่อแบบ ระบาย H	$x = 2.294$	115	164	9.5040	4.8170
	$x = 4.587$	119	164	10.5350	4.8070
	$x = 6.880$	187	300	8.3110	6.6546

2.7.6 ท่อนำคลื่นสี่เหลี่ยมที่มีแถบไดอิเล็กทริกภายในที่มีค่าสภาพยอมต่าง ๆ

พิจารณาปัญหาความไม่ต่อเนื่องภายในท่อนำคลื่นสี่เหลี่ยม  $WR3$  (ย่านความถี่ใช้งาน  $180 - 360 GHz$ ) ซึ่งมีความกว้าง  $a = 0.86 mm$  และความสูง  $b = 0.43 mm$  และมีการบ่อนคลื่นในโหมดพื้นฐาน  $TE_{10}$  ที่พอร์ตที่หนึ่งของท่อนำคลื่น และมีแถบไดอิเล็กทริก  $L = 0.504 mm$  ที่มีค่าสภาพยอมสัมพัทธ์  $\epsilon_r = 3.5, 3.7, 4.0$  และ  $d = 0.2 mm$  ดังในรูปที่ 2.28

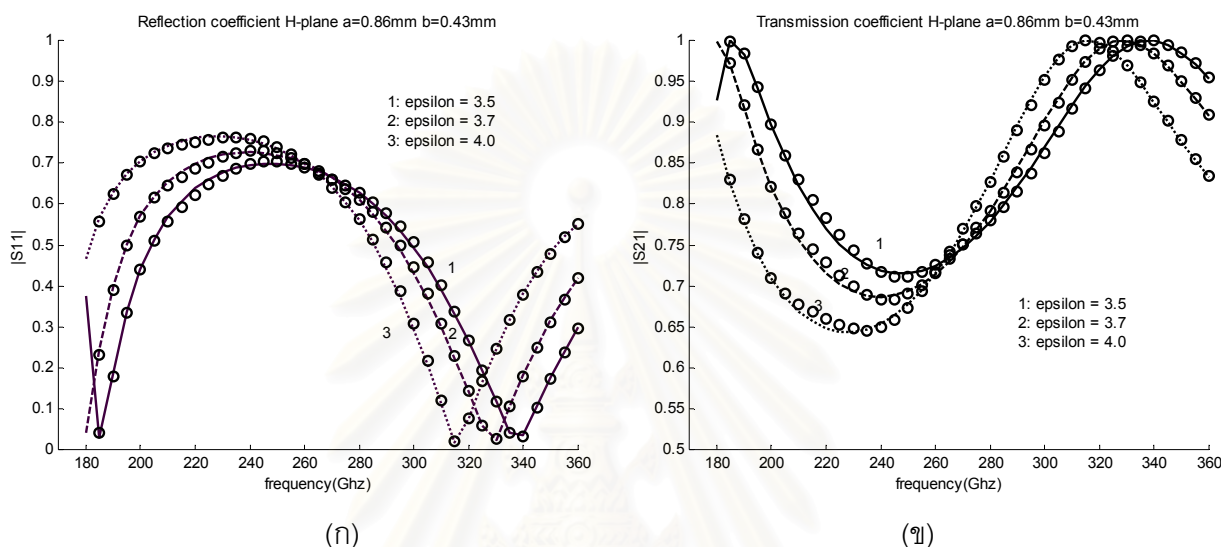


รูปที่ 2.28 ท่อนำคลื่นที่มีแถบไดอิเล็กทริกภายใน  
(ก) โครงสร้างสามมิติ (ข) โครงสร้างสองมิติระนาบ H

เมื่อเปรียบเทียบการวิเคราะห์ความไม่ต่อเนื่องภายในท่อนำคลื่นด้วยวิธีไฟไนต์อีลีเมนต์ร่วมกับวิธีโหมดแมตซิง ที่พิจารณาจำนวนโหมดของสนามกระเจิงจำนวน 5 โหมด กับวิธีไฟไนต์อีลีเมนต์ร่วมกับวิธีบาวนด์ารีมาร์ชชิง ที่ใช้จำนวนการวนรอบซ้ำของการสร้างระบบสมการในท่อนำคลื่นจำนวน 5 รอบ และมีการเลื่อนพอร์ตครั้งแรกเป็นระยะทาง  $l_1 = 0.1 mm$  เราจะพบว่าทั้งสองวิธีให้ค่าสัมประสิทธิ์การสะท้อน และค่าสัมประสิทธิ์การส่งผ่าน ที่สอดคล้องกัน ดังรูปที่ 2.29 และวิธี

ไฟไนต์อีลีเมนต์ร่วมกับวิธีบาวนด์ารีมาร์ชชิง จะใช้เวลาในการคำนวณที่เร็วกว่าวิธีไฟไนต์อีลีเมนต์ร่วมกับวิธีโมดแมตซิง ดังตารางที่ 2.6

เมื่อเปรียบเทียบค่าสัมประสิทธิ์การสะท้อน และค่าสัมประสิทธิ์การส่งผ่านของท่อนำคลื่นที่มีแถบไดอิเล็กทริกที่มีค่าสภาพยอมต่าง ๆ เราจะพบว่า เมื่อเพิ่มค่าสภาพยอม จะทำให้ช่วงความถี่ใช้งานเลื่อนมายังช่วงความถี่ต่ำลง ดังรูปที่ 2.29



รูปที่ 2.29 สัมประสิทธิ์การสะท้อน และการส่งผ่าน ของท่อนำคลื่นที่มีแถบไดอิเล็กทริกภายในที่มีค่าสภาพยอมต่าง ๆ

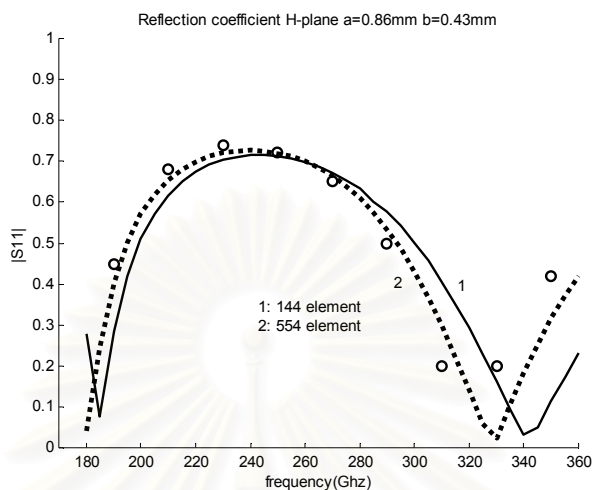
(- วิธีไฟไนต์อีลีเมนต์ร่วมกับวิธีโมดแมตซิง o วิธีไฟไนต์อีลีเมนต์ร่วมกับวิธีบาวนด์ารีมาร์ชชิง)

(ก) สัมประสิทธิ์การสะท้อน (ข) สัมประสิทธิ์การส่งผ่าน

ตารางที่ 2.6 การเปรียบเทียบเวลาที่ใช้ในการคำนวณด้วยวิธีไฟไนต์อีลีเมนต์ร่วมกับวิธีโมดแมตซิง และวิธีไฟไนต์อีลีเมนต์ร่วมกับวิธีบาวนด์ารีมาร์ชชิงของท่อนำคลื่นที่มีแถบไดอิเล็กทริกภายในที่มีค่าสภาพยอมสัมพัทธ์  $\epsilon_r = 3.7$

จำนวนโนด	จำนวนอีลีเมนต์	เวลาที่ใช้ในการคำนวณ(วินาที)	
		วิธีFE+Mode matching	วิธีFE+Boundary marching
90	144	12.558	3.325
312	554	445.33	22.598

เมื่อเปรียบเทียบค่าสัมประสิทธิ์การสะท้อนที่วิเคราะห์ด้วยวิธีไฟไนต์อีลีเมนต์ร่วมกับวิธีโมดแมตซิง กับวิธีผลต่างสี่เหลี่ยม เราจะพบว่าเมื่อเพิ่มจำนวนอีลีเมนต์จะให้ผลที่สอดคล้องกับวิธีผลต่างสี่เหลี่ยมมากขึ้นดังรูปที่ 2.30



รูปที่ 2.30 สัมประสิทธิ์การสะท้อนของท่อนำคลื่นที่มีแถบไดอิเล็กทริกภายใน เมื่อเพิ่มจำนวนอีลีเมนต์

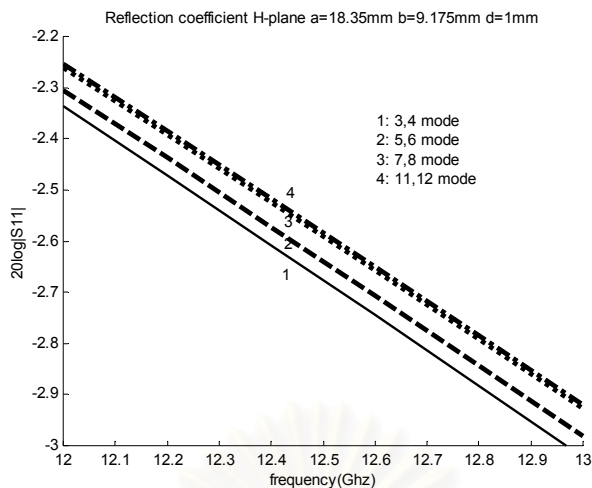
(- วิธีไฟไนต์อีลีเมนต์ร่วมกับวิธีโมดแมตซิง o วิธีผลต่างสี่เหลี่ยม)

D.V. Krupzevic, V.J. Brankovic and F. Arndt, (1993))

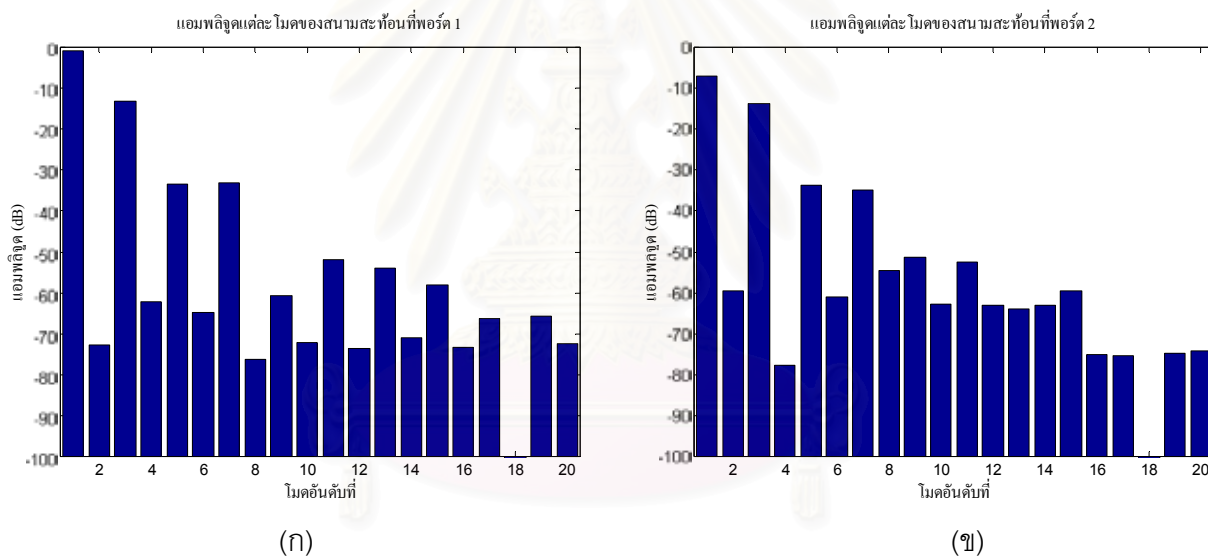
2.7.7 เปรียบเทียบผลการเพิ่มจำนวนโมดในการวิเคราะห์ข้อต่อด้วยวิธีไฟไนต์อีลีเมนต์ร่วมกับวิธีโมดแมตซิง

พิจารณาปัญหาความไม่ต่อเนื่องภายในท่อนำคลื่นสี่เหลี่ยม  $WR75$  (ย่านความถี่ใช้งาน  $10-15\text{ GHz}$ ) ซึ่งมีความกว้าง  $a = 18.35\text{ mm}$  และความสูง  $b = 9.175\text{ mm}$  และมีการป้อนคลื่นในโหมดพื้นฐาน  $TE_{10}$  ที่พอร์ตที่หนึ่งของท่อนำคลื่น ที่มีแผ่นกั้นกว้าง  $x = 4.587\text{ mm}$  และความหนา  $s = 0.5\text{ mm}$  สำหรับท่อนำคลื่นแผ่นกั้นแบบระนาบ H

เมื่อวิเคราะห์ด้วยวิธีไฟไนต์อีลีเมนต์ร่วมกับวิธีโมดแมตซิง ที่พิจารณาจำนวนโมดของสนามกระเจิงจำนวน  $M = 3, 4, 5, 6, 7$  โมด และมีการแบ่งอีลีเมนต์ภายในท่อนำคลื่นจำนวน 164 อีลีเมนต์ เราจะพบว่าแอมพลิจูดของสัมประสิทธิ์การสะท้อนจะลู่เข้า เมื่อเพิ่มจำนวนโมดที่พิจารณา และเราจะพบว่า แอมพลิจูดของโมดอันดับคู่มิ่ค่าน้อยมากเมื่อเทียบกับโมดอันดับคี่ดังรูปที่ 2.31-2.32 ทำให้กราฟของสัมประสิทธิ์ที่คำนวณได้เมื่อพิจารณาโมดจำนวนคู่มิ่ค่าใกล้เคียงกับเมื่อพิจารณาโมดจำนวนคี่ กล่าวได้ว่าสนามที่เกิดขึ้นภายในท่อนำคลื่นแผ่นกั้นระนาบ H นั้นจะเกิดสนามกระเจิงในโมดอันดับคี่เท่านั้น และเวลาที่ใช้ในการคำนวณจะเพิ่มขึ้นด้วยเมื่อจำนวนโมดที่แทนสนามกระเจิงเพิ่มขึ้นดัง ตารางที่ 2.7



รูปที่ 2.31 สัมประสิทธิ์การสะท้อนของท่อนำคลื่นที่มีแผ่นกั้นภายในเมื่อเพิ่มจำนวนโหมด ในการคำนวณด้วยวิธีไฟไนต์อีลีเมนต์ร่วมกับวิธีโมดแมตริง



รูปที่ 2.32 แอมพลิจูดของสนามสะท้อนและสนามส่งผ่านของท่อนำคลื่นที่มีแผ่นกั้นภายใน ด้วยวิธีไฟไนต์อีลีเมนต์ร่วมกับวิธีโมดแมตริง

(ก) แอมพลิจูดของสนามสะท้อน (ข) แอมพลิจูดของสนามส่งผ่าน

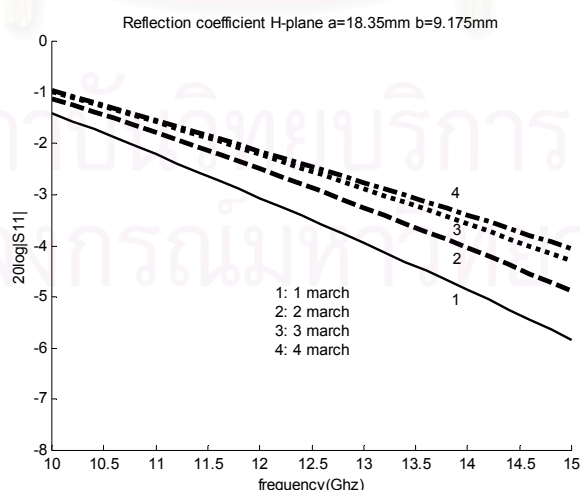
ตารางที่ 2.7 การเปรียบเทียบเวลาที่ใช้ในการคำนวณด้วยวิธีไฟไนต์อีลีเมนต์ร่วมกับวิธีโมดแมตติงของท่อนำคลื่นที่มีแผ่นกั้นภายในเมื่อพิจารณาจำนวนโมดในการคำนวณต่าง ๆ

จำนวนโมดในการคำนวณ	เวลาที่ใช้ในการคำนวณ(วินาที)
1	3.225
3	4.266
5	5.117
7	8.663

2.7.8 เปรียบเทียบผลการเพิ่มจำนวนรอบการวนซ้ำ ในการวิเคราะห์ข้อต่อด้วยวิธีไฟไนต์อีลีเมนต์ร่วมกับวิธีบาวนด์ารีมาร์ชชิง

พิจารณาปัญหาความไม่ต่อเนื่องภายในท่อนำคลื่นสี่เหลี่ยม  $WR75$  (ย่านความถี่ใช้งาน  $10-15\text{ GHz}$ ) ซึ่งมีความกว้าง  $a = 18.35\text{ mm}$  และความสูง  $b = 9.175\text{ mm}$  และมีการป้อนคลื่นในโมดพื้นฐาน  $TE_{10}$  ที่พอร์ตที่หนึ่งของท่อนำคลื่น ที่มีแผ่นกั้นกว้าง  $x = 4.587\text{ mm}$  และความหนา  $s = 0.5\text{ mm}$  สำหรับท่อนำคลื่นแผ่นกั้นแบบระนาบ H

เมื่อวิเคราะห์ด้วยวิธีไฟไนต์อีลีเมนต์ร่วมกับวิธีบาวนด์ารีมาร์ชชิง ที่มีจำนวนการวนรอบซ้ำของการสร้างระบบสมการในบริเวณท่อนำคลื่นจำนวน  $M = 1, 2, 3, 4$  รอบ และมีการเลื่อนพอร์ตครั้งแรกเป็นระยะทาง  $l_1 = 1\text{ mm}$  และมีการแบ่งอีลีเมนต์ภายในท่อนำคลื่นจำนวน 164 อีลีเมนต์ เราจะพบว่าแอมพลิจูดของสัมประสิทธิ์การสะท้อนจะถูเข้า เมื่อเพิ่มจำนวนรอบการวนซ้ำ ดังรูปที่ 2.33 และเวลาที่ใช้ในการคำนวณจะเพิ่มขึ้นเมื่อเพิ่มจำนวนรอบการวนซ้ำดังตารางที่ 2.8



รูปที่ 2.33 สัมประสิทธิ์การสะท้อนของท่อนำคลื่นที่มีแผ่นกั้นภายในเมื่อเพิ่มจำนวนรอบการวนซ้ำ ในการคำนวณด้วยวิธีไฟไนต์อีลีเมนต์ร่วมกับวิธีบาวนด์ารีมาร์ชชิง



ตารางที่ 2.8 การเปรียบเทียบเวลาที่ใช้ในการคำนวณด้วยวิธีไฟไนต์อีลีเมนต์ร่วมกับวิธีบาวนด์คาร์-มาร์ชซิงของท่อนำคลื่นที่มีแผ่นกั้นภายในเมื่อพิจารณาจำนวนรอบการวนซ้ำในการคำนวณต่าง ๆ

จำนวนรอบการวนซ้ำ	เวลาที่ใช้ในการคำนวณ(วินาที)
1	3.355
2	3.435
3	3.505
4	3.575

## 2.8 สรุป

ในบทนี้ได้นำเสนอวิธีวิเคราะห์ปัญหาการกระเจิงคลื่นแม่เหล็กไฟฟ้าภายในข้อต่อรูปร่างใด ๆ แบบสองมิติ ซึ่งได้แก่ ข้อต่อระนาบ E และข้อต่อระนาบ H ด้วยวิธีไฟไนต์อีลีเมนต์ร่วมกับวิธีโมดแมตซิง และวิธีไฟไนต์อีลีเมนต์ร่วมกับวิธีบาวนด์คาร์มาร์ชซิง ซึ่งอยู่ในรูปของสมการเฮล์มโฮลทซ์แบบสเกลาร์ และทดสอบการคำนวณทั้งสองวิธีกับกรณีตัวอย่างข้อต่อสองมิติแบบระนาบ E และระนาบ H แบบต่าง ๆ ได้แก่ ข้อต่อ  $90^\circ$  ข้อต่อตัว T ท่อนำคลื่นที่มีแผ่นกั้นภายใน ท่อนำคลื่นที่มีเสาโลหะภายใน และท่อนำคลื่นที่มีแถบไดอิเล็กทริกภายใน เราจะพบว่าการคำนวณด้วยวิธีไฟไนต์อีลีเมนต์ร่วมกับวิธีบาวนด์คาร์มาร์ชซิงใช้เวลาในการคำนวณที่เร็วกว่าวิธีไฟไนต์อีลีเมนต์ร่วมกับวิธีโมดแมตซิง และเราจะพบว่าพารามิเตอร์การกระเจิงจะลู่เข้า เมื่อเพิ่มจำนวนโมดในการคำนวณด้วยวิธีไฟไนต์อีลีเมนต์ร่วมกับวิธีโมดแมตซิง และพารามิเตอร์การกระเจิงจะลู่เข้า เมื่อเพิ่มจำนวนการวนรอบซ้ำในการคำนวณด้วยวิธีไฟไนต์อีลีเมนต์ร่วมกับวิธีบาวนด์คาร์มาร์ชซิง

ผลการวิเคราะห์ข้อต่อแบบต่าง ๆ แสดงให้เห็นว่า ข้อต่อ  $90^\circ$  และข้อต่อตัว T จะมีค่าสัมประสิทธิ์การสะท้อนน้อยลง เมื่อเพิ่มระยะการบากมุมมากขึ้น และเราจะพบว่าท่อนำคลื่นที่มีแผ่นกั้นภายใน และเสาโลหะภายในจะมีค่าสัมประสิทธิ์การสะท้อนมากขึ้น เมื่อเพิ่มขนาดของแผ่นกั้นและขนาดของเสาโลหะ และการวางแนวเสาโลหะในแนวเดียวกับสนามไฟฟ้าในโหมดพื้นฐานของข้อต่อแบบระนาบ H จะมีค่าสัมประสิทธิ์การสะท้อนที่มากกว่าการวางแนวเสาโลหะในแนวเดียวกับสนามแม่เหล็กในโหมดพื้นฐานของข้อต่อแบบระนาบ E และเราจะพบว่า ท่อนำคลื่นที่มีแถบไดอิเล็กทริกภายใน จะมีช่วงความถี่ใช้งานเลื่อนมาที่ยังช่วงความถี่ต่ำ เมื่อเพิ่มค่าสภาพยอมของแถบไดอิเล็กทริก และผลการวิเคราะห์ให้ผลสอดคล้องกับวิธีบาวนด์คาร์อีลีเมนต์ตามรายงานที่เคยมีมา



### บทที่ 3

#### การวิเคราะห์ข้อต่อสามมิติ

#### ด้วยวิธีไฟไนต์อีลีเมนต์ร่วมกับวิธีโมดเมตซิงและวิธีบาวนด์ารีมาร์ชชิง

##### 3.1 ความนำ

บทนี้จะกล่าวถึงการวิเคราะห์หาพารามิเตอร์การกระเจิง ของข้อต่อรูปร่างใด ๆ แบบสามมิติที่เชื่อมต่อระหว่างท่อนำคลื่นสี่เหลี่ยมด้วยวิธีไฟไนต์อีลีเมนต์ เริ่มต้นจะกล่าวถึงสมการพื้นฐานสำหรับการวิเคราะห์ข้อต่อสามมิติในรูปของสมการคลื่นแบบเวกเตอร์ของสนามแม่เหล็ก แนวคิดของวิธีไฟไนต์อีลีเมนต์ที่ใช้การกำหนดเงื่อนไขที่พอร์ตด้วยวิธีการโมดเมตซิง และการกำหนดเงื่อนไขที่พอร์ตด้วยวิธีบาวนด์ารีมาร์ชชิง รวมทั้งการเปรียบเทียบผลระหว่างวิธีกำหนดเงื่อนไขที่พอร์ตด้วยวิธีโมดเมตซิงกับวิธีบาวนด์ารีมาร์ชชิง และกรณีตัวอย่างการคำนวณของท่อนำคลื่นที่มีแถบไดอิเล็กทริกภายในแบบสามมิติ

บทนี้จะประกอบด้วยเนื้อหา ดังนี้

##### 3.1 ความนำ

##### 3.2 สมการพื้นฐานสำหรับการวิเคราะห์ข้อต่อสามมิติและวิธีไฟไนต์อีลีเมนต์

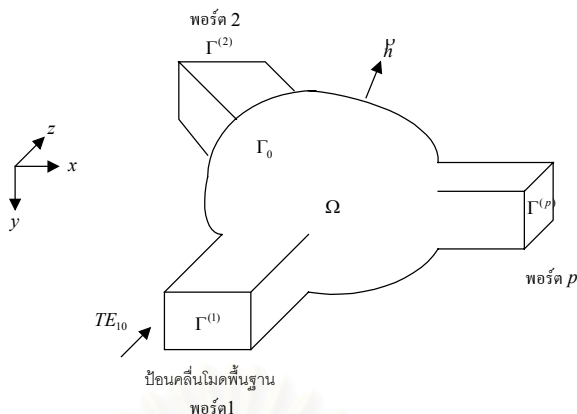
##### 3.3 การกำหนดเงื่อนไขที่พอร์ตด้วยวิธีโมดเมตซิง

##### 3.4 การกำหนดเงื่อนไขที่พอร์ตด้วยวิธีบาวนด์ารีมาร์ชชิง

##### 3.5 ผลการคำนวณในกรณีตัวอย่าง

##### 3.2 สมการพื้นฐานสำหรับการวิเคราะห์ข้อต่อสามมิติและวิธีไฟไนต์อีลีเมนต์

หัวข้อนี้จะกล่าวถึงสมการพื้นฐานสำหรับการวิเคราะห์ข้อต่อรูปร่างใด ๆ แบบสามมิติที่เชื่อมต่อระหว่างท่อนำคลื่นสี่เหลี่ยม กำหนดให้บริเวณ  $\Omega$  เป็นบริเวณของข้อต่อและมีผิวปิดล้อมบริเวณข้อต่อที่ประกอบด้วย  $\Gamma_0$  เป็นผนังตัวนำไฟฟ้าสมบูรณ์แบบ  $\Gamma^{(k)}$  เป็นระนาบอ้างอิงที่พอร์ต  $k$  ของท่อนำคลื่นสี่เหลี่ยมจำนวน  $p$  พอร์ต  $k = 1, 2, \dots, p$  ซึ่งมีขนาดความกว้าง  $a^{(k)}$  และความสูง  $b^{(k)}$  และกำหนดให้มีการบ่อนสนามในโหมดพื้นฐาน  $TE_{10}$  ที่พอร์ตที่หนึ่งของข้อต่อและแมตเทิลดในพอร์ตที่เหลือดังรูปที่ 3.1



รูปที่ 3.1 โครงสร้างข้อต่อรูปร่างใด ๆ แบบสามมิติที่มีการเชื่อมต่อระหว่าง  
ท่อนำคลื่นสี่เหลี่ยม

เมื่อพิจารณาสนามแม่เหล็กไฟฟ้าฮาร์มอนิกเชิงเวลา (Time-harmonic electromagnetic field) หรือสนามที่ขึ้นกับเวลาในรูปของฟังก์ชัน  $e^{j\omega t}$  สนามแม่เหล็กไฟฟ้าภายในข้อต่อจะต้องสอดคล้องกับสมการแมกซ์เวลล์ในโดเมนความถี่ดังนี้

$$\nabla \times \vec{H} = j\omega \epsilon_0 \epsilon_r \vec{E} \quad (3.1)$$

$$\nabla \times \vec{E} = -j\omega \mu_0 \mu_r \vec{H} \quad (3.2)$$

จากสมการ (3.1) และสมการ (3.2) จะได้สมการคลื่นแบบเวกเตอร์ของสนามไฟฟ้าและสนามแม่เหล็กดังนี้

$$\nabla \times \mu_r^{-1} \nabla \times \vec{E} - k_0^2 \epsilon_r \vec{E} = 0 \quad (3.3)$$

$$\nabla \times \epsilon_r^{-1} \nabla \times \vec{H} - k_0^2 \mu_r \vec{H} = 0 \quad (3.4)$$

โดยที่  $k_0$  คือ เลขคลื่นในอวกาศว่างซึ่งมีค่าเท่ากับ  $\omega \sqrt{\epsilon_0 \mu_0}$  และเงื่อนไขสนามบนผนังตัวนำไฟฟ้าสมบูรณ์แบบ

$$\vec{h} \times \vec{E} = 0 \quad (3.5)$$

โดยที่  $\vec{h}$  คือเวกเตอร์หนึ่งหน่วยตั้งฉากที่ชี้ออกจากบริเวณข้อต่อ

ในที่นี้เราจะพิจารณาการแก้สมการคลื่นแบบเวกเตอร์ของสนามแม่เหล็กในการวิเคราะห์ข้อต่อรูปร่างใด ๆ แบบสามมิติด้วยวิธีไฟไนต์อีลีเมนต์ โดยเริ่มจากการแบ่งบริเวณ  $\Omega$  ออกเป็นอีลีเมนต์รูปทรงสามเหลี่ยมสี่หน้า (tetrahedral element) จำนวน  $N$  อีลีเมนต์ที่ประกอบด้วยโนดบนจุดยอดของรูปทรงสามเหลี่ยมสี่หน้าทั้งหมดจำนวน  $N_n$  โนด ขอบของรูปทรงสามเหลี่ยมสี่หน้าทั้งหมดจำนวน  $N_s$  ขอบ โนดบนจุดยอดของรูปทรงสามเหลี่ยมสี่หน้าที่อยู่บนพอร์ต  $k$  จำนวน  $N_p^{(k)}$  โนด และขอบของรูปทรงสามเหลี่ยมสี่หน้าที่อยู่บนพอร์ต  $k$  จำนวน  $N_s^{(k)}$  ขอบ ดังรูปที่ 3.2 จากนั้นประมาณฟังก์ชันสนามแม่เหล็ก  $\vec{H}$  ภายในอีลีเมนต์ด้วยผลบวกของผลคูณของฟังก์ชันรูปร่างแบบใช้ขอบ กับพารามิเตอร์ไม่ทราบค่า ที่เป็นค่าของสนามแม่เหล็กที่ขอบของรูปทรงสามเหลี่ยมสี่หน้า ดังรูปที่ 3.3 ซึ่งเขียนในรูปเมทริกซ์ได้ดังนี้

$$\vec{H}^e \approx \{N^e\}^T \{H^e\} = \sum_{i=1}^3 N_i^e H_i^e \quad i = 1, \dots, 6 \quad (3.6)$$

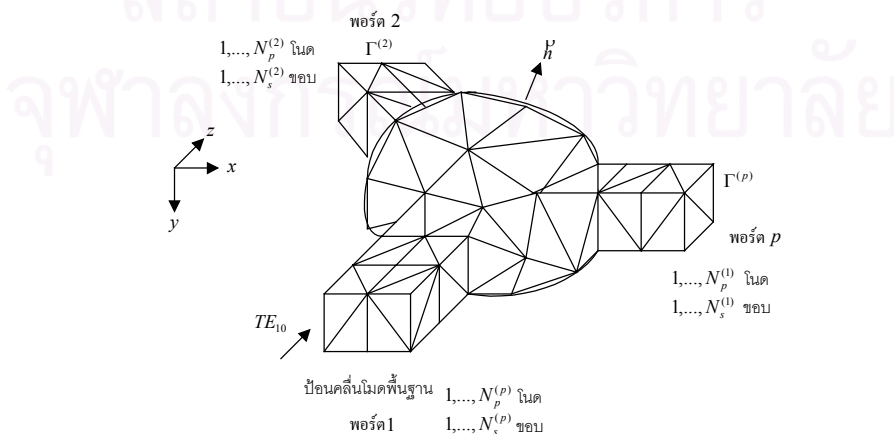
โดยที่  $\{N^e\}^T = \{N_1^e \ N_2^e \ N_3^e \ N_4^e \ N_5^e \ N_6^e\}$  คือเวกเตอร์ขนาด  $1 \times 6$  ที่มีสมาชิกเป็นฟังก์ชันรูปร่างแบบใช้ขอบของอีลีเมนต์รูปทรงสามเหลี่ยมสี่หน้า

$H^e$  คือ ค่าความเข้มสนามแม่เหล็กภายในอีลีเมนต์  $e$

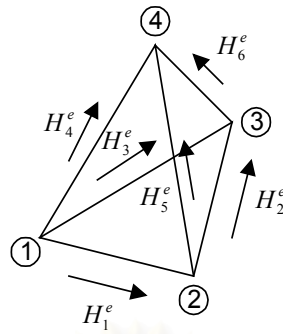
$$\{H^e\} = \begin{Bmatrix} H_1^e \\ H_2^e \\ H_3^e \\ H_4^e \\ H_5^e \\ H_6^e \end{Bmatrix} \text{ คือเวกเตอร์ขนาด } 6 \times 1 \text{ ที่มีสมาชิกเป็นแอมพลิจูดของส่วนประกอบ } H \text{ ณ}$$

ขอบของอีลีเมนต์รูปทรงสามเหลี่ยมสี่หน้า

$T$  คือ เครื่องหมายทราสโพสของเมทริกซ์



รูปที่ 3.2 การแบ่งอีลีเมนต์ในการวิเคราะห์ข้อต่อรูปร่างใด ๆ แบบสามมิติ



รูปที่ 3.3 อีลีเมนต์รูปทรงสี่หน้าและฟังก์ชันรูปร่างแบบใช้ขอบ

เมื่อแทนสมการ (3.6) ลงในสมการ (3.4) จะได้ว่า

$$(\nabla \times \epsilon_r^{-1} \nabla \times \{N^e\}^T) \{H^e\} - k_0^2 \mu_r \{N^e\}^T \{H^e\} = 0 \quad (3.7)$$

ตามหลักการของวิธีถ่วงน้ำหนักเศษตค่างตามวิธีของกาเลอคิน จะคูณสมการ (3.7) ด้วยฟังก์ชันถ่วงน้ำหนักที่เป็นฟังก์ชันเดียวกับฟังก์ชันรูปร่าง แล้วอินทิเกรตตลอดบริเวณอีลีเมนต์ และใช้ทฤษฎีบทของกรีน (Green's theorem) เมื่อรวมผลของอีลีเมนต์ทุกตัวเข้าด้วยกันจะได้ชุดสมการดังนี้

$$[A]\{H\} = -\sum_{e=1}^N \int \epsilon_r^{-1} \{N^e\} \cdot (\rho \times \nabla \times H) d\Gamma \quad (3.8)$$

โดยที่  $[A]$  คือเมทริกซ์ขนาด  $N_s \times N_s$  มีค่าดังนี้

$$[A] = \sum_{e=1}^N \int (\epsilon_r^{-1} (\nabla \times \{N^e\}) \cdot (\nabla \times \{N^e\}^T) - k_0^2 \mu_r \{N^e\} \{N^e\}^T) d\Omega$$

$$\Gamma = \Gamma_0 + \sum_{k=1}^P \Gamma^{(k)} \quad \text{คือผิวปิดล้อมบริเวณข้อต่อ } \Omega$$

เมื่อใช้เงื่อนไขสนามบนผนังตัวนำไฟฟ้าสมบูรณ์แบบตามสมการ (3.5) ในสมการ (3.8) จะได้ ชุดสมการดังนี้

$$[A]\{H\} = -j\omega\epsilon_0 \sum_{k=1}^P \sum_{e=1}^N \int \{N^e\} \cdot (\rho \times E) d\Gamma^{(k)} \quad (3.9)$$

ในที่นี้จะพิจารณาข้อต่อรูปร่างใด ๆ แบบสามมิติที่มีพอร์ตสองพอร์ตและมีแนวแกนของท่อนำคลื่นสี่เหลี่ยมที่มาต่อกับข้อต่อในแนว  $z$  จะได้ว่า

$$\begin{aligned} [A]\{H\} &= j\omega\epsilon_0 \sum_{e=1}^N \int \{N^e\} \cdot (\hat{a}_z \times \hat{E}) d\Gamma^{(1)} \\ &\quad - j\omega\epsilon_0 \sum_{e=1}^N \int \{N^e\} \cdot (\hat{a}_z \times \hat{E}) d\Gamma^{(2)} \end{aligned} \quad (3.10)$$

การแก้ปัญหาข้อต่อรูปร่างใด ๆ แบบสามมิติด้วยวิธีไฟไนต์อีลีเมนต์ตามสมการ (3.10) นั้นเราจะต้องทราบเงื่อนไขสนามไฟฟ้าแนวสัมผัส  $\hat{a}_z \times \hat{E}$  บนพอร์ตต่าง ๆ ของข้อต่อเชื่อมต่อกับท่อนำคลื่นยาวอนันต์โดยถือเสมือนว่าข้อต่อเป็นบริเวณเปิด ดังนั้นในการแก้ปัญหาด้วยวิธีไฟไนต์อีลีเมนต์จึงจำเป็นต้องใช้ร่วมกับวิธีอื่นซึ่งมีอยู่หลายวิธี เพื่อกำหนดเงื่อนไขสนามไฟฟ้าแนวสัมผัสที่พอร์ตต่าง ๆ และจำกัดบริเวณปัญหาในการวิเคราะห์ ในวิทยานิพนธ์นี้ผู้วิจัยจะนำเสนอการกำหนดเงื่อนไขดังกล่าวด้วยวิธีโมดแมตซิง และวิธีบาวนด์ารีมาร์ชซิง รวมทั้งการเปรียบเทียบเวลาที่ใช้ในการคำนวณของทั้งสองวิธี ซึ่งจะกล่าวในหัวข้อถัดไป

### 3.3 การกำหนดเงื่อนไขที่พอร์ตด้วยวิธีโมดแมตซิง

หัวข้อนี้จะกล่าวถึงการจำกัดบริเวณด้วยการกำหนดเงื่อนไขที่พอร์ต โดยแทนสนามที่พอร์ตต่าง ๆ ของข้อต่อในรูปการแผ่ขยายโมดหรือผลบวกของสนามในโมดต่าง ๆ ที่เรียกว่าวิธีโมดแมตซิง ในที่นี้เราจะพิจารณาข้อต่อที่มีพอร์ตเพียงสองพอร์ต มีแนวแกนของท่อนำคลื่นที่มาต่อกับข้อต่อในแนว  $z$  และมีการป้อนคลื่นในโมดพื้นฐาน  $TE_{10}$  ที่พอร์ตที่หนึ่งและเมตโหลดที่พอร์ตที่สอง

เราจะแทนสนามแม่เหล็กไฟฟ้าที่พอร์ตต่าง ๆ ของข้อต่อในรูปการแผ่ขยายโมดโดยกำหนดให้สนามแนวสัมผัสพอร์ตที่กระเจิงออกจากข้อต่ออยู่ในรูปผลบวกของสนามจำนวน  $M$  โมดที่ประกอบด้วยโมด  $TE$  และ  $TM$  ดังนี้

$$\begin{aligned} \hat{E}_i^{(k)} &= \sum_m \sum_n (a_{mn} e^{-j\beta_{mn}^{(k)} z_i} + b_{mn} e^{j\beta_{mn}^{(k)} z_i}) \hat{p}_{1mn}(x, y) \\ &\quad + \sum_m \sum_n \frac{j\beta_{mn}^{(k)}}{j\omega\epsilon_0} (c_{mn} e^{-j\beta_{mn}^{(k)} z_i} - d_{mn} e^{j\beta_{mn}^{(k)} z_i}) \hat{p}_{2mn}(x, y) \end{aligned} \quad (3.11)$$

$$\begin{aligned} \hat{H}_i^{(k)} &= \sum_m \sum_n \frac{j\beta_{mn}^{(k)}}{j\omega\mu_0} (a_{mn} e^{-j\beta_{mn}^{(k)} z_i} + b_{mn} e^{j\beta_{mn}^{(k)} z_i}) \hat{h}_{1mn}(x, y) \\ &\quad + \sum_m \sum_n (c_{mn} e^{-j\beta_{mn}^{(k)} z_i} - d_{mn} e^{j\beta_{mn}^{(k)} z_i}) \hat{h}_{2mn}(x, y) \end{aligned} \quad (3.12)$$

โดยที่  $E_t^{(k)}, H_t^{(k)}$  คือความเข้มสนามไฟฟ้าและความเข้มสนามแม่เหล็กในแนวสัมผัสที่พอร์ต  $k$  ตามลำดับ

$E_{1mn}, E_{2mn}$  คือแบบรูปสนามไฟฟ้าของโหมดไอโซโทรปิก  $TE_{mn}$  และโหมด  $TM_{mn}$  ตามลำดับ ซึ่งมีค่าดังนี้

$$E_{1mn} = N_{mn} \left( -\frac{n}{b} f_{mn} \hat{a}_x + \frac{m}{a} g_{mn} \hat{a}_y \right)$$

$$E_{2mn} = N_{mn} \left( \frac{m}{a} f_{mn} \hat{a}_x + \frac{n}{b} g_{mn} \hat{a}_y \right)$$

$$N_{mn} = \sqrt{\frac{v_m v_{n0} ab}{n^2 a^2 + m^2 b^2}}$$

$$v_m = \begin{cases} 1 & m = 0 \\ 2 & m \neq 0 \end{cases}$$

$$f_{mn} = \cos\left(\frac{m\pi x}{a^{(k)}}\right) \sin\left(\frac{n\pi y}{b^{(k)}}\right)$$

$$g_{mn} = \sin\left(\frac{m\pi x}{a^{(k)}}\right) \cos\left(\frac{n\pi y}{b^{(k)}}\right)$$

$h_{1mn}, h_{2mn}$  คือแบบรูปสนามแม่เหล็กของโหมดไอโซโทรปิก  $TE_{mn}$  และโหมด  $TM_{mn}$  ตามลำดับมีค่าดังนี้

$$h_{lmn} = \hat{a}_z \times E_{lmn} \quad l = 1, 2$$

$\beta_{mn}^{(k)}$  คือค่าคงตัวการแพร่กระจายในแนวการเคลื่อนที่ของคลื่น ซึ่งมีค่าดังนี้

$$\beta_{mn}^{(k)} = \begin{cases} \sqrt{k_0^2 - \left(\frac{m\pi}{a^{(k)}}\right)^2 - \left(\frac{n\pi}{b^{(k)}}\right)^2} & \text{for } k_0 \geq \left(\frac{m\pi}{a^{(k)}}\right)^2 + \left(\frac{n\pi}{b^{(k)}}\right)^2 \\ -\sqrt{k_0^2 - \left(\frac{m\pi}{a^{(k)}}\right)^2 - \left(\frac{n\pi}{b^{(k)}}\right)^2} & \text{for } k_0 < \left(\frac{m\pi}{a^{(k)}}\right)^2 + \left(\frac{n\pi}{b^{(k)}}\right)^2 \end{cases}$$

$a_{mn}, b_{mn}, c_{mn}, d_{mn}$  คือแอมพลิจูดของสนามแม่เหล็กไฟฟ้าที่พอร์ตของคลื่นโหมด  $mn$

แบบรูปสนามแม่เหล็กไฟฟ้าของโหมดไอโซโทรปิกในสมการ (3.11) และ (3.12) จะมีคุณสมบัติเชิงตั้งฉากดังนี้

$$\int E_{lmn} E_{l'm'n'} d\Gamma^{(k)} = \int h_{lmn} h_{l'm'n'} d\Gamma^{(k)} = \delta_{ll'} \delta_{mm'} \delta_{nn'} \quad (3.13)$$

$$\text{โดยที่ } \delta_{ll'} = \begin{cases} 0 & l \neq l' \\ 1 & l = l' \end{cases}$$



เมื่อป้อนคลื่นในโหมดพื้นฐาน  $TE_{10}$  ที่พอร์ตที่หนึ่ง ( $a_{mn} = a_{110}, c_{mn} = 0$ ) และแมตโหลดที่พอร์ตที่สอง ( $b_{mn} = d_{mn} = 0$ ) และใช้คุณสมบัติเชิงตั้งฉากตามสมการ (3.13) ในสมการ (3.11) และ (3.12) จะได้ความสัมพันธ์ระหว่างสนามไฟฟ้าในแนวสัมผัสที่พอร์ตกับสนามแม่เหล็กในแนวสัมผัสที่พอร์ต ดังนี้

$$\begin{aligned} E_t^{(k)} &= 2a_{10}\delta_{k1}e^{-j\beta_{10}z_k}\mathcal{E}_{110} \\ &+ (-1)^k \sum_m \sum_n \frac{j\omega\mu_0}{j\beta_{mn}} \int h_{1mn} \cdot H_t^{(k)} d\Gamma^{(k)} \mathcal{E}_{1mn} \\ &+ (-1)^k \sum_m \sum_n \frac{j\beta_{mn}}{j\omega\epsilon_0} \int h_{2mn} \cdot H_t^{(k)} d\Gamma^{(k)} \mathcal{E}_{2mn} \end{aligned} \quad (3.14)$$

นอกจากนี้เราจะประมาณฟังก์ชันแบบรูปสนามแม่เหล็กนอร์มัลไลซ์  $h_{lmn}$  ด้วยผลบวกของผลคูณระหว่างฟังก์ชันรูปร่างแบบใช้ขอบของอีลีเมนต์สามเหลี่ยมดังรูปที่ 3.4 จำนวน  $N^{(k)}$  อีลีเมนต์ที่ประกอบด้วยโนดบนพอร์ต  $k$  จำนวน  $N_p^{(k)}$  โนด และขอบจำนวน  $N_s^{(k)}$  ขอบ ดังนี้

$$h_{lmn} \approx \sum_{e=1}^{N^{(k)}} \{N^e\}^T \{h_{lmn}^e\} = \{N\} \{h_{lmn}\} \quad (3.15)$$

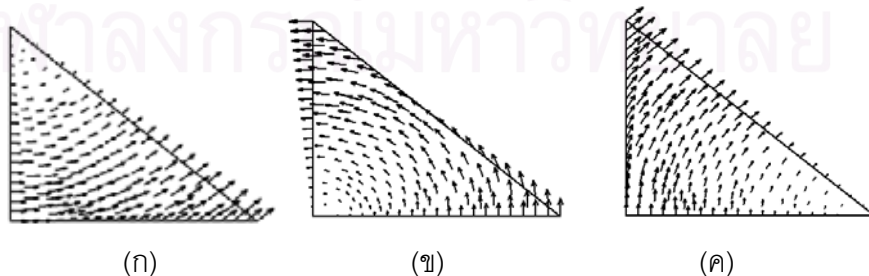
โดยที่  $\{N^e\} = \{N_1^e \ N_2^e \ N_3^e\}$  คือฟังก์ชันรูปร่างแบบใช้ขอบของอีลีเมนต์สามเหลี่ยม  $\{h_{1mn}^e\}, \{h_{2mn}^e\}$  คือแอมพลิจูดแบบรูปสนามแม่เหล็กโหมด  $TE_{mn}$  และ โหมด  $TM_{mn}$  ซึ่งมีค่าดังนี้

$$\{h_{1mn}^e\} = -\frac{N_{mn}}{l_s} \left[ (x_j - x_i) \left( \frac{m}{a} g_{mn} \right) + (x_j - x_i) \left( \frac{n}{b} f_{mn} \right) \right]$$

$$\{h_{2mn}^e\} = \frac{N_{mn}}{l_s} \left[ -(x_j - x_i) \left( \frac{n}{b} g_{mn} \right) + (x_j - x_i) \left( \frac{m}{a} f_{mn} \right) \right]$$

$l_s$  คือความยาวขอบ  $s$  ของอีลีเมนต์สามเหลี่ยมจากพิกัด  $(x_i, y_i)$  ไปยังพิกัด  $(x_j, y_j)$

$\{h_{lmn}\}$  คือเวกเตอร์ขนาด  $N_s^{(k)} \times 1$



รูปที่ 3.4 ฟังก์ชันรูปร่างแบบใช้ขอบของอีลีเมนต์สามเหลี่ยม (ก)  $N_1^e$  (ข)  $N_2^e$  (ค)  $N_3^e$



เมื่อแทนสมการ (3.14)-(3.15) ลงในสมการ (3.10) จะได้ชุดสมการดังนี้

$$\begin{bmatrix} [A_{1,1}] - [P^{(1)}] & [A_{1,2}] & [A_{1,in}] \\ [A_{2,1}] & [A_{2,2}] - [P^{(2)}] & [A_{2,in}] \\ [A_{in,1}] & [A_{in,2}] & [A_{in,in}] \end{bmatrix} \begin{bmatrix} \{H_1\} \\ \{H_2\} \\ \{H_{in}\} \end{bmatrix} = \begin{bmatrix} \{Q^{(1)}\} \\ \{0\} \\ \{0\} \end{bmatrix} \quad (3.16)$$

โดยที่  $[P^{(k)}]$  คือเมทริกซ์ขนาด  $N_s^{(k)} \times N_s^{(k)}$  และ  $\{Q^{(1)}\}$  คือเมทริกซ์ขนาด  $N_s^{(1)} \times 1$

$$\begin{aligned} [P^{(k)}] &= k_0^2 \sum_m \sum_n \sum_{e=1}^{N^{(k)}} \frac{1}{j\beta_{mn}^{(k)}} \left[ \int \{N^e\} \cdot \{N^e\}^T d\Gamma^{(k)} \right] \{h_{1mn}^e\} \{h_{1mn}^e\}^T \left[ \int \{N^e\} \cdot \{N^e\}^T d\Gamma^{(k)} \right] \\ &\quad - \sum_m \sum_n \sum_{e=1}^{N^{(k)}} j\beta_{mn}^{(k)} \left[ \int \{N^e\} \cdot \{N^e\}^T d\Gamma^{(k)} \right] \{h_{2mn}^e\} \{h_{2mn}^e\}^T \left[ \int \{N^e\} \cdot \{N^e\}^T d\Gamma^{(k)} \right] \\ \{Q^{(1)}\} &= \sum_{e=1}^N \frac{2jk_0 a_{110}}{z_0} \left[ \int \{N^e\} \cdot \{N^e\}^T d\Gamma^{(k)} \right] \{h_{110}^e\} \end{aligned}$$

เมื่อแก้สมการ (3.16) แล้ว เราสามารถหาพารามิเตอร์การกระเจิงจากสนามแม่เหล็กที่พอร์ตต่าง ๆ ของข้อต่อ ได้ดังนี้

$$S_{11} = 1 - \frac{j\omega\mu_0}{j\beta_{mn}^{(1)}} \{h_{110}\}^T \left[ \int \{N\} \cdot \{N\}^T d\Gamma^{(k)} \right] \{H_1\} \quad (3.17)$$

$$S_{21} = \frac{j\omega\mu_0}{j\beta_{mn}^{(2)}} \sqrt{\frac{\beta_{mn}^{(2)}}{\beta_{mn}^{(1)}}} \{h_{210}\} \left[ \int \{N\} \cdot \{N\}^T d\Gamma^{(k)} \right]^T \{H_2\} \quad (3.18)$$

### 3.4 การกำหนดเงื่อนไขที่พอร์ตด้วยวิธีบาวนด์ารีมาร์ชชิง

จากกระบวนการบาวนด์ารีมาร์ชชิงที่กล่าวถึงในหัวข้อ 2.6.1 สามารถสร้างสมการความสัมพันธ์ระหว่างสนามที่ระนาบ  $\Gamma_1^{(k)}$  กับสนามที่ระนาบ  $\Gamma_2^{(k)}$  ที่มีระยะห่างกัน  $2^n l_1$  ซึ่งมากพอที่จะแทนสนามกระเจิงที่เกิดขึ้นภายในท่อนำคลื่นที่ระนาบ  $\Gamma_2^{(k)}$  ด้วยโมดพื้นฐานเพียงโมดเดียว เนื่องจากสนามกระเจิงในโมดอันดับสูงจะมีการลดทอนเมื่อห่างออกจากบริเวณข้อต่อจนเหลือแอมพลิจูดน้อยยิ่งที่ระนาบ  $\Gamma_2^{(k)}$  เทียบกับโมดพื้นฐาน เราจะสร้างระบบสมการภายในบริเวณท่อนำคลื่น  $\Omega^{(k)}$  ได้ดังนี้

ที่พอร์ตที่หนึ่ง (พอร์ตที่มีการป้อนคลื่น)

$$\begin{bmatrix} [M_n]_{11} & [M_n]_{12} \\ [M_n]_{21} & [M_n]_{22} \end{bmatrix} \begin{bmatrix} \{H_1^{(1)}\} \\ \{H_2^{(1)}\} \end{bmatrix} = \begin{bmatrix} -\sum_{e=1}^{N^{(1)}} j\omega\epsilon_0 \int \{N^e\} \cdot (\hat{d}_z \times \hat{E}) d\Gamma_1^{(1)} \\ [P_1^{(1)}] \{H_2^{(1)}\} + \{Q_1^{(1)}\} e^{j\beta_1 d} \end{bmatrix} \quad (3.19)$$

ที่พอร์ตที่สอง (พอร์ตที่มีการแมตโหลด)

$$\begin{bmatrix} [M_n]_{11} & [M_n]_{12} \\ [M_n]_{21} & [M_n]_{22} \end{bmatrix} \begin{bmatrix} \{H_1^{(2)}\} \\ \{H_2^{(2)}\} \end{bmatrix} = \begin{bmatrix} \sum_e^{N^{(2)}} j\omega\epsilon_0 \int \{N^e\} \cdot (\hat{a}_z \times \hat{E}) d\Gamma_1^{(2)} \\ [P_1^{(2)}] \{H_2^{(2)}\} \end{bmatrix} \quad (3.20)$$

โดยที่  $d$  คือระยะห่างระหว่างระนาบใกล้ข้อต่อ  $\Gamma_1^{(k)}$  กับระนาบไกลข้อต่อ  $\Gamma_2^{(k)}$

จากสมการ (3.19) และ (3.20) เมื่อจัดพจน์การอินทิเกรตสนามบนระนาบใกล้ข้อต่อ  $\Gamma_1^{(1)}$  และ  $\Gamma_1^{(2)}$  ให้อยู่ในรูปสนามบนระนาบใกล้ข้อต่อ  $\{H_1^{(1)}\}$  และ  $\{H_1^{(2)}\}$  ตามลำดับ แล้วแทนในระบบสมการของบริเวณข้อต่อ  $\Omega^{(d)}$  ตามสมการ (3.10) จะได้ว่า

$$\begin{bmatrix} [A_{1,1}] + [\tilde{P}^{(1)}] & [A_{1,2}] & [A_{1,in}] \\ [A_{2,1}] & [A_{2,2}] + [\tilde{P}^{(2)}] & [A_{2,in}] \\ [A_{in,1}] & [A_{in,2}] & [A_{in,in}] \end{bmatrix} \begin{bmatrix} \{H_1\} \\ \{H_2\} \\ \{H_{in}\} \end{bmatrix} = \begin{bmatrix} -\{\tilde{Q}^{(1)}\} \\ \{0\} \\ \{0\} \end{bmatrix} \quad (3.21)$$

$$\begin{aligned} \text{โดยที่ } [\tilde{P}^{(k)}] &= [M_n]_{11} - [M_n]_{12} ([M_n]_{22} - [P_1^{(k)}])^{-1} [M_n]_{21} \quad k=1,2 \\ \{\tilde{Q}^{(1)}\} &= [M_n]_{12} ([M_n]_{22} - [P_1^{(1)}])^{-1} \{Q_1^{(1)}\} e^{j\beta_1 d} \end{aligned}$$

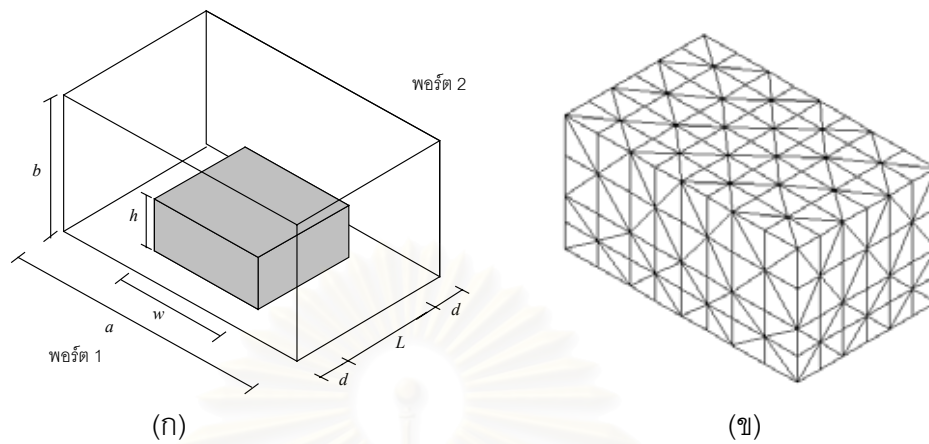
### 3.5 ผลการคำนวณในกรณีตัวอย่าง

หัวข้อนี้ผู้วิจัยจะกล่าวถึงผลการคำนวณในกรณีตัวอย่างของการวิเคราะห์ปัญหาการกระเจิงคลื่นในข้อต่อรูปร่างใด ๆ แบบสามมิติด้วยวิธีไฟไนต์อีลีเมนต์ร่วมกับวิธีโมดแมตซิง และวิธีไฟไนต์อีลีเมนต์ร่วมกับวิธีบาวนด์ารีมาร์ชซิง แล้วเปรียบเทียบผลการคำนวณทั้งสองวิธี

ผู้วิจัยได้เขียนโปรแกรมขึ้นโดยใช้ภาษาการคำนวณของโปรแกรมแมตแล็บ (MATLAB) 5.3 และประมวลผลบนเครื่องคอมพิวเตอร์ส่วนบุคคลที่ใช้หน่วยประมวลผลกลาง (CPU) เพนเทียม (Pentium IV) 2.0 กิกะเฮิร์ตซ์ และหน่วยความจำ (RAM) ขนาด 512 เมกะไบต์

พิจารณาท่อนำคลื่นที่มีแถบไดอิเล็กทริกภายในแบบสามมิติ ที่เชื่อมต่อระหว่างท่อนำคลื่นสี่เหลี่ยมสองท่อ ซึ่งมีความกว้าง  $a = 2\text{ cm}$  ความสูง  $b = 1\text{ cm}$  และมีแถบไดอิเล็กทริกภายในความกว้าง  $w = 0.888\text{ cm}$  ความสูง  $h = 0.399\text{ cm}$  ความยาว  $L = 0.8\text{ cm}$  ค่าสภาพยอม

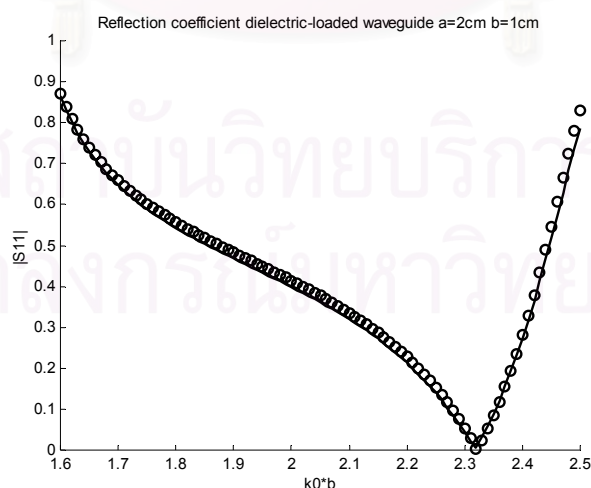
สัมพัทธ์  $\epsilon_r = 6.0$   $d = 0.2 \text{ cm}$  และมีการป้อนคลื่นในโหมดพื้นฐาน  $TE_{10}$  ที่พอร์ตที่หนึ่ง และแมตโหลดที่พอร์ตที่สอง ดังรูปที่ 3.5



รูปที่ 3.5 ท่อนำคลื่นที่มีแถบไดอิเล็กทริกภายในแบบสามมิติ

(ก) โครงสร้างท่อนำคลื่น (ข) รูปการแบ่งอีลีเมนต์

เมื่อเปรียบเทียบการวิเคราะห์ท่อนำคลื่นที่มีแถบไดอิเล็กทริกอยู่ภายในด้วยวิธีไฟไนต์อีลีเมนต์ร่วมกับวิธีโหมดแมตซิงที่พิจารณาโหมดในการคำนวณจำนวน 10 โหมด กับวิธีไฟไนต์อีลีเมนต์ร่วมกับวิธีบาวนด์ารีมาร์ชซิงที่ใช้จำนวนการวนรอบซ้ำของการสร้างระบบสมการในท่อนำคลื่นจำนวน 3 รอบ และมีการเลื่อนพอร์ตครั้งแรกเป็นระยะทาง  $l_1 = 0.2 \text{ cm}$  และมีการแบ่งอีลีเมนต์ภายในท่อนำคลื่นจำนวน 960 อีลีเมนต์ เราจะพบว่าทั้งสองวิธีให้ค่าสัมประสิทธิ์การสะท้อนสอดคล้องกัน ดังรูปที่ 3.6 และวิธีไฟไนต์อีลีเมนต์ร่วมกับวิธีบาวนด์ารีมาร์ชซิง จะใช้เวลาในการคำนวณที่เร็วกว่าวิธีไฟไนต์อีลีเมนต์ร่วมกับวิธีโหมดแมตซิง ดังตารางที่ 3.1 และตารางที่ 3.2

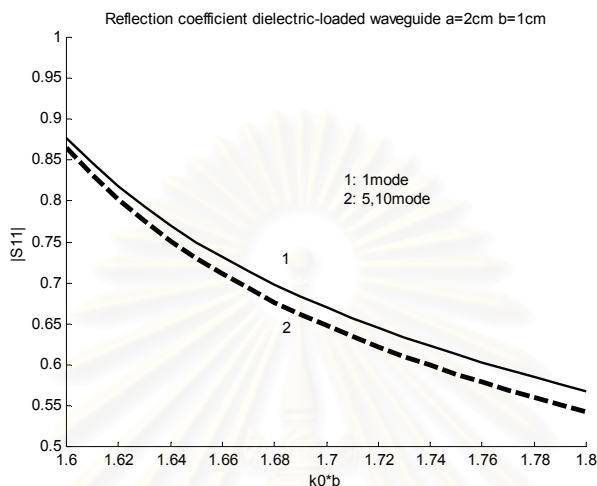


รูปที่ 3.6 สัมประสิทธิ์การสะท้อนของท่อนำคลื่น

ที่มีแถบไดอิเล็กทริกภายในแบบสามมิติ ที่มีค่าสภาพยอมสัมพัทธ์  $\epsilon_r = 6.0$

(- วิธีไฟไนต์อีลีเมนต์ร่วมกับวิธีโหมดแมตซิง o วิธีไฟไนต์อีลีเมนต์ร่วมกับวิธีบาวนด์ารีมาร์ชซิง)

เมื่อเปรียบเทียบการวิเคราะห์ท่อนำคลื่นที่มีแถบไดอิเล็กทริกภายในด้วยวิธีไฟไนต์อีลีเมนต์ร่วมกับวิธีโมดแมตซิง และเพิ่มจำนวนโมดในการคำนวณ  $M = 1, 5, 10$  โมด เราจะพบว่าค่าสัมประสิทธิ์การสะท้อนจะถูกลง เมื่อเพิ่มจำนวนโมดในการคำนวณ ดังรูปที่ 3.7 และเวลาที่ใช้ในการคำนวณจะเพิ่มขึ้นด้วยเมื่อจำนวนโมดที่แทนสนามกระเจิงเพิ่มขึ้น ดังตารางที่ 3.1

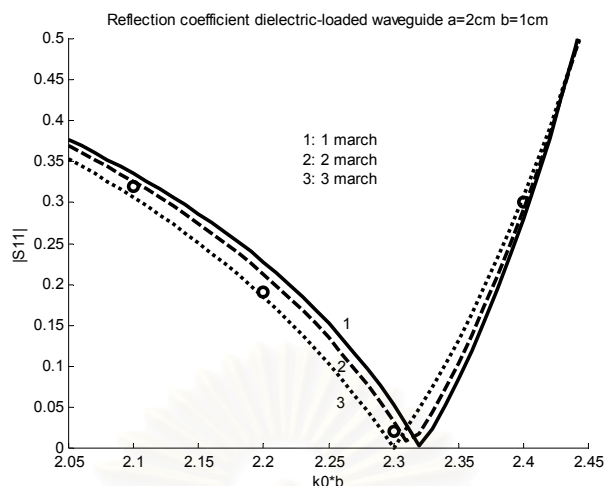


รูปที่ 3.7 สัมประสิทธิ์การสะท้อนของท่อนำคลื่นที่มีแถบไดอิเล็กทริกภายในแบบสามมิติ เมื่อเพิ่มจำนวนโมดในการคำนวณวิธีไฟไนต์อีลีเมนต์ร่วมกับวิธีโมดแมตซิง

ตารางที่ 3.1 การเปรียบเทียบเวลาที่ใช้ในการคำนวณด้วยวิธีไฟไนต์อีลีเมนต์ร่วมกับวิธีโมดแมตซิงของท่อนำคลื่นที่มีแถบไดอิเล็กทริกภายในแบบสามมิติ เมื่อพิจารณาจำนวนโมดในการคำนวณต่าง ๆ

จำนวนโมดในการคำนวณ	เวลาที่ใช้ในการคำนวณ(วินาที)
1	$1.5438 \times 10^4$ (4 ชม. 17 นาที)
5	$1.8088 \times 10^4$ (5 ชม. 1 นาที)
10	$1.812 \times 10^4$ (5 ชม. 20 นาที)

เมื่อเปรียบเทียบการวิเคราะห์ท่อนำคลื่นที่มีแถบไดอิเล็กทริกภายในด้วยวิธีไฟไนต์อีลีเมนต์ร่วมกับวิธีบาวนด์รีมาร์ชซิง และเพิ่มจำนวนการวนรอบซ้ำของการสร้างระบบสมการในท่อนำคลื่นจำนวน 1, 2, 3 รอบ และมีการเลื่อนพอร์ตครั้งแรกเป็นระยะทาง  $l_1 = 0.2 \text{ cm}$  และมีการแบ่งอีลีเมนต์ภายในท่อนำคลื่นจำนวน 960 อีลีเมนต์ เราจะพบว่าค่าสัมประสิทธิ์การสะท้อนจะถูกลง และสอดคล้องกับวิธีผลต่างสี่เหลี่ยมมากขึ้น เมื่อเพิ่มจำนวนการวนรอบซ้ำในการคำนวณ ดังรูปที่ 3.8 และเวลาที่ใช้ในการคำนวณจะเพิ่มขึ้นเมื่อเพิ่มจำนวนรอบการวนซ้ำ ดังตารางที่ 3.2



รูปที่ 3.8 สัมประสิทธิ์การสะท้อนของท่อนำคลื่นที่มีแถบไดอิเล็กทริกภายในแบบสามมิติ เมื่อเพิ่มจำนวนการวนรอบซ้ำในการคำนวณด้วยวิธีไฟไนต์อีลีเมนต์ร่วมกับวิธีบาวนด์ารีมาร์ชชิง

( - วิธีไฟไนต์อีลีเมนต์ร่วมกับวิธีบาวนด์ารีมาร์ชชิง o วิธีผลต่างสี่บเนื่อง

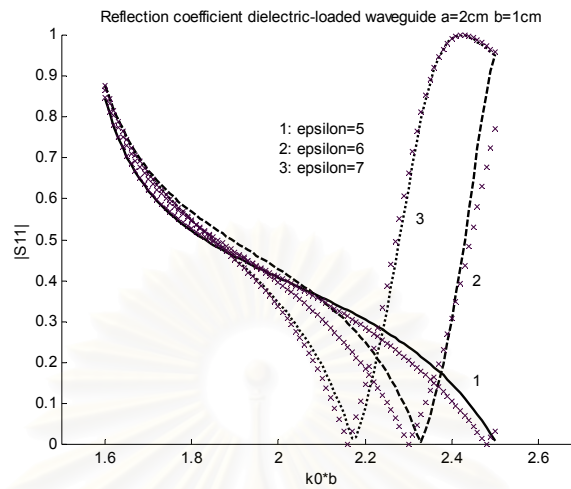
A.Cheist and H.L. Hartnagel (1987))

ตารางที่ 3.2 การเปรียบเทียบเวลาที่ใช้ในการคำนวณด้วยวิธีไฟไนต์อีลีเมนต์ร่วมกับวิธีบาวนด์ารีมาร์ชชิงของท่อนำคลื่นที่มีแถบไดอิเล็กทริกภายในแบบสามมิติ เมื่อพิจารณาจำนวนรอบการวนซ้ำในการคำนวณต่าง ๆ

จำนวนรอบการวนซ้ำ	เวลาที่ใช้ในการคำนวณ(วินาที)
1	$1.5924 \times 10^4$ (4 ชม. 25 นาที)
2	$1.6645 \times 10^4$ (4 ชม. 37 นาที)
3	$1.7042 \times 10^4$ (4 ชม. 44 นาที)

เมื่อเปรียบเทียบการวิเคราะห์ท่อนำคลื่นที่มีแถบไดอิเล็กทริกภายในด้วยวิธีไฟไนต์อีลีเมนต์ร่วมกับวิธีโมดแมตชิงที่พิจารณาโมดในการคำนวณจำนวน 5 โมด กับวิธีไฟไนต์อีลีเมนต์ร่วมกับวิธีบาวนด์ารีมาร์ชชิงที่ใช้จำนวนการวนรอบซ้ำของการสร้างระบบสมการในท่อนำคลื่นจำนวน 3 รอบ และมีการเลื่อนพอร์ตครั้งแรกเป็นระยะทาง  $l_1 = 0.2 \text{ cm}$  และมีการแบ่งอีลีเมนต์ภายในท่อนำคลื่นจำนวน 960 อีลีเมนต์ ที่มีค่าสภาพยอมสัมพัทธ์ต่าง ๆ  $\epsilon_r = 5, 6, 7$  เราจะพบว่าช่วงการใช้งานจะเลื่อนมายังช่วงความถี่ต่ำลง เมื่อเพิ่มค่าสภาพยอมมากขึ้น และวิธีทั้งสองให้ผลที่สอดคล้องกัน ดังรูปที่ 3.9 และกรณีที่มีแถบไดอิเล็กทริกที่มีค่าสภาพยอมสัมพัทธ์เป็นค่าเชิงซ้อนหรือเป็นวัสดุที่มีความสูญเสีย  $\epsilon_r = 6 - j$  เมื่อคำนวณด้วยวิธีไฟไนต์อีลีเมนต์ร่วมกับวิธีโมดแมตชิงที่

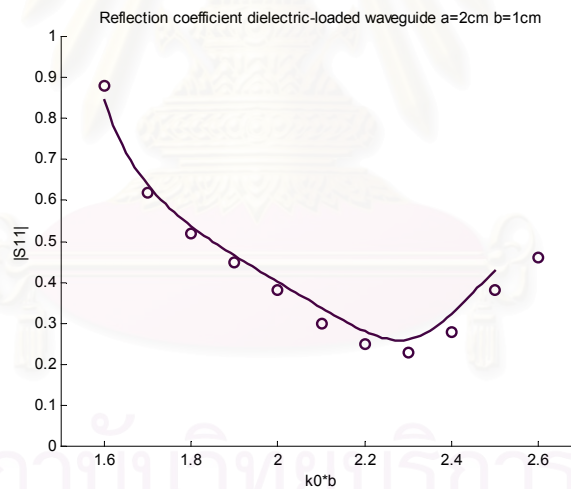
ใช้อีลีเมนต์ขอบจะหาค่าสัมประสิทธิ์การสะท้อนที่สอดคล้องกับวิธีไฟไนต์อีลีเมนต์ร่วมกับวิธีโหมดแมตซิงที่หาสนามจากศักย์แวกเตอร์ (A,V) ในการกำจัดผลเฉลยปลอมเพิ่มเติม ดังรูปที่ 3.10



รูปที่ 3.9 สัมประสิทธิ์การสะท้อนของท่อนำคลื่น

ที่มีแถบไดอิเล็กทริกภายในแบบสามมิติที่มีค่าสภาพยอมต่าง ๆ

(-วิธีไฟไนต์อีลีเมนต์ร่วมกับวิธีโหมดแมตซิง × วิธีไฟไนต์อีลีเมนต์ร่วมกับวิธีบาวนด์ารีมาร์ชซิง)



รูปที่ 3.10 สัมประสิทธิ์การสะท้อนของท่อนำคลื่นที่มีแถบไดอิเล็กทริกภายในแบบสามมิติ

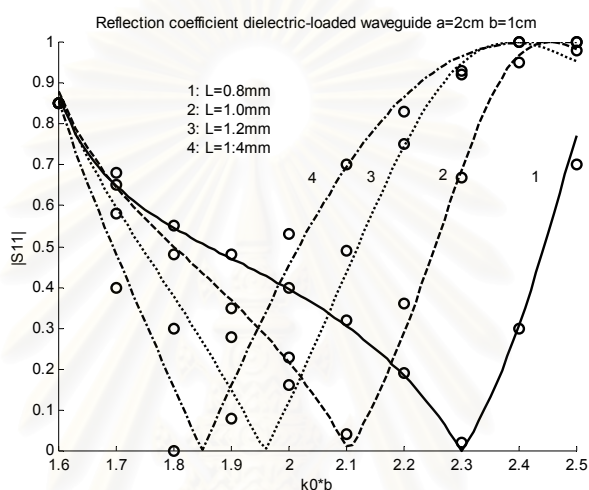
ที่มีค่าสภาพยอมสัมพันธ์เป็นค่าเชิงซ้อน  $\epsilon_r = 6 - j$

( - วิธีไฟไนต์อีลีเมนต์ร่วมกับวิธีโหมดแมตซิง o วิธีไฟไนต์อีลีเมนต์ที่ใช้ศักย์แวกเตอร์ (A,V)

R. Edlinger ,I. Bardi ,O. Biro,K. Preis and K.R. Rister (1992))



เมื่อเปรียบเทียบการวิเคราะห์ท่อนำคลื่นที่มีแถบไดอิเล็กทริกภายในด้วยวิธีไฟไนต์อีลีเมนต์ร่วมกับวิธีบาวนด์รีมาร์ชชิงที่ใช้จำนวนการวนรอบซ้ำของการสร้างระบบสมการในท่อนำคลื่นจำนวน 3 รอบ และมีการเลื่อนพอร์ตครั้งแรกเป็นระยะทาง  $l_1 = 0.2\text{ cm}$  และมีการแบ่งอีลีเมนต์ภายในท่อนำคลื่นจำนวน 960 อีลีเมนต์ ที่มีความยาวของแถบไดอิเล็กทริกต่าง ๆ  $L = 0.8, 1.0, 1.2, 1.4\text{ cm}$  เราจะพบว่าช่วงการใช้งานจะเลื่อนมายังช่วงความถี่ต่ำลง เมื่อเพิ่มความยาวของแถบไดอิเล็กทริกมากขึ้น และให้ค่าสัมประสิทธิ์การสะท้อนที่สอดคล้องกับวิธีผลต่างสี่เหลี่ยม ดังรูปที่ 3.11



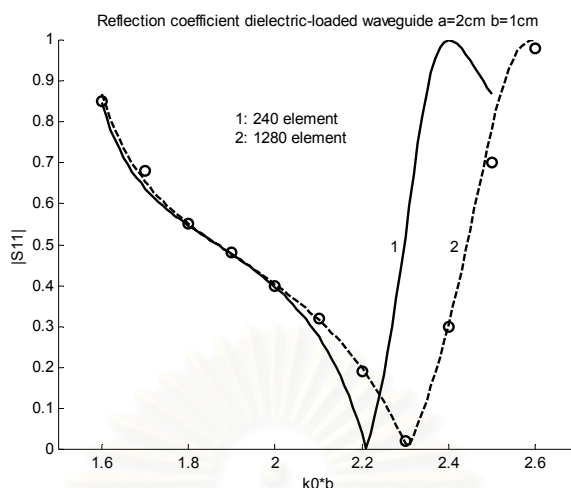
รูปที่ 3.11 สัมประสิทธิ์การสะท้อนของท่อนำคลื่นที่มีแถบไดอิเล็กทริกภายในแบบสามมิติ ที่มีความยาวของแถบไดอิเล็กทริกต่าง ๆ

(- วิธีไฟไนต์อีลีเมนต์ร่วมกับวิธีบาวนด์รีมาร์ชชิง o วิธีผลต่างสี่เหลี่ยม)

A.Cheist and H.L. Hartnagel (1987))

เมื่อเปรียบเทียบการวิเคราะห์ท่อนำคลื่นที่มีแถบไดอิเล็กทริกภายในด้วยวิธีไฟไนต์อีลีเมนต์ร่วมกับวิธีโมดแมตซ์ชิงที่พิจารณาโมดในการคำนวณจำนวน 5 โมด เมื่อเพิ่มจำนวนอีลีเมนต์ในการคำนวณ เราจะพบว่าค่าสัมประสิทธิ์การสะท้อนสอดคล้องกับวิธีผลต่างสี่เหลี่ยมมากขึ้น ดังรูปที่ 3.12





รูปที่ 3.12 สัมประสิทธิ์การสะท้อนของท่อนำคลื่นที่มีแถบไดอิเล็กทริกภายในแบบสามมิติ เมื่อเพิ่มจำนวนอีลีเมนต์ในการคำนวณด้วยวิธีไฟไนต์อีลีเมนต์ร่วมกับวิธีโมดแมตซิง (- วิธีไฟไนต์อีลีเมนต์ร่วมกับวิธีโมดแมตซิง o วิธีผลต่างสี่บเนื่อง

A.Cheist and H.L. Hartnagel (1987))

### 3.6 สรุป

บทนี้ได้นำเสนอวิธีวิเคราะห์ปัญหาการกระเจิงคลื่นแม่เหล็กไฟฟ้าภายในข้อต่อรูปว่างใด ๆ แบบสามมิติ ที่เชื่อมต่อกันระหว่างท่อนำคลื่นสี่เหลี่ยม ด้วยวิธีไฟไนต์อีลีเมนต์ร่วมกับวิธีโมดแมตซิง และวิธีไฟไนต์อีลีเมนต์ร่วมกับวิธีบาวนด์ารีมาร์ชซิง ซึ่งอยู่ในรูปแบบของสมการคลื่นแบบเวกเตอร์ของสนามแม่เหล็ก และทดสอบการคำนวณทั้งสองวิธีกับกรณีตัวอย่างท่อนำคลื่นที่มีแถบไดอิเล็กทริกภายในแบบสามมิติ เราจะพบว่าความเร็วในการคำนวณด้วยวิธีไฟไนต์อีลีเมนต์ร่วมกับวิธีบาวนด์ารีมาร์ชซิง ใช้เวลาในการคำนวณที่เร็วกว่าวิธีไฟไนต์อีลีเมนต์ร่วมกับวิธีโมดแมตซิง และพบว่าพารามิเตอร์การกระเจิงจะลู่เข้า เมื่อเพิ่มจำนวนโมดในการคำนวณด้วยวิธีไฟไนต์อีลีเมนต์ร่วมกับวิธีโมดแมตซิง และ พารามิเตอร์การกระเจิงจะลู่เข้า เมื่อเพิ่มจำนวนการวนรอบซ้ำในการคำนวณด้วยวิธีไฟไนต์อีลีเมนต์ร่วมกับวิธีบาวนด์ารีมาร์ชซิง

ผลการวิเคราะห์ท่อนำคลื่นที่มีแถบไดอิเล็กทริกภายในแบบสามมิติ แสดงให้เห็นว่าเมื่อเพิ่มค่าสภาพยอมของแถบไดอิเล็กทริก และความยาวของแถบไดอิเล็กทริก จะทำให้ช่วงความถี่ใช้งานเลื่อนมายังช่วงความถี่ต่ำ และผลการวิเคราะห์ให้ผลสอดคล้องกับวิธีผลต่างสี่บเนื่องและวิธีไฟไนต์อีลีเมนต์ที่ใช้ศักยภาพเวกเตอร์ตามรายงานที่เคยมีมา

## บทที่ 4

### สรุปผลการวิจัยและข้อเสนอแนะ

#### สรุปผลการวิจัย

งานวิทยานิพนธ์นี้ได้นำเสนอการวิเคราะห์การกระเจิงของคลื่นแม่เหล็กไฟฟ้าภายในข้อต่อรูปร่างใด ๆ แบบสองมิติระนาบ E และระนาบ H และข้อต่อรูปร่างใด ๆ แบบสามมิติที่เชื่อมต่อกันระหว่างท่อนำคลื่นสี่เหลี่ยมด้วยวิธีไฟไนต์อีลีเมนต์ร่วมกับวิธีบาวนด์ารีมาร์ชชิงเปรียบเทียบผลและเวลาในการคำนวณกับวิธีไฟไนต์อีลีเมนต์ร่วมกับวิธีโมดแมตซิง และแก้ปัญหาผลเฉลยปลอมที่เพิ่มขึ้นในการวิเคราะห์ข้อต่อรูปร่างใด ๆ แบบสามมิติด้วยการใช้อีลีเมนต์แบบขอบรูปทรงสามเหลี่ยมสี่หน้า

จากผลการคำนวณสามารถสรุปได้ว่า วิธีไฟไนต์อีลีเมนต์ร่วมกับวิธีบาวนด์ารีมาร์ชชิง ใช้เวลาในการคำนวณน้อยกว่าวิธีไฟไนต์อีลีเมนต์ร่วมกับวิธีโมดแมตซิงในการวิเคราะห์ข้อต่อรูปร่างใด ๆ แบบสองมิติระนาบ E และระนาบ H และข้อต่อรูปร่างใด ๆ แบบสามมิติ และเมื่อเพิ่มจำนวนโมดในการคำนวณด้วยวิธีไฟไนต์อีลีเมนต์ร่วมกับวิธีโมดแมตซิงเวลาที่ใช้ในการคำนวณจะเพิ่มขึ้น และผลเฉลยที่ได้จะถูกต้องมากขึ้น และเมื่อเพิ่มจำนวนการวนรอบซ้ำในการคำนวณด้วยวิธีไฟไนต์อีลีเมนต์ร่วมกับวิธีบาวนด์ารีมาร์ชชิง เวลาที่ใช้ในการคำนวณจะเพิ่มขึ้น และผลเฉลยที่ได้จะถูกต้องมากขึ้น

จากผลการวิเคราะห์ข้อต่อรูปร่างใด ๆ แบบสองมิติระนาบ E และระนาบ H แสดงให้เห็นว่า ข้อต่ออง  $90^\circ$  และข้อต่อตัวที จะมีค่าสัมประสิทธิ์การสะท้อนน้อยลง เมื่อเพิ่มระยะการบากมุมมากขึ้น และพบว่า ท่อนำคลื่นที่มีแผ่นกั้นภายใน และเสาโลหะภายในจะมีค่าสัมประสิทธิ์การสะท้อนมากขึ้น เมื่อเพิ่มขนาดของแผ่นกั้นและขนาดของเสาโลหะ และการวางแนวเสาโลหะในแนวเดียวกับสนามไฟฟ้าในโมดพื้นฐานของข้อต่อแบบระนาบ H จะได้ค่าสัมประสิทธิ์การสะท้อนที่มากกว่าการวางแนวเสาโลหะในแนวเดียวกับสนามแม่เหล็กในโมดพื้นฐานของข้อต่อแบบระนาบ E และพบว่าท่อนำคลื่นที่มีแถบไดอิเล็กทริกภายในจะมีช่วงความถี่ใช้งานเลื่อนมาที่ยังช่วงความถี่ต่ำ เมื่อเพิ่มค่าสภาพยอมของแถบไดอิเล็กทริก

จากผลการวิเคราะห์ข้อต่อรูปร่างใด ๆ แบบสามมิติที่เชื่อมต่อกันระหว่างท่อนำคลื่นสี่เหลี่ยม พบว่าท่อนำคลื่นที่มีแถบไดอิเล็กทริกภายในจะมีช่วงความถี่ใช้งานเลื่อนมาที่ยังช่วงความถี่ต่ำ เมื่อเพิ่มค่าสภาพยอมของแถบไดอิเล็กทริก และความยาวของแถบไดอิเล็กทริก

## ข้อเสนอแนะ

ในวิทยานิพนธ์นี้วิเคราะห์ปัญหาการกระจายคลื่นแม่เหล็กไฟฟ้าในข้อต่อรูปร่างใด ๆ แบบสองมิติระนาบ E และระนาบ H และข้อต่อรูปร่างใด ๆ แบบสามมิติ ที่เชื่อมระหว่างท่อนำคลื่นสี่เหลี่ยมเท่านั้น ในงานวิจัยต่อไปผู้วิจัยสามารถวิเคราะห์ข้อต่อรูปร่างใด ๆ ที่เชื่อมต่อระหว่างท่อนำคลื่นรูปร่างใด ๆ ด้วยการใช้อัลกอริทึมไฟไนต์อีลีเมนต์ในการหาแบบรูปสนามแม่เหล็กไฟฟ้า และค่าคงตัวการแพร่กระจายของท่อนำคลื่น โดยที่จำนวนอีลีเมนต์บนพอร์ตจะต้องมากพอ เพื่อให้ได้แบบรูปสนามแม่เหล็กไฟฟ้า และค่าคงตัวการแพร่กระจายที่ถูกต้อง ซึ่งมีผลให้จำนวนอีลีเมนต์ภายในข้อต่อมากขึ้นด้วย

นอกจากนี้วิทยานิพนธ์นี้ได้ใช้โปรแกรมสำเร็จรูปในการสร้างเมชของอีลีเมนต์รูปทรงสามเหลี่ยมสี่หน้าในข้อต่อแบบสามมิติ ซึ่งมีข้อจำกัดที่ไม่สามารถสร้างเมชของอีลีเมนต์ในข้อต่อแบบสามมิติที่มีโครงสร้างซับซ้อนได้ ในงานวิจัยต่อไปผู้วิจัยสามารถวิจัยและพัฒนาโปรแกรมให้สามารถสร้างเมชของอีลีเมนต์ในข้อต่อแบบสามมิติที่มีโครงสร้างซับซ้อนได้

สถาบันวิทยบริการ  
จุฬาลงกรณ์มหาวิทยาลัย

## รายการอ้างอิง

### ภาษาไทย

บัณฑิต โรจน์อารยานนท์. วิศวกรรมไมโครเวฟ. กรุงเทพมหานคร: สำนักพิมพ์จุฬาลงกรณ์มหาวิทยาลัย, 2536.

### ภาษาอังกฤษ

Alodulnour, J., and Marchildon, L., Boundary elements and analysis expansions applied to H-Plane waveguide junctions. IEEE Transactions on Microwave Theory and Technique 42, 6 (June 1994): 1038-1045.

Bi, Z.Q., Wu, K.L., and Litva, J., Application of the FD-TD method to the analysis of H-plane waveguide discontinuities. IEEE Transactions on Microwave Theory and Technique 26, 22 (October 1990): 1897-1898.

Chen, R.S., Yung, E.K.N., Xie, Z.M., and Han, Y.F., Three dimension edge FEM analysis of inhomogenous chiral medium loaded waveguide discontinuity. IEEE Transaction on Microwave Theory and Technique (1999): 310-313.

Cheon, C., Wu, K.L., and Litva, J., Application of the FD-TD method to the analysis of H-plane Waveguide discontinuities. IEEE Transactions on Microwave Theory and Technique 26, 22 (October 1990): 1897-1898.

David, M.K., Basic theory of waveguide junctions and introductory microwave network analysis. Volumn 13. London:Pregamon Press,1967.

David, M.P., Microwave Engineering. John Wiley&Sons,N.Y.,1998.

Edlinger, R.D., Bardi, I., Biro, O., Preis, K., and Richter, R., A deterministic approach to the Analysis of three-dimensional waveguide configuration by finite elements and mode matching. IEEE Transactions on Microwave Theory and Technique 28, 2 (March 1992): 1235-1238.

Foo, S.L., and Selvester, P.P., Boundary-marching method for discontinuity analysis in waveguide of arbitrary cross section. IEEE Transactions on Microwave Theory and Technique 40, 10 (October 1992): 1889-1893.

- Foo, S.L., and Selvester, P.P., Finite element analysis of inductive strips in unilateral finlines. IEEE Transactions on Microwave Theory and Technique 41, 2 (February 1993): 298-304.
- Haffa, S., Hollmann, D., and Wiesbeck, W.N., The finite difference method for S-parameter calculation of arbitrary three-dimensional structure. IEEE Transactions on Microwave Theory and Technique 40, 8 (August 1992): 1602-1610.
- Hirayama, K., Alam, Md.S., Hayashi, Y., and Koshiba, M., Vector finite element method with mixed-interpolation-type triangular-prism element for waveguide. IEEE Transaction on Microwave Theory and Technique 42, 12 (December 1994): 2311-2315.
- Ise, K., and Koshiba, M., Numerical analysis of H-plane waveguide junctions by combination of finite and boundary elements. IEEE Transactions on Microwave Theory and Technique 36, 9 (September 1988): 1343-1351.
- Ise, K., Inoue, K., and Koshiba, M., Three dimensional finite-element solution of dielectric scattering obstacles in a rectangular waveguide. IEEE Transaction on Microwave Theory and Technique 38, 9 (September 1990): 1352-1359.
- Ise, K., Inoue, K., and Koshiba, M., Three dimensional finite-element method with edge element for electromagnetic waveguide discontinuities. IEEE Transaction on Microwave Theory and Technique 39, 8 (August 1991): 1289-1295.
- Kanellopoulos, V.N., and Webb, J.P., A complete E-plane analysis of waveguide junctions using the finite element method. IEEE Transaction on Microwave Theory and Technique 38, 3 (March 1990): 290-295.
- Koshiba, M., and Hirayama, K., Application of finite-element method to arbitrarily shaped discontinuities slab waveguide. IEEE Transaction on Microwave Theory and Technique 135, 1 (February 1988): 8-12.
- Koshiba, M., and Suzuki, M., Finite-element analysis of H-plane waveguide junction with arbitrarily shaped ferrite post. IEEE Transaction on Microwave Theory and Technique 34, 1 (January 1986): 103-109.

- Krupezevic, D.V., Brankovic, V.J., and Arndt, F., The wave-equation FD-TD method for the efficient eigenvalue analysis and S-matrix computation of waveguide structures. IEEE Transaction on Microwave Theory and Technique 41, 12 (December 1993): 2109-2115.
- Lee, H.B., Jung, H.K., and Hahn, S.Y., Shape optimization of H-plane waveguide Tee junctions waveguide discontinuities. IEEE Transaction on Microwave Theory and Technique 26, 22 (October 1990): 1897-1898.
- Moglie, F., Rozzi, J., and Marozzi, Pio., Wideband matching of waveguide discontinuities by FDTD methods. IEEE Transactions on Microwave Theory and Technique 43, 11 (November 1994): 2093-2098.
- Navarro, E.A., Gallart, L., Cruz, J.L., and Such, V., Accurate absorbing boundary conditions for the FDTD analysis of H-plane waveguide discontinuities. IEEE Transactions on Antennas and Propagation 141, 1 (February 1994): 59-61.
- Navarro, E.A., Such, V., Gimeno, B., and Cruz, J.L., Analysis of H-plane waveguide discontinuities with an improved finite-difference time domain algorithm. IEEE Transactions on Microwave Theory and Technique 139, 1 (April 1992): 183-185.
- Park, J., and Nam, S., Analysis of arbitrary shaped cross-sectional discontinuity in rectangular waveguide using FEM-BIM with triangular prism elements. IEEE Transactions on Microwave Theory and Technique (1997): 672-675.
- Reiter, J.M., and Arndt, F., A boundary contour mode-matching method for the rigorous analysis of cascaded arbitrarily shaped H-plane discontinuities in rectangular waveguides. IEEE Transactions on Microwave Theory and Technique 2, 10 (October 1992): 405-403.
- Tanaka, K., New boundary integral equations for CAD of dielectric waveguide discontinuities. IEEE Transactions on Microwave Theory and Technique (1991): 870-873.
- Tsuji, Y., and Koshiba, M., Finite element method using port truncation by perfectly matched layer boundary conditions for optical waveguide discontinuity problems. Journal of Lightwave Technology 20, 3 (March 2002): 463-468.



- Yong, W., and Yaogen, D., Boundary element analysis of rectangular waveguide discontinuities. IEEE Transactions on Microwave Theory and Technique (1999): 138-141.
- Wong, M.F., Picon, O., and Hanna, V.F., Elimination of nonphysical finite element solutions for Maxwell equation: application three dimension waveguide junction. IEEE Transactions on Microwave Theory and Technique (1992): 2138-2141.
- Wong, M.F., Picon, O., and Hanna, V.F., Three dimensional finite element analysis of N-port waveguide junctions using edge-elements. IEEE Transactions on Microwave Theory and Technique (1992): 417-420.
- Wu, K.L., Delisle, C.Y., and Lecours, M., Waveguide discontinuity analysis with a coupled finite-boundary element method. IEEE Transactions on Microwave Theory and Technique 37, 6 (June 1989): 993-998.
- Wu, R.B., A wideband waveguide transition design with modified dielectric transformer using edge-based tetrahedral finite-element analysis. IEEE Transaction on Microwave Theory and Technique 44, 7 (July 1996): 1024-1031.
- Yioultsis, T.V., and Tsiboukis, T.D., Vector finite element analysis of waveguide discontinuities involving anisotropic media. IEEE Transactions on Magnetics 31, 3 (May 1995): 1550-1533.
- Rubio, J., Arroyo, J., and Zapata, J., Analysis of passive microwave circuits by using a hybrid 2-D and 3-D finite-element mode-matching method. IEEE Transaction on Microwave Theory and Technique 47, 9 (September 1999): 1746-1749.



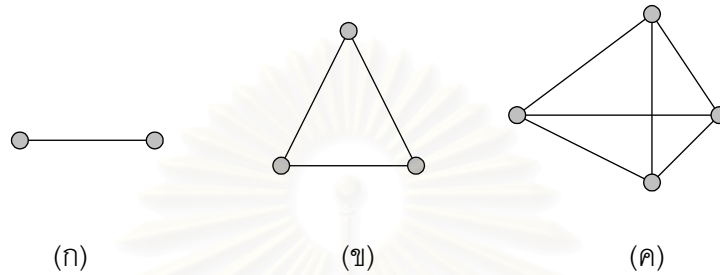
ภาคผนวก

สถาบันวิทยบริการ  
จุฬาลงกรณ์มหาวิทยาลัย

## ภาคผนวก ก

### อินทิกรัลของฟังก์ชันรูปร่าง

ภาคผนวกนี้จะกล่าวถึงอินทิกรัลของฟังก์ชันรูปร่างของอีลีเมนต์หนึ่งมิติ อีลีเมนต์สองมิติรูปสามเหลี่ยม และอีลีเมนต์สามมิติรูปทรงสามเหลี่ยมสี่หน้า ดังรูปที่ ก.1



รูปที่ ก.1 อีลีเมนต์รูปร่างต่างๆ

(ก) อีลีเมนต์หนึ่งมิติ (ข) อีลีเมนต์สามเหลี่ยม (ค) อีลีเมนต์ทรงสามเหลี่ยมสี่หน้า

#### ก.1 อีลีเมนต์หนึ่งมิติ

ฟังก์ชันรูปร่างแบบโนดของอีลีเมนต์หนึ่งมิติสามารถหาได้ตามสมการดังนี้

$$\{N\}^T = \{N_1 \quad N_2\} \quad (ก.1)$$

โดยที่  $N_1 = \frac{x_2 - x}{x_2 - x_1}$

$$N_2 = \frac{x - x_1}{x_2 - x_1}$$

ผลอินทิกรัลของฟังก์ชันรูปร่างแบบโนดของอีลีเมนต์หนึ่งมิติมีดังนี้

$$\int \{N\}\{N\}^T dx = \frac{l}{6} \begin{bmatrix} 2 & 1 \\ 1 & 2 \end{bmatrix} \quad (ก.2)$$

## ก.2 อีลีเมนต์สองมิติรูปสามเหลี่ยม

ฟังก์ชันรูปร่างแบบโนดของอีลีเมนต์สามเหลี่ยมสามารถหาได้ตามสมการดังนี้

$$\{N\}^T = \{N_1 \quad N_2 \quad N_3\} \quad (\text{ก.3})$$

โดยที่  $N_i = \frac{1}{2A_e}(a_i + b_i x + c_i y) \quad i = 1, 2, 3$

$A_e$  คือพื้นที่ของสามเหลี่ยมมีค่าตามสมการดังนี้

$$A_e = \frac{1}{2} \begin{vmatrix} x_1 & y_1 & z_1 \\ x_2 & y_2 & z_2 \\ x_3 & y_3 & z_3 \end{vmatrix}$$

$$a_i = x_j y_k - x_k y_j$$

$$b_i = y_j - y_k$$

$$c_i = x_k - x_j$$

$(i, j, k)$  เรียงลำดับในลักษณะมอดุโล 3

ฟังก์ชันรูปร่างแบบขอบของอีลีเมนต์สามเหลี่ยมสามารถหาได้ตามสมการดังนี้

$$\{N\}^r = \{N_1^r \quad N_2^r \quad N_3^r\} \quad (\text{ก.4})$$

โดยที่  $N_m^r = l_m (N_i \nabla N_j - N_j \nabla N_i) \quad m = 1, 2, 3$

$l_m$  คือความยาวด้านขอบของสามเหลี่ยม มีค่าตามสมการดังนี้

$$l_m = \begin{cases} \sqrt{(x_i - x_j)^2 + (y_i - y_j)^2} & \text{if } (y_j > y_i) \text{ or } ((y_i = y_j) \text{ and } (x_j > x_i)) \\ -\sqrt{(x_i - x_j)^2 + (y_i - y_j)^2} & \text{other} \end{cases}$$

$m$  กำหนดขึ้นตามตารางที่ ก.1

ตารางที่ ก.1 การกำหนดขอบของอีลีเมนต์สามเหลี่ยมแบบขอบ

$m$	$i$	$j$
1	1	2
2	2	3
3	1	3

เมื่อแทนสมการ (ก.3) ลงในสมการ (ก.4) จะได้ว่า

$$\overset{\rho}{N}_m = \frac{l_m}{4A_e^2} [(A_m + B_m y)\overset{\rho}{a}_x + (C_m + D_m x)\overset{\rho}{a}_y] \quad (\text{ก.5})$$

โดยที่

$$\begin{aligned} A_m &= a_i b_j - a_j b_i \\ B_m &= c_i b_j - c_j b_i \\ C_m &= a_i c_j - a_j c_i \\ D_m &= -B_m \end{aligned}$$

ผลอินทิกรัลของฟังก์ชันรูปร่างแบบโนดและแบบขอบของอีลีเมนต์สามเหลี่ยมมีดังนี้

$$\int N_1^k N_2^l N_3^m dx dy = \frac{l!m!n!}{(l+m+n+2)!} 2A_e \quad (\text{ก.6})$$

$$\int \frac{\partial N_m}{\partial x} \frac{\partial N_n}{\partial x} dx dy = \frac{b_m b_n}{4A_e} \quad (\text{ก.7})$$

$$\int \frac{\partial N_m}{\partial y} \frac{\partial N_n}{\partial y} dx dy = \frac{c_m c_n}{4A_e} \quad (\text{ก.8})$$

$$\int \overset{\rho}{N}_m \cdot \nabla N_n dx dy = \frac{l_m}{8A_e^2} (I_6 + I_7 + I_8) \quad (\text{ก.9})$$

$$\int \overset{\rho}{N}_m \cdot \overset{\rho}{N}_n dx dy = \frac{l_m l_n}{16} (I_1 + I_2 + I_3 + I_4 + I_5) \quad (\text{ก.10})$$

$$\int (\nabla \times \overset{\rho}{N}_m) \cdot (\nabla \times \overset{\rho}{N}_n) dx dy = \frac{l_m l_n}{4A_e^2} D_m D_n \quad (\text{ก.11})$$

โดยที่

$$\begin{aligned} I_1 &= A_m A_n + C_m C_n \\ I_2 &= (D_m C_n + C_m D_n) \bar{x} \\ I_3 &= (B_m A_n + A_m B_n) \bar{y} \\ I_4 &= B_m B_n \bar{y}' \\ I_5 &= D_m D_n \bar{x}' \\ I_6 &= A_m b_n + C_m c_n \\ I_7 &= B_m b_n \bar{y} \\ I_8 &= D_m c_n \bar{x} \\ \bar{x} &= \frac{x_1 + x_2 + x_3}{3} \end{aligned}$$

$$\bar{x}' = \frac{(\sum_{i=1}^3 x_i^2 + 9\bar{x}^2)}{12}$$

### ก.3 อีลีเมนต์สามมิติรูปทรงสามเหลี่ยมสี่หน้า

ฟังก์ชันรูปร่างแบบโนดของอีลีเมนต์รูปทรงสามเหลี่ยมสี่หน้าสามารถหาได้ตามสมการดังนี้

$$\{N\}^T = \{N_1 \quad N_2 \quad N_3 \quad N_4\} \quad (\text{ก.12})$$

โดยที่  $N_k = \frac{1}{6V_e}(a_k + b_k x + c_k y + d_k z) \quad i = 1,2,3$

$V_e$  คือปริมาตรของรูปทรงสามเหลี่ยมสี่หน้ามีค่าตามสมการดังนี้

$$V_e = \frac{1}{6} \begin{vmatrix} 1 & x_1 & y_1 & z_1 \\ 1 & x_2 & y_2 & z_2 \\ 1 & x_3 & y_3 & z_3 \\ 1 & x_4 & y_4 & z_4 \end{vmatrix}$$

$$a_k = \varepsilon_k [x_l(y_m z_n - y_n z_m) + x_m(y_n z_l - y_l z_n) + x_n(y_l z_m - y_m z_l)]$$

$$b_k = \varepsilon_k [y_l(z_n - z_m) + y_m(z_l - z_n) + y_n(z_m - z_l)]$$

$$c_k = \varepsilon_k [z_l(x_n - x_m) + z_m(x_l - x_n) + z_n(x_m - x_l)]$$

$$d_k = \varepsilon_k [x_l(y_n - y_m) + x_m(y_l - y_n) + x_n(y_m - y_l)]$$

$$\varepsilon_k = \begin{cases} 1 & k = 1,3 \\ -1 & k = 2,4 \end{cases}$$

$(k, l, m, n)$  เรียงลำดับในลักษณะมอดุโล 4

ฟังก์ชันรูปร่างแบบขอบของอีลีเมนต์สามเหลี่ยมสามารถหาได้ตามสมการดังนี้

$$\{N\}^T = \{N_1^p \quad N_2^p \quad N_3^p \quad N_4^p \quad N_5^p \quad N_6^p\} \quad (\text{ก.13})$$

โดยที่  $N_m^p = l_m(N_i \nabla N_j - N_j \nabla N_i) \quad m = 1,2,3,4,5,6$

$l_m$  คือความยาวด้านขอบของรูปทรงสามเหลี่ยมสี่หน้า มีค่าตามสมการดังนี้

$$l_m = \begin{cases} \sqrt{(x_i - x_j)^2 + (y_i - y_j)^2} & \text{if } (z_j > z_i) \text{ or } ((z_i = z_j) \text{ and } (y_j > y_i)) \\ & \text{or } ((z_i = z_j) \text{ and } (y_i = y_j) \text{ and } (x_i = x_j) \text{ and } (x_j > x_i)) \\ -\sqrt{(x_i - x_j)^2 + (y_i - y_j)^2} & \text{other} \end{cases}$$

$m$  กำหนดขึ้นตามตารางที่ ก.2



เมื่อแทนสมการ (ก.12) ลงในสมการ (ก.13) จะได้ว่า

$$\dot{N}_m = \frac{l_m}{36V_e^2} [(A_m + B_m y + C_m z) \dot{a}_x + (D_m + E_m x + F_m z) \dot{a}_y + (G_m + H_m x + I_m y) \dot{a}_z] \quad (\text{ก.14})$$

โดยที่

$$\begin{aligned} A_m &= a_i b_j - a_j b_i \\ B_m &= c_i b_j - c_j b_i \\ C_m &= d_i b_j - d_j b_i \\ D_m &= a_i c_j - a_j c_i \\ E_m &= -B_m \\ F_m &= d_i c_j - d_j c_i \\ G_m &= a_i d_j - a_j d_i \\ H_m &= -C_m \\ I_m &= -F_m \end{aligned}$$

ตารางที่ ก.2 การกำหนดขอบของอีลีเมนต์รูปทรงสามเหลี่ยมสี่หน้าแบบขอบ

$m$	$i$	$j$
1	1	2
2	2	3
3	1	3
4	1	4
5	2	4
6	3	4

ผลอินทิกรัลของฟังก์ชันรูปร่างแบบโนดและแบบขอบของอีลีเมนต์รูปทรงสามเหลี่ยมสี่หน้ามีดังนี้

$$\int N_1^k N_2^l N_3^m N_4^n dx dy dz = 6V_e \frac{k!l!m!n!}{(k+l+m+n+3)!} \quad (\text{ก.15})$$

$$\int \dot{N}_m \cdot \dot{N}_n dx dy dz = \frac{l_m l_n}{1296V_e^3} \sum_{k=1}^{10} P_k \quad (\text{ก.16})$$

$$\int (\nabla \times \dot{N}_m) \cdot (\nabla \times \dot{N}_n) dx dy dz = \frac{l_m l_n}{324V_e^3} (I_m I_n + C_m C_n + E_m E_n) \quad (\text{ก.17})$$

โดยที่  $P_1 = A_m A_n + D_m D_n + G_m G_n$

$$P_2 = (D_m E_n + E_m D_n + G_m H_n + H_m G_n) \bar{x}_{tet}$$

$$P_3 = (A_m B_n + B_m A_n + G_m I_n + I_m G_n) \bar{y}_{tet}$$

$$P_4 = (A_m C_n + C_m A_n + D_m F_n + F_m D_n) \bar{z}_{tet}$$

$$P_5 = (H_m I_n + I_m H_n) xy_{tet}$$

$$P_6 = (B_m C_n + C_m B_n) yz_{tet}$$

$$P_7 = (E_m F_n + F_m E_n) xz_{tet}$$

$$P_8 = (E_m E_n + H_m H_n) x_{tet}^2$$

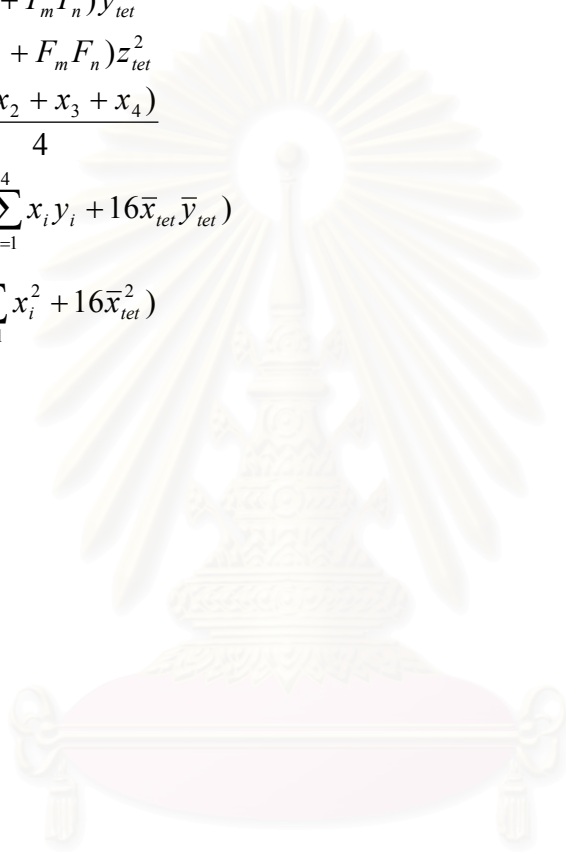
$$P_9 = (B_m B_n + I_m I_n) y_{tet}^2$$

$$P_{10} = (C_m C_n + F_m F_n) z_{tet}^2$$

$$\bar{x}_{tet} = \frac{(x_1 + x_2 + x_3 + x_4)}{4}$$

$$xy_{tet} = \frac{1}{20} \left( \sum_{i=1}^4 x_i y_i + 16 \bar{x}_{tet} \bar{y}_{tet} \right)$$

$$x_{tet}^2 = \frac{1}{20} \left( \sum_{i=1}^4 x_i^2 + 16 \bar{x}_{tet}^2 \right)$$



สถาบันวิทยบริการ  
จุฬาลงกรณ์มหาวิทยาลัย

## ภาคผนวก ข

### พิสูจน์การลดทอนของสนามในโหมดอันดับสูง ด้วยวิธีไฟไนต์อีลีเมนต์ร่วมกับวิธีบาวนด์ารีมาร์ชชิง

ภาคผนวกนี้จะแสดงให้เห็นว่าสนามในโหมดอันดับสูงจะมีการลดทอนในท่อนำคลื่นสี่เหลี่ยมเมื่อเคลื่อนที่ห่างออกจากข้อต่อมากขึ้น ด้วยวิธีไฟไนต์อีลีเมนต์ร่วมกับวิธีบาวนด์ารีมาร์ชชิงโดยใช้สมการของการวิเคราะห์ข้อต่อระนาบ E

กำหนดให้บริเวณ  $\Omega$  เป็นบริเวณของท่อนำคลื่นตามแนวระนาบสนามไฟฟ้าของโหมดพื้นฐาน  $TE_{10}$  และมีผิวปิดล้อมบริเวณท่อนำคลื่นที่ประกอบด้วย  $\Gamma_0$  เป็นผนังตัวนำไฟฟ้าสมบูรณ์  $\Gamma_1, \Gamma_2$  เป็นระนาบอ้างอิงที่พอร์ตหนึ่งและพอร์ตสองของท่อนำคลื่นสี่เหลี่ยมที่มีขนาดความกว้าง  $a$  และความสูง  $b$  ดังรูปที่ ข.1

เมื่อป้อนสนามในโหมดต่างๆจำนวน  $M$  โหมด ที่ระนาบ  $\Gamma_1$  เราแทนสนามบนระนาบ  $\Gamma_1$  และ  $\Gamma_2$  ในรูปการแผ่ขยายโหมด โดยสมมติให้สนามที่เกิดขึ้นอยู่ในรูปผลบวกของสนามจำนวน  $M$  โหมดดังนี้

ระนาบ  $\Gamma_1$  (พอร์ตป้อนสนาม)

$$H_x^{(1)} = \sum_{m=0}^{M-1} \hat{h}_m e^{-j\beta_m z} \quad (ข.1)$$

ระนาบ  $\Gamma_2$

$$H_x^{(2)} = \sum_{m=0}^{M-1} T_m \hat{h}_m e^{-j\beta_m z} \quad (ข.2)$$

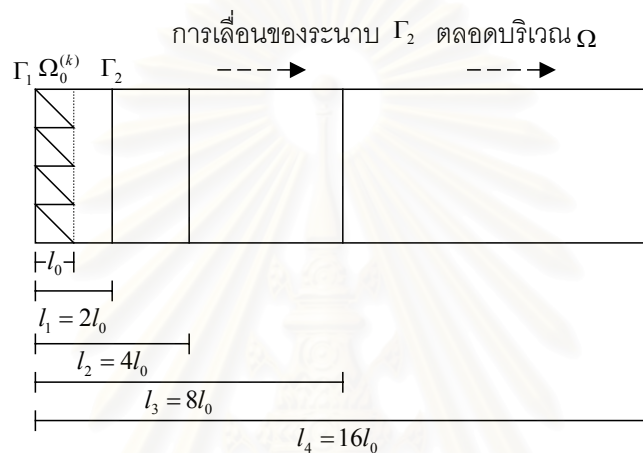
โดยที่  $T_m$  คือสัมประสิทธิ์การส่งผ่านโหมด  $m$

$\hat{h}_m$  คือแบบรูปสนามแม่เหล็กนอร์แมลไลซ์ตามสมการ (2.35)

ตามกระบวนการมาร์ชชิง จะเริ่มจากการให้ระนาบ  $\Gamma_1$  และ  $\Gamma_2$  อยู่ที่ตำแหน่งเดียวกัน เมื่อเลื่อนระนาบ  $\Gamma_2$  ออกจากระนาบ  $\Gamma_1$  แล้วใช้วิธีไฟไนต์อีลีเมนต์ แบ่งบริเวณ  $\Omega_0$  ออกเป็นอีลีเมนต์รูปสามเหลี่ยม จำนวน  $N$  อีลีเมนต์ ที่ประกอบโนดบนจุดยอดของสามเหลี่ยมทั้งหมด  $N_n$  โนด และโนดบนพอร์ต  $k$  จำนวน  $N_p^{(k)}$  โนด  $k = 1, 2$  ดังรูปที่ ข.1 จากนั้นประมาณฟังก์ชันสนามแม่เหล็ก  $H_x$  ภายในอีลีเมนต์ด้วยผลบวกของผลคูณระหว่างฟังก์ชันรูปร่างแบบโนด

กับพารามิเตอร์ไม่ทราบค่า ที่เป็นค่าของสนามแม่เหล็กไฟฟ้าที่โนดบนจุดยอดของสามเหลี่ยม ดังรูปที่ 2.4 ตามวิธีไฟไนต์อีลีเมนต์และกระบวนการบาวนด์รีมาร์ชชิง จะได้ชุดสมการความสัมพันธ์ระหว่างสนามบนระนาบ  $\Gamma_1$  กับระนาบ  $\Gamma_2$  ดังนี้

$$\begin{bmatrix} [M_n]_{11} & [M_n]_{12} \\ [M_n]_{21} & [M_n]_{22} \end{bmatrix} \begin{bmatrix} \{H_1\} \\ \{H_2\} \end{bmatrix} = \begin{bmatrix} -\sum_{m=0}^{M-1} \sum_{e=1}^N j\beta_m \int \{N_i^e\} \frac{\partial H_x}{\partial z} d\Gamma^{(1)} \\ \sum_{m=0}^{M-1} \sum_{e=1}^N j\beta_m \int \{N_i^e\} \frac{\partial H_x}{\partial z} d\Gamma^{(2)} \end{bmatrix} \quad (ข.3)$$



รูปที่ ข.1 ท่อนำคลื่นที่มีการป้อนสนามในโหมดต่างๆ และกระบวนการบาวนด์รีมาร์ชชิง

เมื่อแทนอนุพันธ์  $\frac{\partial}{\partial z}$  ของสมการ (ข.1)-(ข.2) แล้วแทนในสมการ (ข.3) จะได้ว่า

$$\begin{bmatrix} [M_n]_{11} & [M_n]_{12} \\ [M_n]_{21} & [M_n]_{22} \end{bmatrix} \begin{bmatrix} \{H_1\} \\ \{H_2\} \end{bmatrix} = \begin{bmatrix} \sum_{m=0}^{M-1} \sum_{e=1}^N j\beta_m \int \{N_i^e\} \hat{h}_m d\Gamma^{(1)} \\ -\sum_{m=0}^{M-1} \sum_{e=1}^N j\beta_m \int \{N_i^e\} \hat{h}_m d\Gamma^{(2)} T_m \end{bmatrix} \quad (ข.4)$$

จากชุดสมการ (ข.4) พบว่ามีพารามิเตอร์ไม่ทราบค่าจำนวน  $2N_p + M$  ตัว ประกอบด้วย  $\{H_x\}$ ,  $\{R_m\}$ ,  $\{T_m\}$  ในขณะที่มีสมการเพียง  $2N_p$  สมการ ดังนั้นจึงต้องหาชุดสมการเพิ่มอีกจำนวน  $M$  สมการ ซึ่งหาได้จากการคูณสมการ (ข.1)-(ข.2) ด้วยฟังก์ชัน  $\cos(m\pi y/b)$  โดยที่  $m = 0, 1, 2, \dots, M-1$  แล้วอินทิเกรตเชิงเส้นตามแนว  $\Gamma^{(k)}$  จะได้ว่า

$$T_m = \frac{V_m}{bL_m} \int \cos\left(\frac{m\pi y}{b}\right) H_x d\Gamma^{(2)} \quad (ข.5)$$

และประมาณฟังก์ชัน  $\cos(m\pi y/b)$  ด้วยผลบวกของผลคูณของฟังก์ชันรูปร่างหนึ่งมิติจำนวน  $N$  อีลีเมนต์ที่ประกอบด้วยโนดบนพอร์ต  $k$  จำนวน  $N_p$  โหนดดังนี้

$$\cos\left(\frac{m\pi y}{b}\right) \approx \sum_{e=1}^N \{N_e\}^T \{h_m\} \quad i = 1,2 \quad (ข.6)$$

$$\text{โดยที่ } h_{mi} = \cos\left(\frac{m\pi y_i}{b}\right) \quad i = 1,2$$

เมื่อแทนสมการ (ข.5)-(ข.6) ลงในสมการ (ข.4) จะได้ชุดสมการดังนี้

$$\begin{bmatrix} [M_{11}] & [M_{12}] \\ [M_{21}] & [M_{22}] - [P] \end{bmatrix} \begin{bmatrix} \{H_1\} \\ \{H_2\} \end{bmatrix} = \begin{bmatrix} \{Q\} \\ \{0\} \\ \{0\} \end{bmatrix} \quad (ข.7)$$

โดยที่  $[P]$  คือเมทริกซ์ขนาด  $N_p \times N_p$  และ  $\{Q\}$  คือเมทริกซ์ขนาด  $N_p \times 1$

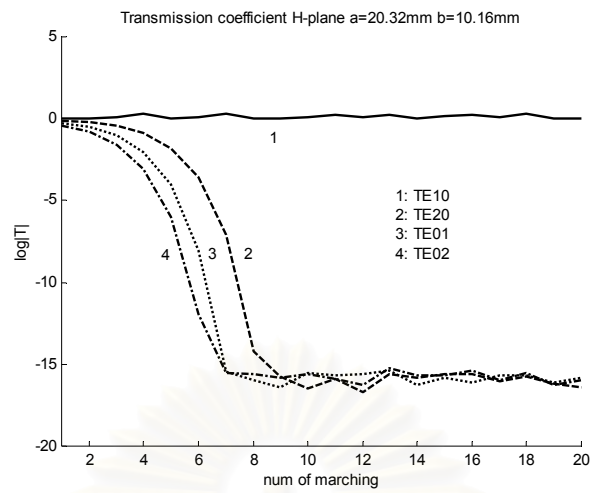
$$[P] = \sum_{m=0}^{M-1} [P_m]$$

$$[P_m] = \sum_{e=1}^N \frac{j\beta_m v_m}{b} \left[ \int \{N_i^e\} \{N_j^e\}^T d\Gamma^{(2)} \right] \{h_m\} \{h_m\}^T \left[ \int \{N_i^e\} \{N_j^e\}^T d\Gamma^{(2)} \right]$$

$$\{Q\} = \sum_{m=1}^{M-1} \{Q_m\}$$

$$\{Q_m\} = j\beta_m \left[ \int \{N_i^e\} \{N_j^e\}^T d\Gamma^{(2)} \right] \{h_m\}$$

ผลการคำนวณค่าสัมประสิทธิ์การส่งผ่านของโหมดต่างๆ เมื่อป้อนคลื่นในโหมดต่างๆ ที่ระนาบ  $\Gamma_1$  ของข้อต่อที่มีความกว้าง  $a = 20.32 \text{ mm}$   $b = 10.16 \text{ mm}$  ระยะการเลื่อน  $\Gamma_2$  ห่างจาก  $\Gamma_1$  ครั้งแรกเป็นระยะทาง  $l_1 = 2 \text{ mm}$  ที่ความถี่  $10 \text{ GHz}$  ซึ่งมีเพียงโหมดพื้นฐาน  $TE_{10}$  เป็นโหมดส่งผ่าน จะพบว่า เมื่อเพิ่มจำนวนการวนรอบซ้ำ หรือระยะห่างระหว่างระนาบ  $\Gamma_1$  กับระนาบ  $\Gamma_2$  เพิ่มมากขึ้นสัมประสิทธิ์การส่งผ่านในโหมดอันดับสูง จะมีค่าน้อยมาก เมื่อเทียบกับโหมดพื้นฐาน  $TE_{10}$  ดังรูปที่ ข.2



รูปที่ ข.2 สัมประสิทธิ์การส่งผ่านของท่อนำคลื่นสี่เหลี่ยม

สถาบันวิทยบริการ  
จุฬาลงกรณ์มหาวิทยาลัย



## ประวัติผู้เขียนวิทยานิพนธ์

นายวรพงศ์ เพชรโพธิ์ทอง เกิดวันที่ 19 สิงหาคม พ.ศ. 2519 จังหวัดกรุงเทพฯ สำเร็จการศึกษาปริญญาวิศวกรรมศาสตรบัณฑิต สาขาวิศวกรรมไฟฟ้า ภาควิชาวิศวกรรมไฟฟ้า คณะวิศวกรรมศาสตร์ มหาวิทยาลัยเกษตรศาสตร์ ในปีการศึกษา 2541 ระหว่างการศึกษาได้เข้ารับการฝึกงานภาคฤดูร้อนที่องค์การโทรศัพท์แห่งประเทศไทย และเข้าศึกษาต่อในหลักสูตรวิศวกรรมศาสตรมหาบัณฑิต สาขาวิศวกรรมไฟฟ้า ภาควิชาวิศวกรรมไฟฟ้า คณะวิศวกรรมไฟฟ้า จุฬาลงกรณ์มหาวิทยาลัย ในปีการศึกษา 2542



สถาบันวิทยบริการ  
จุฬาลงกรณ์มหาวิทยาลัย